

АКАДЕМИЯ НАУК СССР
Научный совет по проблеме
"ФИЗИКА СОЛНЕЧНО-ЗЕМНЫХ СВЯЗЕЙ"

КАТАЛОГ
СОЛНЕЧНЫХ
ПРОТОННЫХ СОБЫТИЙ
1970 - 1979 Г.Г.

Москва 1983

УДК : 527.75

Акиньян С.Т., Базилевская Г.А., Ишков В.Н. и др.
Каталог солнечных протонных событий 1970-1979 г.г.
М.: ИЗМИРАН, 1982 г. 184 с.

Каталог содержит информацию о потоках частиц от солнечных вспышек на орбите Земли, а также сопутствующем электромагнитном излучении и свойствах соответствующих активных областей на Солнце. Рассчитан на специалистов в области солнечно-земной физики.

Авторский коллектив:

С.Т.Акиньян (ИЗМИРАН)	Н.К.Переяслова (ИПГ)
Г.А.Базилевская (ФИАН)	И.Е.Погодин (НИИФ МГУ)
В.Н.Ишков (ИЗМИРАН)	А.И.Сладкова (НИИФ МГУ)
Л.И.Мирошниченко (ИЗМИРАН)	В.А.Ульев (ААНИИ)
М.Н.Назарова (ИПГ)	И.М.Чертоц (ИЗМИРАН)

Отв. редактор - доктор физико-математических наук
Ю.И.Логачев (НИИФ МГУ)

Зам. редактора - И.Г.Симаков

UDK : 527.75

Akiniyan S.T., Bazilevskaya G.A., Ishkov V.N. et al.

Catalog of solar proton events 1970-1979.

M.: IZMIRAN, 1982

The Catalog contains the information on the particle fluxes from solar flares at the Earth's orbit and the accompanying electromagnetic radiation and also the characteristics of the corresponding active regions on the Sun. It is intended for the experts in the solar-terrestrial physics.

К 20605 - 04
055(02)2-82 1982 г.

© Институт земного магнетизма,
ионосфера и распространения
радиоволн, АН СССР, 1982 г.

С О Д Е Р Ж А Н И Е

	Стр.
Предисловие Редактора	4
Введение	7
Описание Части I	8
Описание приложения к Части I	I6
Описание Части II	I7
Описание Части III	20
Об идентификации источников возрастаний потоков протонов со вспышками на Солнце	23
Часть I	53
Приложение к Части I "Список слабых возрастаний потоков протонов у Земли за 1970-1979 г.г."	93
Часть II	97
Часть III	I37
Литература	I6I

ПРЕДИСЛОВИЕ РЕДАКТОРА

В настоящем Каталоге собраны и систематизированы данные о возрастаниях потоков протонов, называемых ниже солнечными протонными событиями (СПС), за 1970–1979 г.г. и их возможных источниках на Солнце. Этот Каталог составлен по аналогии с известным каталогом солнечных протонных событий за 1955–1969 г.г. под редакцией З.Швестки и П.Симона /I/. В отличие от /I/ в данный Каталог включены только СПС с потоком протонов с энергией $E > 10$ МэВ в окрестности Земли, превышающем $1 \text{ см}^{-2}\text{с}^{-1}\text{ср}^{-1}$. Список событий за этот же период с меньшими потоками приведен в приложении к Части I.

Разумеется, настоящий Каталог содержит не все события, в которых на расстоянии 1 а.е. от Солнца существовали требуемые потоки протонов. Некоторая доля СПС имела максимум долготного профиля потоков далеко от гелиодолготы Земли, и космические аппараты вблизи Земли в этом случае регистрировали малые потоки солнечных частиц или их отсутствие. Это касается, в частности, СПС, обусловленных вспышками на обратной стороне Солнца.

Данный Каталог так же, как и каталог /I/ имеет целью сбор, систематизацию и однородное представление информации о СПС. Он может быть также использован как справочник по СПС, как источник первичной информации для поисков статистических закономерностей СПС и для изучения физических процессов, связанных с ускорением и распространением солнечных частиц. На основе данных Каталога можно изучать геофизические эффекты СПС, разрабатывать методы оценки и прогнозирования радиационной опасности космических полетов и решать другие задачи прикладного характера.

Каталог составлен по той же схеме, что и каталог /I/ и может использоваться совместно с ним, несмотря на некоторые различия, оговоренные во введении. Солнечная вспышка представляет собой сложное явление, объединяющее процессы быстрого освобождения энергии, ускорения заряженных частиц, генерации электромагнитного излучения в широком диапазоне энергий (от жестких гамма-лучей до длинноволнового радиоизлучения). Роли различных компонент излучения, несущего информацию о процессах, протекающих во вспышках, до сих пор ясны не полностью и их одновременное рассмотрение при исследовании вспышек представляется необходимым. С этой целью в Каталог включены не только сведения о потоках энергичных протонов, но и рентгеновском, оптическом и радиоизлучении вспышек, а также о тех активных областях, в которых эти вспышки произошли.

Каталог состоит из введения и трех частей. Во введении к Каталогу дано подробное описание составных частей и приведен раздел "Об идентификации источников возрастаний потоков протонов со вспыш-

ками на Солнце", где изложены соображения, которыми пользовались составители Каталога при отождествлении возрастаний потоков протонов вблизи Земли с источниками, как правило, вспышками на Солнце.

В Части I Каталога даны сведения о солнечных протонных событиях, наблюдавшихся с помощью космических аппаратов, шаров-зондов и наземными средствами. Здесь приведены доступные составителям данные о потоках протонов (и электронов, если они сопровождали данное событие), а также указывается возможный источник этих частиц.

Часть 2 Каталога содержит сведения обо всех вспышках, принятых в Части I в качестве вероятных источников ускоренных частиц. Здесь приведены сведения об оптическом излучении вспышек, об их рентгеновском балле, о радиоизлучении на ряде фиксированных частот, а также о динамическом спектре радиовсплесков.

Часть 3 содержит сведения об активных областях, в которых произошли вспышки, вызвавшие возрастание потока протонов, некоторые сведения о солнечных пятнах вблизи места вспышки и т.д.

Сведения, представленные в Каталоге, почерпнуты из различных источников, основными из которых являются оригинальные данные, а также периодические издания "Solar Geophysical Data" /2/ и "Солнечные данные" /3/. Дополнительные сведения о рассматриваемых здесь событиях можно найти в каталогах и обзорных работах /4-23/.

Настоящий Каталог подготовлен представителями ряда научно-исследовательских учреждений СССР, объединенных в специально созданную в 1980 г. рабочую группу "Каталог" по решению секции "Диагностика и прогнозирование солнечных протонных явлений" Совета "Физика солнечно-земных связей" АН СССР.

Хотя при составлении Каталога была проделана большая работа, Каталог не лишен некоторых недостатков. В частности, данные о потоках протонов являются неполными и не содержат результатов измерений на всех искусственных спутниках Земли (ИСЗ), а также на космических аппаратах (КА), находившихся на различных гелиографических долготах и расстояниях от Солнца. Временные параметры потоков протонов, зарегистрировавшихся на ряде спутников (NOAA, IMP -7, 8), определялись нами на основе графиков и поэтому не обладают достаточно высокой точностью. Из-за недостатка и фрагментарности данных о ядрах с $Z \geq 2$, а также о гамма и жестком рентгеновском излучении вспышек они не нашли отражения в настоящем Каталоге, хотя ценность таких данных по мере их накопления будет непрерывно возрастать.

Библиография также не исчерпывает все имеющиеся публикации о приведенных в Каталоге СПС.

Работа над Каталогом активно поддерживалась директором НИИАФ МГУ академиком С.Н.Верновым, директором ИЗМИРАН чл.-корр.АН СССР

В.В. Мигулиным, и.о. директора ИШ Госкомгидромета С.И. Авдошиным.

Большую помощь в организации работ по составлению Каталога оказали Э.И. Могилевский (председатель секции "Диагностика и прогнозирование солнечных протонных явлений"), Е.В. Иванов и В.Н. Обридко (Совет по проблеме "Физика солнечно-земных связей" АН СССР).

Оформление и подготовка Каталога к печати осуществлены в НИИЯФ МГУ и ИЭМИ РАН СССР при непосредственном и активном участии Е.А. Ворониной, В.В. Троицкой и И.Г. Симакова. Всем перечисленным лицам составители Каталога выражают искреннюю благодарность.

В В Е Д Е Н И Е

Ниже приведено описание трех частей Каталога и приложения к Части I, а также раздел "Об идентификации источников возрастаний потоков протонов со вспышками на Солнце". Форма представления данных о протонных событиях, которая использовались в каталоге /I/, оказалась удачной и для многих уже привычной. Поэтому, как описание, так и структура отдельных частей данного Каталога в значительной степени повторяют соответствующие разделы каталога /I/. По возможности использовались те же обозначения, что и в /I/ за исключением случаев, оговоренных в описании частей Каталога.

ОПИСАНИЕ ЧАСТИ I.

В Части I Каталога приводятся данные о потоках заряженных частиц в событиях, зарегистрированных на различных космических аппаратах у Земли и наземными средствами в период с 1970 г. по 1979 г. Здесь же для каждого события указан источник (или источники) наблюдаемого возрастания потоков частиц. Источник события выбирался на основе совместного анализа информации о временных профилях и спектрах заряженных частиц, электромагнитном излучении вспышек (в линии n_{α} , рентгеновском и радиодиапазонах) и характеристиках соответствующих активных областей на Солнце. Критерии, использованные при отождествлении источников, изложены во введении в отдельном разделе "Об идентификации источников возрастаний потоков протонов со вспышками на Солнце".

В Каталог включены только те СПС, в которых максимальный поток протонов с энергией больше 10 МэВ составлял не менее $1 \text{ см}^{-2} \text{ с}^{-1} \text{ср}^{-1}$. Отдельным событием считалось не только изолированное возрастание с простым временным профилем, имеющим один максимум, но и, повторные возрастания в явлениях со сложным временным профилем, если удавалось выделить источник для повторного возрастания. В тех случаях, когда разделить источники было невозможно, возрастание со сложным временным профилем рассматривалось как одно событие.

Для каждого события в заглавной строке приводятся характерные сведения, позволяющие выделить данное событие из ряда других. Здесь последовательно указано:

- номер события;
- год, месяц и дата события;
- время (мировое) начала возрастания потоков протонов с энергией больше 10 МэВ в часах;
- балл события, определяемый по таблице I, согласно классификации Smart и Shea/24/.

Таблица I

К классификации СПС по баллу /24/

Балл	Первая цифра	Вторая цифра	Третья цифра
	$\Pi_{p>10 \text{ МэВ}} \text{ см}^{-2} \text{с}^{-1} \text{ср}^{-1}$	ППШ на $\sim 30 \text{ МГц}$	НМ увеличение в процентах
- 2	10^{-2} - $<10^{-1}$	-	-
- 1	10^{-1} - $<10^0$	-	-
0	10^0 - $<10^1$	нет увелич.	нет увелич.
I	10^1 - $<10^2$	$<1,5 \text{ дБ}$	$<3\%$
2	10^2 - $<10^3$	$1,5 - 4,6 \text{ дБ}$	$3 - <10\%$
3	10^3 - $<10^4$	$4,6 - 15 \text{ дБ}$	$10 - <100\%$
4	$>10^4$	$>15 \text{ дБ}$	$>100\%$
x	нет измерений		
()	цифра недостоверна		

Например: балл 23I означает, что поток протонов с энергией $>10 \text{ МэВ}$ заключен в интервале $10^2-10^3 \text{ см}^{-2} \text{с}^{-1} \text{ср}^{-1}$, поглощение в полярной шапке радиоизлучения на частоте 30 МГц составило от 4,6 до 15 дБ и увеличение скорости счета нейтронного монитора на высоких широтах не превышало 3%.

В первом столбце ниже заглавной строки указаны названия космических аппаратов и вид наземных наблюдений. Приняты следующие обозначения:

для космических аппаратов

МЕТ - Метеор

ПРО - Прогноз I,2,3,6,7

IMP5 - Эксплорер 4I

IMP6 - Эксплорер 43

IMP7 - Эксплорер 47

IMP8 - Эксплорер 50

для других наблюдений

БАЛ - измерение потоков частиц во время запусков шаров-зондов в стратосферу;

НМ - измерение интенсивности космических лучей с помощью нейтронных мониторов;

РИОМ - измерение риометрами поглощения космического радиоизлучения на частоте $\sim 30 \text{ МГц}$ в полярных шапках.

Интервалы времени, обеспеченные наблюдениями потоков частиц в межпланетном пространстве на космических аппаратах за 1970-1979 г.г.

показаны на рис. I. В табл. 2 указаны тип и энергия частиц, информация о которых приведена в Каталоге /2, 2I, 25-30/.

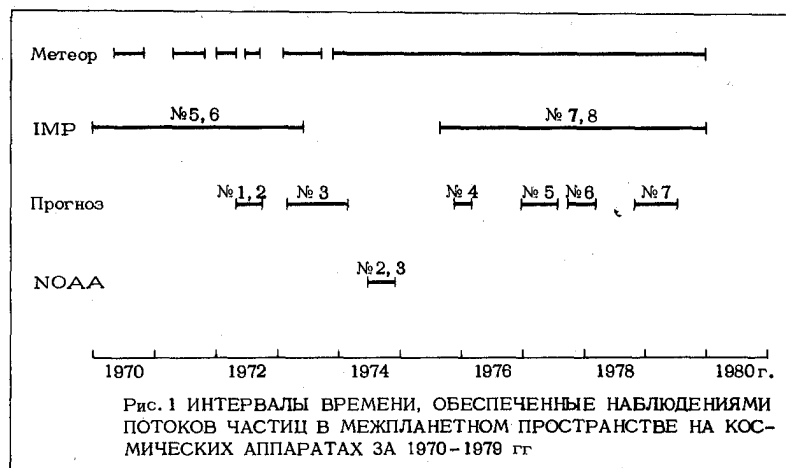


Рис. 1 ИНТЕРВАЛЫ ВРЕМЕНИ, ОБЕСПЕЧЕННЫЕ НАБЛЮДЕНИЯМИ ПОТОКОВ ЧАСТИЦ В МЕЖПЛАНЕТНОМ ПРОСТРАНСТВЕ НА КОСМИЧЕСКИХ АППАРАТАХ ЗА 1970-1979 ГГ

Таблица 2

Информация об энергетических интервалах потоков частиц, регистрируемых на космических аппаратах

Космический аппарат	Протоны, МэВ	Электроны, МэВ
Метеор	>5; >15; >25; >40; >60; >90	
IMP 5	>10; >30; >60; 6-19; 19-80	0,5-1,1
IMP 6	>10; >30; >60	
IMP 7,8	13,7-25,2; 20-40; 40-80	1-5
NOAA 2,3	>10; >30; >60	
Прогноз I-5	I4-30	
Прогноз 6,7	>7,6; >10; >30; >72; >100; >150	
Венера II,I2	>25; >60; >130 (>140)	

Исходные данные по космическим аппаратам, которые использовались при составлении Каталога, имели разнородный характер. По ИСЗ "Метеор" это были табличные значения интенсивности, полученные усреднением 12-секундных измерений во время прохождения глубокой полярной шапки (инвариантная широта $>67+70^{\circ}$). Длительность прохождения глубокой полярной шапки изменялась от 5 до 15 мин, интервал

времени между северной и южной полярными шапками составлял 30-45 мин. Исходные данные по ИСЗ "Прогноз" имелись в виде табличных значений среднечасовых скоростей счета соответствующих детекторов в межпланетном пространстве. Сведения, относящиеся к потокам частиц, измеренных на космических аппаратах типа IMP и NOAA взяты из данных, опубликованных в Solar Geophysical Data /2/ и Catalogue of Solar Cosmic Ray Events IMP IV and IMP V /21/.

С января 1970 г. по май 1973 г. эта информация представлена в виде графиков и таблиц среднечасовых значений интенсивности для протонов с энергией $E > 10, > 30, > 60$ МэВ. Для дифференциальных каналов на этот же период и для всех каналов после 1973 г. исходная информация имелась только в виде графиков с грубым масштабом.

Баллонные измерения обеспечены серией полетов, проводившихся в Мурманской области ($68,95^{\circ}\text{N}$; $33,05^{\circ}\text{E}$) и Мирном ($66,57^{\circ}\text{S}$; $92,92^{\circ}\text{E}$). Измерения проводились 1-2 раза в сутки в спокойное время, во время протонных событий частота запусков шаров-зондов увеличивалась. Энергия частиц определялась по остаточному пробегу протонов в стратосфере.

Данные по нейтронным мониторам обеспечены информацией, поступающей в Мировой Центр Данных МЦД-Б2 с различных станций непрерывной регистрации интенсивности космических лучей в виде таблиц, где приведены 5-, 10- или 15-минутные значения скорости счета с поправкой на барометрический эффект. Использовались также результаты анализа данных мировой сети станций, опубликованные в литературе для отдельных событий. В отличие от /1/, в Каталоге приведены характеристики СПС в области энергий > 500 МэВ только по той станции, расположенной на уровне моря, на которой была зарегистрирована максимальная амплитуда возрастания. Приняты следующие сокращения: Ап - Апатиты ($67,55^{\circ}\text{N}$; $33,33^{\circ}\text{E}$); Ин - Инувик ($68,35^{\circ}\text{N}$; $133,72^{\circ}\text{W}$); К - Кергелен ($49,35^{\circ}\text{S}$; $70,25^{\circ}\text{E}$); ММ - Мак-Мердо ($77,85^{\circ}\text{S}$; $166,67^{\circ}\text{E}$) (в скобках указаны географические координаты станций).

Приведенные в Каталоге данные по риометрическому поглощению получены из непрерывного ряда наблюдения, проведившихся в 4-х пунктах, характеристики которых указаны в табл.3 /5/.

Во всех случаях приводимые данные относятся к интервалу времени, когда ионосфера полностью освещена. Исходные данные имели вид графиков и таблиц среднечасовых значений поглощения. Приводятся данные той станции, для которой поглощение было наибольшим.

Во втором столбце указаны тип и энергия частиц, измеренных для данного СПС. Приняты следующие обозначения:

- Пр > 10 - интегральный поток протонов с энергией больше 10 МэВ
- Пр I_{4-30} - поток протонов с энергией в интервале от 14 до 30 МэВ

- Эл I-5 - поток электронов в интервале от I до 5 МэВ
- Пр>I ГВ - поток протонов с жесткостью больше I ГВ.
- В этом же столбце указано
- ППШ - поглощение космического радиоизлучения на частоте около 30 МГц, обусловленное, в основном, потоками протонов с энергией около 10 МэВ.

Таблица 3
Данные пунктов риометрических наблюдений

Северное полушарие			Южное полушарие		
Пункт наблюдения	Инвариантная широта, град.	Частота риометра, МГц	Пункт наблюдения	Инвариантная широта, град.	Частота риометра, МГц
Северный Полюс о.Хайса	74-84	32	Мирный	76,8	30
	73,8	32	Восток	84,3	29

В третьем столбце указано время (мировое) в часах (по данным ИСЗ "Метеор" и нейтронных мониторов в часах и минутах) начала возрастания потоков частиц и эффектов в ППШ. За начало возрастания потока протонов принимался момент времени, начиная с которого наблюдалось монотонное увеличение потока частиц данной энергии. Для ППШ за начало эффекта принимался момент времени, когда поглощение начинало превышать 0,2 дБ.

В четвертом столбце указано время (мировое) в часах, (по данным ИСЗ "Метеор" и нейтронных мониторов в часах и минутах), когда для потоков частиц данной энергии и ППШ наблюдались максимальные значения. Для сложных событий, имеющих два и более максимумов, соответствующие моменты представлены через разделительный знак "/". Для событий, имеющих протяженный максимум, указаны через тире "--" начало и конец интервала времени, в котором наблюдались максимальные значения.

Как в третьем, так и четвертом столбцах приведенное время относится к дате события, указанной в заглавной строке. Если начало или максимум наблюдались в другой день, перед цифрами, обозначающими время, приводится цифра с индексом "д", указывающая дату соответствующего момента времени. Знаки ">" и "<" означают, что начало или максимум имели место соответственно позже или раньше приводимого времени.

Указанные времена приводятся с точностью до $\pm 0,5$ часа по данным КА, которые обеспечены табличными значениями среднечасовых значений потоков частиц. Времена, определенные из графических дан-

ных, указаны с точностью примерно \pm 2 часа. Времена, указанные для ИСЗ "Метеор" приводятся с точностью \pm 7 минут, причем необходимо отметить, что из-за дискретности прохождения полярных областей реальные времена начала и максимума могли наблюдаться не ранее, чем за 30 минут до указанного времени.

Для данных стратосферных измерений время указано с точностью \pm 30 мин, причем в четвертом столбце приводится время, когда фактически наблюдался наибольший поток из всей серии запусков во время данного события. Для данных ПШ времена приведены с точностью до \pm 1 час; по НМ временное разрешение указано для каждой станции отдельно в третьем столбце со знаком " Δ ".

Цифры, стоящие в пятом столбце, означают продолжительность данного эффекта в сутках или часах (сокращенное "с" или "ч"). Знаки " $>$ " и " $<$ " имеют общепринятое значение. Для отдельных событий продолжительность определялась как интервал времени от начала возрастаания до момента, когда интенсивность принимала фоновое значение. В тех случаях, когда событие наблюдалось на фоне предыдущего, для последнего указывался только нижний предел продолжительности. По графическим данным КА продолжительность определялась с точностью до 0,5 суток, по табличным среднечасовым значениям интенсивности - с точностью до 1 часа в случаях, если продолжительность была менее 3 суток, и с точностью до 0,5 суток, если больше. По данным ПШ длительность события указана с точностью до 1 часа или до 0,1 суток. По данным НМ длительность указана в часах с точностью \pm 30 мин.

В шестом столбце приведены максимальные значения потоков в $\text{см}^{-2} \text{с}^{-1} \text{ср}^{-1}$ для интегральных потоков и в $\text{см}^{-2} \text{с}^{-1} \text{ср}^{-1} \text{МэВ}^{-1}$ для дифференциальных (по данным КА и стратосферных измерений). В отличие от более ранних публикаций в данные стратосферных измерений введены поправки на ядерные взаимодействия солнечных протонов в атмосфере. Ориентировочную оценку величины интегрального потока протонов с энергией больше 10 МэВ в событиях, которые обеспечены информацией о потоках частиц только в дифференциальных каналах по данным IMP-7,8, можно получить с помощью рис.2, на котором представлены отношения потоков протонов в дифференциальных каналах $j(\Delta E_1)/j(\Delta E_2)$ (пунктирные линии) и отношения интегрального потока с $E > 10$ МэВ к потоку в дифференциальном окне $j(E > 10)/j(\Delta E_1)$ (сплошные линии) в зависимости от показателя энергетического спектра γ в предположении, что спектр имеет вид $dJ/dE \sim E^{-\gamma}$, и $\gamma = \text{const}$. Например, при $j(13,7 - 25,2) = 0,12 \text{ см}^{-2} \text{с}^{-1} \text{ср}^{-1} \text{МэВ}^{-1}$ и $j(20 - 40) = 3 \cdot 10^{-2} \text{ см}^{-2} \text{с}^{-1} \text{ср}^{-1} \text{МэВ}^{-1}$ находим $j(\Delta E_1)/j(\Delta E_2) = 4$. При этом $\gamma \approx 3,4$ и $j(>10)/j(13,7 - 25,2) \approx 33$. Отсюда $j(>10) \approx 0,12 \cdot 33 \approx 4 \text{ см}^{-2} \text{с}^{-1} \text{ср}^{-1}$. Следует помнить, что такая оценка интегрального

потока является грубым приближением.

Для НМ в этом столбце приводится максимальное увеличение интенсивности в % и сокращенное название станции. Статистическая точность измерения интенсивности на нейтронных мониторах не хуже 1%. Для ППШ в этом столбце приводится максимальная величина поглощения в децибеллах с точностью $\pm 0,1$ дБ.

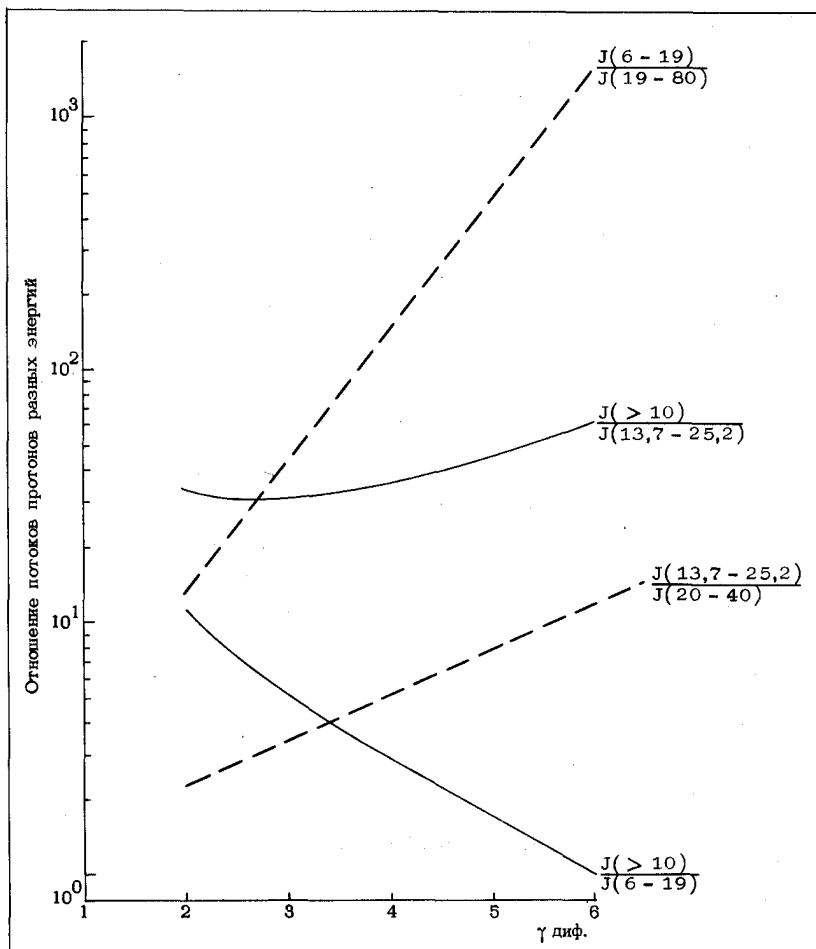


Рис.2 К ОЦЕНКЕ ВЕЛИЧИНЫ ИНТЕГРАЛЬНОГО ПОТОКА ПРОТОНОВ С $E > 10$ МэВ ПО ДАННЫМ ДИФФЕРЕНЦИАЛЬНЫХ КАНАЛОВ. Пунктирные линии - отношения потоков в дифференциальных каналах $J(\Delta E_1)/J(\Delta E_2)$ в зависимости от γ , сплошные линии - отношение потока $J(E > 10)$ к потоку в дифференциальном окне $J(\Delta E_i)$ в зависимости от γ

Для сложных событий, имеющих два или более максимумов, приводятся два или более значения через разделительный знак "/" в соответствии с моментами времени, выделенными в четвертом столбце. Приводимые значения максимальных потоков получены при вычитании фона только для изолированных событий. В тех случаях, когда событие наблюдалось на фоне предыдущего, вычитание вклада последнего не производилось, учитывалось только фоновое значение, наблюдавшееся до первого возрастания в течение суток.

В строках под столбцами приводятся данные об источнике СПС. Приняты следующие обозначения:

- - вспышка на видимой полусфере Солнца;
- - вспышка (или активность) за западным или восточным лимбом Солнца;
- ◊ - активность области на диске Солнца, за исключением вспышек, модуляционные эффекты в межпланетном пространстве;
- △ - изменения в потоке частиц, связанные с SC.

Источник (или источники), приводимые для каждого СПС, выбирались на основе принципов, изложенных в разделе "Об идентификации источников возрастаний потоков протонов со вспышками на Солнце"; степень уверенности, с которой осуществлена привязка события к источнику, выражается следующим образом (показано на примере вспышек):

- - данная вспышка определенно является источником возрастания потока частиц;
- - данная вспышка с большой вероятностью является источником возрастания потоков частиц;
- - вспышка, возможно, является источником события, но есть причины, по которым эта возможность подвергается сомнению;
- ⊖ - вспышка не является основным источником, но внесла (или могла внести) вклад в наблюдаемые потоки протонов.

Та последовательность, в которой представлены источники, в некоторой степени отражает установленную значимость данного источника для анализируемого события.

В строке, относящейся к определенному значку, приводятся следующие данные:

для вспышек на диске Солнца:

- время (мировое) начала вспышки в линии n_{α} - часы и минуты - по данным, опубликованным в /2/, если отсутствует ссылка; при наличии ссылки время начала вспышки приводится из цитируемой работы. Прямой скобкой обединены те вспышки, рентгеновское и (или) радиоизлучение которых разделить не представляется возможным;

- координаты вспышки;

- балл вспышки;
- номер активной области по данным обсерватории Mc Math-Hulbert (сокращенно McM), а с ноября 1979 г. - обсерватории Hale (сокращенно НГ).

для вспышек на невидимой полусфере Солнца:

- номер предполагаемой активной области;
- продолжительность пребывания активной области за западным или восточным лимбом (в случае, если имелась информация, свидетельствующая об активности конкретной области, ушедшей за w-лимб, или выходящей из-за E-лимба);
- время (мировое) начала регистрации всплесков радиоизлучения Солнца II и (или) IV типа - часы и минуты (в тех случаях, когда имелась информация о наблюдении таких всплесков и отсутствовала информация о наблюдениях вспышки в линии H_a).

для геомагнитных возмущений типа SC:

- время регистрации SC - часы и минуты. Указаны все SC, которые наблюдались на протяжении данного СПС, включая не совпадающие по времени с изменением в профиле частиц.

Во всех случаях, когда наблюдаемое время не относится к дате самого события, указанной в заглавной строке, перед временем приводится цифра с индексом "д", обозначающая день, к которому относится данное время.

В последней строке даны ссылки на работы, в которых представлены (или анализируются) результаты измерений потоков частиц и сопутствующих явлений во время данного СПС.

Описание приложения к Части I.

Как уже неоднократно подчеркивалось, в данном Каталоге более или менее подробно рассматриваются события с максимальной интенсивностью потока протонов у Земли $j(E > 10 \text{ МэВ}) \geq I \text{ см}^{-2} \text{с}^{-1} \text{ср}^{-1}$. В настоящем приложении речь идет о более слабых возрастаниях потока протонов. Информация о таких событиях представлена в самой простейшей форме в виде списка дней, когда у Земли наблюдались возрастания потока протонов с интенсивностью в максимуме, не превышающей $I \text{ см}^{-2} \text{с}^{-1} \text{ср}^{-1}$. Здесь же указан космический аппарат, на котором зарегистрировано данное возрастание. При этом в качестве нижней границы интенсивности перечисленных здесь событий выбраны следующие значения: для КА IMP 5,6 и NOAA-4 - $j(E > 0) \text{ МэВ} \sim 0,1 + 0,2 \text{ см}^{-2} \text{с}^{-1} \text{ср}^{-1}$; для КА IMP 7,8 в диапазоне энергий 13,7 - 25,2 МэВ - $j \sim 10^{-3} \text{ см}^{-2} \text{с}^{-1} \text{ср}^{-1} \text{МэВ}^{-1}$, для КА "Метеор" - $j(E > 5 \text{ МэВ}) = 0,15 \text{ см}^{-2} \text{с}^{-1} \text{ср}^{-1}$, (что соответствует $j(E > 10 \text{ МэВ}) = 0,03 \text{ см}^{-2} \text{с}^{-1} \text{ср}^{-1}$).

Отождествление рассматриваемых в данном приложении возрастаний потока протонов со вспышками и активными областями не проводилось,

поскольку для таких относительно слабых событий, к тому же часто имеющих не очень четкий временной профиль, подобное отождествление представляет собой еще более трудную задачу, чем для возрастаний с умеренной или высокой интенсивностью частиц.

Естественно, что при решении вопроса о том, сопровождалась ли или иная вспышка на Солнце заметным возрастанием потока протонов у Земли, следует, наряду с рассмотрением событий, указанных в Частях I и 2, иметь ввиду также список дат со слабыми возрастаниями потока частиц, приведенный в Приложении к Части I.

ОПИСАНИЕ ЧАСТИ II.

В этом разделе Каталога приводится информация о вспышках, которые указаны в Части I в качестве источников соответствующих возрастаний потока протонов. В отличие от /I/, мы приводим данные о всех вспышках, упомянутых в Части I, независимо от степени надежности отождествления: о вспышках, рассматриваемых как бесспорные (●), вероятные (○), возможные (○) источники, а также о вспышках (○), вносящих дополнительный вклад в то или иное возрастание потока частиц.

Для каждой вспышки в заглавной строке указаны: дата вспышки, степень надежности отождествления (●, ○, ○ или ○), номер активной области по McMath, порядковый номер события, балл данного возрастания потока протонов в соответствии с классификацией Smart и Shea (см. таблицу I), обобщенный вспышечный индекс CF1 согласно /31/.

Напомним, что CF1 вычисляется по следующей формуле:

$$CF1 = A + B + C + D + E,$$

где

A (от I до 3) - балл коротковолнового федаута или другого внезапного ионосферного возмущения (swf, sid);

B (от I до 3) - балл вспышки по наблюдениям в линии n_{α} ;

C - десятичный логарифм плотности потока радиоизлучения на волне ~ 10 см в единицах $10^{-22} \text{ Вт}/\text{м}^2\text{Гц}$;

D - динамический спектр явления: всплеск II типа = I, континuum = 2, всплеск II типа = 3;

E - логарифм плотности потока радиовсплеска на $f \sim 200$ МГц в единицах $10^{-22} \text{ Вт}/\text{м}^2\text{Гц}$.

В первой строке под заглавием приведены данные об n_{α} - вспышке: время (мировое) начала, максимума и конца вспышки; координаты и балл вспышки, а также сведения о структуре вспышки по системе MAC /2/. (Квадратной скобкой объединены те вспышки, рентгеновское и (или) радиоизлучение которых разделить не представляется возмож-

ным). Последняя характеристика H_α -вспышки закодирована в виде набора латинских букв, обозначающих следующее:

- А - эруптивный протуберанец, основание которого находится на расстоянии меньше 90° от центрального меридиана;
- В - вероятный конец вспышки большого балла;
- Д - яркая точка;
- Е - две или больше ярких точек;
- Ф - несколько эруптивных центров;
- Г - в окрестности вспышки нет видимых пятен;
- Н - вспышке сопутствуют высокоскоростные возмущения темного (в поглощении) волокна;
- К - несколько максимумов интенсивности;
- Л - признаки внезапной активизации волокна, находящегося вблизи вспышки;
- М - вспышка в белом свете;
- Н - в непрерывном свете присутствуют поляризационные эффекты;
- О - наблюдения вспышки велись в линиях К и Н для Са II;
- Р - во вспышке наблюдалась эмиссия в линии D₃;
- Q - во вспышке наблюдалась эмиссия линий бальмеровского континуума;
- Р - отмечена асимметрия контура линии H_α , что позволяет предположить выброс вещества с большими скоростями;
- С - упрочнение следует за исчезновением волокна;
- У - две яркие вспышечные ленты, параллельные (||) или сходящиеся (YY);
- В - наличие взрывной фазы вспышки: значительное и внезапное расширение области эмиссии вспышки примерно за 1 минуту с или без значительного возрастания интенсивности;
- W - большое увеличение площади области эмиссии вспышки после максимума интенсивности;
- Х - необычно расширена линия H_α ,
- Ү - отмечены вспышечные арочные системы;
- З - тень большого пятна залита эмиссией вспышки.

Буквы, характеризующие поведение активной области, не использовались.

В конце второй строки указан рентгеновский балл вспышки (см. табл.4), основанный на данных об излучении в диапазоне 1-8 Å на КА /32/.

Следующие строки содержат информацию о радиовсплесках, сопровождающих данную вспышку.

Таблица 4

Классификация вспышек по мягкому рентгеновскому излучению

Балл	Максимальный поток в диапазоне 1-8 Г	
	эрг см ⁻² с ⁻¹	Вт м ⁻² с ⁻¹
CI-C9	$1 \cdot 10^{-3} - 9 \cdot 10^{-3}$	$10^{-6} - 9 \cdot 10^{-6}$
MI-M9	$1 \cdot 10^{-2} - 9 \cdot 10^{-2}$	$10^{-5} - 9 \cdot 10^{-5}$
x	$1 \cdot 10^{-1}$	10^{-4}

По сравнению с каталогом /I/ здесь увеличено количество фиксированных частот. Это сделано для того, чтобы во возможности полнее отразить общую спектрально-временную структуру радиовсплеска, в частности, наличие микроволновой и дециметровой компонент, имеющих обычно различное время максимума (и разный частотный спектр).

Для каждой из частот приводится время начала, максимума (с точностью до десятых долей минуты) и конца всплеска, а также десятичный логарифм максимальной плотности потока радиоизлучения в единицах 10^{-22} Вт/м²Гц (шестой столбец). В пятом столбце условно закодирован вид частотного спектра радиовсплеска на волнах дециметрового и сантиметрового диапазона. При этом, как и в /I/, использованы следующие обозначения:

P5 - спектр имеет максимум на частоте 5 ГГц; P5(2,3) означает, что \log максимальной плотности потока на 5 ГГц составляет 2,3 (максимальная плотность потока равна 200 единиц);

I/9 - плотность потока радиоизлучения минимальна на частоте 1 ГГц и возрастает до частоты 9 ГГц; информация об интенсивности всплеска на более высоких частотах отсутствует;

0,6/9 - спектр характеризуется ростом интенсивности при увеличении частоты от 0,6 ГГц до 9 ГГц;

0,6\9 - плотность потока уменьшается при повышении частоты от 0,6 ГГц до 9 ГГц;

U2P7 - плотность потока минимальна на частоте 2 ГГц и достигает максимума на частоте 7 ГГц;

3-9 - плоский частотный спектр в диапазоне 3-9 ГГц.

В большинстве явлений для описания спектра радиовсплеска приходится использовать различные комбинации этих обозначений.

Последующие строки описывают динамический спектр (ДС) метровой компоненты радиоизлучения. Здесь приведены данные о спектральном типе всплеска, время начала и конца явления, а также балл, характеризующий относительную интенсивность всплеска.

При подготовке Части II Каталога использовались данные, опубликованные в /2,3/, а также бюллетень "Радиоизлучение Солнца" НИРФИ, Горький и NHI Solar Data, Berlin /33,34/.

Заключительная строка состоит из ссылок на работы, в которых опубликованы данные по оптическому, рентгеновскому, радио- и гамма-излучению во время данного СНС.

ОПИСАНИЕ ЧАСТИ III.

Эта Часть Каталога содержит список и характеристики активных областей, в которых произошли вспышки, уверенно отождествленные с протонными событиями (●), либо с малой долей неуверенности (○). Большинство данных об активных областях в этой части взяты из бюллетеня "Солнечные данные", ГАО, СССР и Solar Geophysical Data, Boulder, USA /2,3/. Кроме того, некоторые величины - из Solar Phenomena, Roma и Quarterly on Solar Activity, Zürich /35,36/.

В первой строке заголовка слева направо приводятся:

- порядковый номер кальциевого флоккула по данным обсерватории Mc Math-Hulbert (McM), а с ноября 1979 г. - обсерватории Hale (HR), который является прямым продолжением первого;
- соответствующий ему номер активной области обсерватории Meudon (M), в котором первое четырехзначное число означает кэрингтоновский оборот (например, M1572-40 означает 40-ую активную область в кэрингтоновском обороте 1572);
- гелиографическая широта центра активной области;
- дата прохождения центрального меридиана (ЩМ) в десятых долях суток (12,5 апр. означает 1200 UT 12 апреля);
- номер группы или группы пятен, в которых происходила вспышка, по данным обсерватории Mount Wilson (MW), причем, в случае нескольких групп первой указывается либо наибольшая из них, либо группа, в которой располагался центр тяжести вспышки (по координатам), далее двумя или тремя последними цифрами номера тех групп, которые просуществовали не менее 7-ми суток и дали вклад во вспышечную активность данной области;
- соответствующие им номера групп пятен из /3,35/.

Во второй строке заголовка в том же порядке указаны:

- дата и начало вспышки, давшей протонное событие в данной активной области;
- кэрингтоновская долгота (посредине строки прямо под датой ЩМ); если в области произошло много протонных событий, то соответствующие им вспышки (дата и начало) приводятся слева и справа от кэрингтоновской долготы.

Начиная с третьей строки приводятся данные, характеризующие

активную область:

- возраст активной области в оборотах Солнце;
- краткое описание эволюции активной области, включающее в себя McM номер на предыдущем обороте, характеристику развития и магнитную конфигурацию группы (или групп) пятен. Далее приводится общее количество вспышек, в том числе до 1975 г. и неподтвержденных, причем, в скобках дается распределение их по баллам без учета яркости. Например: всего вспышек 45($I_4 + I_7$) означает, что из 45-ти вспышек 4 были балла 2 и 2 - балла I. Суммарный вспышечный индекс I_F (с 1975 г.), который характеризует вспышечную продуктивность активной области за все время прохождения по диску Солнца:

$$I_F = (0,76/T^*) \sum A_d^2 ,$$

где A_d - видимая (не исправленная) на эффект проекции площадь каждой вспышки в данной активной области, T^* - эффективное время наблюдения в минутах. До 1975 года I_F вычислялся только для подтвержденных вспышек и в некоторой мере не отражает действительное положение вещей /2/.

Далее приведены численные характеристики активной области и групп пятен на

- а) дату ПЦМ;
- б) на дни вспышек, вызвавших СПС;
- в) на дату максимума (одного или двух) развития активной области (по площади), если он (оны) не совпадают с днями, указанными в а) и б).

Характеристики приводятся для всех групп пятен, указанных в заголовке, и объединяются слева квадратной скобкой для каждого дня. Используются следующие обозначения:

- Са 6100/3,5 означает, что площадь кальциевого флоккула составляла 6100 миллионных долей видимой полусфера и его интенсивность была 3,5 (в шкале от I до 5) (данные из /2/);
- пятна 6400/120/320/19 означает, что в группе 19 пятен, общая площадь которых 640 миллионных долей видимой полусфера, площадь тени - 120, площадь наибольшего пятна 320. Для всех событий первая, третья и четвертая характеристики приводятся по данным /3/. Вторая характеристика приводится по данным /35/, если различие в общей площади пятен по данным /3/ и /35/ не превышает 10%. В противном случае из /35/ дополнительно приводятся первая, вторая и четвертая характеристики, перед этой строкой ставится буква R и данные /3/ и /35/ объединяются квадратной скобкой справа.
- цюрихская классификация групп пятен А-В-С-Д-Е-Ф-Г-Н-И по /35/, с 1972 г. в скобках указана классификация по McIntosh /2/.

- магнитная классификация групп пятен (данные - /2/):
 - α - униполярное пятно;
 - β - биполярная группа пятен (β_r , β_f - лидирующее или ведомое пятно, соответственно, более развито);
 - $\beta\gamma$ - биполярная группа, в которой одно или несколько пятен нарушают типичную картину распределения полярностей;
 - γ - сложная в магнитном отношении группа пятен с перемешанной полярностью;
 - δ - сложная в магнитном отношении группа с пятнами разной полярности в одной полутени.

В последней строке даны ссылки на литературные источники, в которых описана данная активная область.

ОБ ИДЕНТИФИКАЦИИ ИСТОЧНИКОВ ВОЗРАСТАНИЙ ПОТОКОВ ПРОТОНОВ СО ВСПЫШКАМИ НА СОЛНЦЕ

Идентификация источников потоков энергичных заряженных частиц в межпланетном пространстве со вспышками на Солнце или другими проявлениями солнечной активности, в том числе и с ударными волнами в межпланетной среде, является чрезвычайно важной задачей, решение которой затруднено отсутствием детального знания механизма ускорения частиц во вспышках и условий их выхода из области ускорения. Поэтому идентификация источников возрастаний потоков солнечных протонов проводилась с учетом различных достаточно обоснованных и проверенных статистических закономерностей, ни одной из которых, однако, не придавалось решающего значения.

Рассматривались три группы сведений:

- потоки заряженных частиц, их временные профили, анизотропия и энергетические спектры;
- электромагнитное излучение вспышек в рентгеновском, оптическом и радиодиапазонах, их спектральные характеристики, поведение во времени и другие параметры;
- структура магнитного поля и эволюция активных областей на Солнце, их вспышечная активность.

Остановимся кратко на каждой из этих групп данных, имея ввиду прежде всего потоки протонов с энергией порядка десятков МэВ, и те закономерности, которые непосредственно использовались при подготовке данного Каталога.

I. Характеристики потоков протонов.

Идентификация источника СПС начиналась с изучения самого СПС, его временного профиля, анизотропии потоков протонов, которая оценивалась по соотношению потоков протонов в северной и южной полярных шапках Земли, и энергетического спектра. При этом, в той или иной степени осуществлялись следующие этапы рассмотрения:

а) По временному профилю потока частиц различной энергиирабатывалось суждение о характере события, его сложности (одиночное или с наложением от нескольких вспышек), мощности (по величине максимальных потоков частиц) и о приблизительной гелиодолготе вспышки, создавшей данное возрастание потока частиц. Если нарастание потока частиц частиц до максимума происходит быстро (за время от одного до нескольких часов для потоков с $E > 10$ МэВ), спектр жесткий (показатель интегрального спектра $\gamma < 3$), имеется высокая анизотропия ($A > 50\%$) потоков частиц, то с большой вероятностью

вспышка произошла на западном полушарии Солнца. В случае медленного нарастания и спада потоков частиц, широкого максимума, иногда отсутствия дисперсии по скоростям в приходе частиц разной энергии и, как правило, более мягкого спектра ($\gamma \geq 3$), источник частиц, в виде солнечной вспышки, искался на восточной полусфере Солнца (см., например, /37-41/).

б) Если найдены основания считать источником СПС солнечную вспышку, расположенную на западной полусфере Солнца, то проводилось обследование всех вспышек, предшествовавших началу СПС в пределах от I до 10 часов, на предмет определения конкретного источника. Если считалось, что вспышка восточная, то указанный интервал расширялся до 2-3 суток.

Для идентификации источников некоторых СПС за 1970-1972 годы с залимбовыми вспышками использовались опубликованные данные о потоках протонов, зарегистрированных на космических аппаратах Pioneer-6-9, находившихся на различных гелиоцентрических долготах.

II. Электромагнитное излучение вспышек.

Таким образом, анализ самих СПС дает предварительные сведения о локализации источника - вспышки по долготе и по времени. Следующим важным этапом является анализ электромагнитного излучения вспышек, ранее отобранных в качестве возможных источников СПС.

При этом радиоизлучение соответствующих вспышек требует наиболее подробного рассмотрения. Это обусловлено двумя факторами. Во-первых, информация о радиовсплесках, как правило, весьма обширна, представляет собой большой набор спектральных и радиометрических данных в диапазоне от сантиметровых до декаметровых волн и содержит информацию как об ускорении частиц, так и об условиях их выхода из области вспышки. Во-вторых, характеристики радиовсплесков, связанных со вспышками, генерировавшими протоны, достаточно хорошо изучены и могут служить основой для привязки СПС.

В целом, при анализе электромагнитного излучения вспышек можно опираться на следующие результаты:

1. Наиболее вероятными источниками потоков протонов являются вспышки большого оптического балла и балла $\geq M5$ в области мягкого рентгена, в особенности, если всплеск рентгеновского излучения имеет большую длительность (> 60 мин.). Кроме того, обычно для таких вспышек обобщенный вспышечный индекс $c_{FI} > 10$ /23/.

2. Протонные вспышки сопровождаются, как правило, радиовсплесками II и (или) IU типа /4, 42-44/.

3. Имеется ряд критериев, позволяющих с большой вероятностью дать качественный ответ на вопрос о том, может ли данная вспышка

быть источником возрастания потока протонов в межпланетном пространстве. Широко известен, например, так называемый критерий π -образного частотного спектра /45,46/. Он предусматривает, в частности, наличие достаточно интенсивного (>1000 ед. потока) радиоизлучения на сантиметровых (~ 9 ГГц) и метровых (~ 245 МГц) волнах при относительно слабой (сотни ед. потока) плотности потока радио всплесков в дециметровом диапазоне и длительности фазы нарастания микроволнового всплеска ≥ 5 минут. Этому критерию удовлетворяет большинство вспышек, приводящих к возрастанию потока протонов на орбите Земли с амплитудой J ($E > 10$ МэВ) \geq десятков $\text{см}^{-2}\text{s}^{-1}\text{ср}^{-1}$.

Другой вариант критерия, который применим также к более слабым явлениям ($J(E > 10 \text{ МэВ}) \geq 1+5 \text{ см}^{-2}\text{s}^{-1}\text{ср}^{-1}$), включает в себя следующие признаки /47/: микроволновой всплеск с плотностью потока на частоте $\sim 5\text{-}9$ ГГц ≥ 500 ед, ростом потока при повышении частоты от 3 до 9 ГГц или от 3 до 5 ГГц и длительностью на уровне 0,5 от максимальной интенсивности $\sim 2\text{-}3$ минут; метровый радиовсплеск II и (или) IУ типа с плотностью потока ≥ 300 ед. на частотах < 245 МГц.

4. Данные о радиовсплесках дают возможность оценить также количественные характеристики потоков протонов у Земли (максимальную интенсивность, временные параметры), которые можно ожидать от данной вспышки /48-53/. Сопоставление этих оценок с наблюдениями служит дополнительным аргументом при отождествлении возрастаний потоков протонов со вспышками. В данном Каталоге при поисках источников СПС на Солнце принимались во внимание оценки потока протонов для вспышек 1970-1979 г.г., полученные по радиоданным с учетом гелиодолготы вспышек (ослабление потоков протонов от восточных вспышек), интенсивности и частотного спектра микроволновых всплесков (интенсивность и энергетический спектр потока протонов) и метровой компоненты радиоизлучения (условия выхода частиц из области вспышки) /47,54,55/.

III. Свойства активных областей.

Существенным дополнительным фактором при идентификации возрастания потока протонов с той или иной вспышкой являются характеристики активной области, в которой произошла данная вспышка. При этом вспышки чаще происходят там, где /23/:

а) магнитная конфигурация областей достаточно сложна, наблюдается чередование полярностей в пределах одной развитой группы пятен, обращенная полярность лидирующего пятна, необычное расположение пятен разной полярности (например, по меридиану), " δ "-конфигурация в наибольшем пятне с большим количеством ядер, либо со сравнительно большими по площади ядрами, либо с " δ "-конфигура-

- цией в средней части группы между лидирующими и ведомыми пятнами;
- б) часто наблюдаются сложные собственные движения пятен с большими скоростями;
- в) вспышечное энерговыделение наблюдается обычно в виде серии довольно мощных вспышек, одна или несколько из которых могут вызвать возрастание потока протонов у Земли.

Особо необходимо отметить вспышечную активность комплексов активных областей, состоящих из двух и более соседних групп пятен достаточно сложной магнитной конфигурации, связанных общим магнитным полем, в которых мощные вспышки осуществляются на втором и даже третьем обороте, в то время как в одиночных группах, даже при высокой общей вспышечной активности, мощные вспышки на втором обороте редки.

IV. Заключительный этап отождествления.

Этот этап сводится к анализу результатов комплексного рассмотрения на основе указанных закономерностей самого возрастания потока протонов, электромагнитного излучения вспышек, предшествующих данному возрастанию, и параметров соответствующих активных областей. В зависимости от того, в какой степени (полностью, частично или незначительно) вспышка, предполагаемая в качестве возможного источника данного возрастания, удовлетворяет основным из перечисленных выше требований, отождествление считалось уверенным (●), вероятным (○) или сомнительным (○).

Аналогичный подход осуществлялся также при выделении вспышек, которые, по-видимому, не были основным источником данного возрастания потока протонов, однако могли внести дополнительный вклад в увеличение интенсивности частиц. Таким вспышкам приписывался знак ○.

Отдельно следует сказать о комплексных явлениях со сложным временным профилем потока протонов, которые классифицировались как суммарный эффект высокой вспышечной активности соответствующих областей. Наиболее интенсивные из них ($\int (E>10 \text{ МэВ}) \sim$ десятков или сотен $\text{см}^{-2} \text{с}^{-1} \text{ср}^{-1}$), как правило, связаны с серией вспышек, удовлетворяющих требованиям уверенного отождествления (●), но вклад которых трудно точно разделить. Аналогичные явления меньшей интенсивности ($\int (E>10 \text{ МэВ}) < 20-40 \text{ см}^{-2} \text{с}^{-1} \text{ср}^{-1}$) с относительно мягким энергетическим спектром ($\gamma > 2,5$) обусловлены чаще всего последовательностью вспышек, имеющих с точки зрения электромагнитного излучения лишь отдельные признаки протонности и удовлетворяющих признакам всего лишь вероятного (○) или сомнительного (○) отождествления. В обоих случаях в Каталоге указаны только наиболее значительные из наблюдавшейся серии вспышек.

Особый класс составляют возрастания потока протонов, вызванные залимбовыми вспышками. Признаками, указывающими на связь данного возрастания с залимбовой вспышкой, в частности, являются: а) отсутствие подходящих вспышек на видимой полусфере; б) уход за западный лимб или выход из-за восточного лимба активной области с характеристиками, свидетельствующими о большой вероятности возникновения в ней протонных вспышек (основные из таких характеристик — появление в данной активной области одной или нескольких протонных вспышек во время ее прохождения по диску; сложная магнитная структура группы пятен, в частности, наличие δ -конфигурации и т.д.); в) наблюдения метровых радиосплесков II и (или) IУ типа, а также корональных выбросов, не связанных с H_{α} -вспышкой на диске.

Наконец, в исключительных случаях, когда данное возрастание потока протонов не может даже предположительно быть отождествлено с какой-либо вспышкой на диске или с залимбовой активностью, приходится констатировать, что его источник неизвестен.

В заключение отметим, что настоящий раздел, конечно, не исчерпывает всего круга вопросов и многообразия ситуаций, с которыми приходится сталкиваться при отождествлении наблюденных у Земли возрастаний потока протонов со вспышками. К сожалению, во многих случаях такое отождествление, в принципе, остается субъективным. Хотелось бы, однако, надеяться, что при составлении данного Каталога эту субъективность удалось в какой-то степени уменьшить, благодаря комплексному учету всей имеющейся в нашем распоряжении информации и непосредственному участию в отождествлении исследователей различных специальностей.

ACADEMY OF SCIENCES OF THE USSR
SCIENTIFIC COUNCIL ON SOLAR-TERRESTRIAL PHYSICS

CATALOG
OF SOLAR PROTON EVENTS
1970-1979

Moscow 1982

C O N T E N T S

	Page
Preface by the Editor	3I
Introduction	34
Description of Part I	34
Description of the Appendix to Part I	42
Description of Part II	43
Description of Part III	45
On the associations of the protons events with solar flares	48
Part I	53
Appendix to Part I "List of small proton increases near the Earth during 1970-1979"	93
Part II	97
Part III	I37
References	I6I

PREFACE BY THE EDITOR

This Catalog contains the data on the proton increases, referred to as the solar proton events (SPE), for 1970-1979 and possible sources on the Sun. This Catalog is analogous to the known Catalog of solar particle events for 1955-1969 edited by Z. Švestka and P. Simon /I/. But unlike the Catalog /I/, the present work includes only the SPE near the Earth with the $E > 10$ MeV maximal proton intensity above $1 \text{ cm}^{-2}\text{s}^{-1}\text{sr}^{-1}$. The list of proton events with lower fluxes of the same period is given in the Appendix to Part I.

Of course, this Catalog does not include all the events containing the required proton fluxes at 1 AU from the Sun. Some SPE had the maximum of the longitudinal flux profile far from the heliolongitude of the Earth in which case the space probes registered low solar particle fluxes or their absence. In particular, it refers to the SPE associated with the flares on the invisible hemisphere.

Just as the Catalog /I/, the present work is intended to be a systematic and uniform presentation of the SPE data. It can be used as a reference book on the SPE and as a source of the primary information for the statistical studying the physical processes connected with the solar particle acceleration and propagation. The Catalog provides the basic data for studying the geophysical effects in the SPE and for developing the methods of estimation and forecasting the radiation hazard in space flights. It will be useful for solving different applied problems as well.

This Catalog is arranged in the same way as the Catalog /I/ and can be jointly used with it despite some differences indicated in the Preface. The solar flare is a complex phenomenon combining the processes of rapid energy release, charged particle acceleration and generation of electromagnetic radiation in a wide energy range (from hard γ -rays to long-wave radioemission). The contributions of different radiation components providing information on the flare processes are not yet well elucidated and should be treated jointly when examining the flares. To this end, the Catalog lists not only the data on the energetic proton fluxes but also on the X-rays, optical and radio emission and on the active regions producing these flares.

The Catalog consists of the Introduction, three Parts and References. The Introduction includes a detailed description of the Parts and the section "On the associations of the proton events with solar flares" describing the criteria used for associations

of the proton increases near the Earth with sources, typically, solar flares.

Part I of the Catalog contains the information on the solar proton events observed aboard space probes, balloons and by the ground facilities. It presents the available data on proton fluxes of various energy (and on electron fluxes if they accompanied the event) and also a suggested source of SPE.

Part 2 contains the data on all the flares suggested in Part I as probable sources of accelerated particles. Here are given the data on the optical flares, their X-ray importance, the radio emission at a number of fixed frequencies and also on the dynamic spectrum of radio bursts.

Part 3 gives information on the active regions in which the flares associated with the proton increase were observed, some data on the sunspots near the position of the flares etc.

The listed data are taken from different sources, mainly, from the original data and also the periodical publications "Solar Geophysical Data" /2/ and "Solnechnye Dannye" /3/. Extra information on the events in question can be found in the catalogs and surveys /4-23/.

This Catalog is a joint effort of the representatives of different scientific institutions of the USSR under the auspices of the Working Group "Catalog" established in 1980 by resolution of the section "Diagnostics and forecasting of solar proton phenomena" of the Scientific Council on Solar-Terrestrial Physics, the Academy of Sciences of the USSR.

Although much work has been done, the Catalog is not, nevertheless, free of drawbacks. In particular, the data on proton fluxes lack the results of measurements made aboard some artificial Earth satellites (AES) and space probes (SP) located at different heliolongitudes and distances from the Sun. The time parameters of the proton fluxes registered by some spacecrafts (NOAA, IMP 7,8) were determined from the graphs and are not, therefore, very accurate. The bibliography does not include all the literature on the SPE listed in the Catalog.

The work was actively supported by the Director of the Institute of Nuclear Physics, Moscow State University, academician S.N.Vernov, the Director of IZMIRAN, Academy of Sciences, associate-member of the Academy of Sciences of the USSR V.V.Migulin and by the Deputy Director of the Institute of Applied Geophysics S.I.Avdyuschin.

The aid in compiling the Catalog was provided by E.I.Mogilevsky (the Chairman of the section "Diagnostics and forecasting of solar proton phenomena"), E.V.Ivanov and V.N.Obridko (the Council on Solar-Terrestrial Physics, the Academy of Sciences of the USSR).

The Catalog was prepared for printing at the Institute of Nuclear Physics, Moscow State University and at IZMIRAN, the Academy of Sciences of the USSR, with the active participation of E.A.Voronina, V.V.Troitskaya and I.G.Simakov. The authors of the Catalog wish to express their deep gratitude to all above-noted persons.

Introduction. In what follows we present a description of Part I, 2, 3 of the Catalog and the Appendix to Part I and also the section "On the associations of the proton events with solar flares". The arrangement of the proton-event data in the Catalog /I/ proved to be convenient and habitual for users. Therefore, the description and the structure of this Catalog follows, to a great extent, the corresponding constituents of the Catalog /I/. When possible, the markings are also the same as in ref./I/

DESCRIPTION OF PART I

Part I of the Catalog lists the data on the charged particle fluxes in the events recorded by various space probes near the Earth and by ground facilities during 1970-1979. For each event we suggest the source (or sources) of the observed particle increase. The source of the event was chosen from a joint analysis of the charged particle time profile and spectra, the solar electromagnetic radiation (in the H_{α} , X-rays and radio) and also the characteristics of the corresponding active regions on the Sun. The criteria used for identifying the sources are described in the Introduction in the section "On the associations of the proton events with solar flares".

The Catalog contains only those SPE in which the maximum >10 MeV proton flux was no less than 1 particle $(cm^2 s)^{-1}$. Not only a particle enhancement with the simple time profile was numbered as a new event. There are many particle flux increases which show two or more components in their development. We consider them as two or more new events if the sources of the components were identified successfully. Otherwise the complex particle flux increase was listed as one event.

In the heading of each event we give the data permitting this event to be singled-out from many others. Here are given:

- number of the event;
- year, month and date of the event;
- onset time (UT) of the >10 MeV proton increase, in hours;
- importance of the event determined by Table I, according to the classification system of Smart and Shea /24/.

Table I
SPE classification system /24/

Digit	First digit	Second digit	Third digit
	$>10 \text{ MeV proton}$ $\text{cm}^{-2} \text{s}^{-1} \text{sr}^{-1}$	PCA at 30 MHz	Neutron monitor increase in per cent
- 2	$10^{-2} - 10^{-1}$	-	-
- 1	$10^{-1} - 10^0$	-	-
0	$10^0 - 10^1$	No increase	No increase
I	$10^1 - 10^2$	I.5	3%
2	$10^2 - 10^3$	I.5 - 4.6	3 - 10%
3	$10^3 - 10^4$	4.6 - 15	10 - 100%
4	10^4	15	100%
x	measurements are not available		
()	the digit is un- certain or implied		

For example: the importance $23I$ means that the $>10 \text{ MeV}$ proton flux is within $10^2 - 10^3 \text{ cm}^{-2} \text{s}^{-1} \text{sr}^{-1}$, the polar cap absorption at 30 MHz is 4.6 to 15 dB and the sea level neutron monitor increase at high latitudes is not in excess of 3%.

The first column below the heading gives the name of the spacecraft and the kind of ground observations. The abbreviations used:

for spacecrafts

MET - Meteor

PRO - Prognoz I,2,3,6,7

IMP 5 - Explorer 41

IMP 6 - Explorer 43

IMP 7 - Explorer 47

IMP 8 - Explorer 50

NOAA 2,3 - ITOS D,F.

for other observations

BAL - particle flux measurements during the stratospheric balloon flights;

HM - neutron monitor measurements of the cosmic-ray intensity;

PWOM - riometer measurements of the polar cap absorption at 30 MHz.

The time intervals according to the spacecraft observations in the interplanetary space during 1970-1979 are given in fig. I.

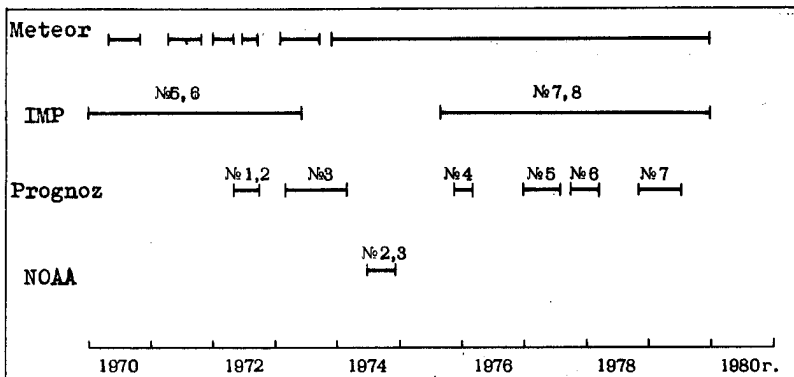


Fig. I THE INFORMATION ON THE SPACECRAFTS USED IN THE CATALOG.

The Table 2 presents the kind and the energy range of the listed particles.

Table 2

Energy ranges of particle fluxes measured aboard spacecrafts

Spacecraft	Protons, MeV	Electrons, MeV
Meteor	>5; >15; >25; >40; >60; >90	
IMP 5	>10; >30; >60; 6-19; 19-80	0.5-I.I
IMP 6	>10; >30; >60	
IMP 7,8	13.7-25.2; 20-40; 40-80	I - 5
NOAA 2,3	>10; >30; >60	
Prognoz 1-5	I4-30	
Prognoz 6,7	>7.6; >10; >30; >72; >100; >150	
Venus II,I2	>25; >60 >130 (>140)	

The initial spacecraft data used in compiling the Catalog were heterogeneous. The Meteor data were the tabulated values of the intensity obtained by averaging the 12-sec measurements performed in the passage of the deep polar cap (invariant latitude $67\pm70^\circ$). The duration of passage through the deep polar cap varied from 5 to 15 min, the time interval between the north and south polar caps was 30-45 min. The initial "Prognoz" data were the tabulated values of the hourly average detector counting rates. The IMP and NOAA data on particle fluxes are taken from "Solar Geophysical Data" /2/ and "Catalogue of Solar Cosmic Ray Events IMP IV and IMP V" /2I/.

For the period of January, 1970 to May, 1973 this information is presented as the graphs and the tables of hourly averaged proton intensity with $E > 10, > 30, > 60$ MeV. The initial information provided by the differential channels in the same time period and by all channels after 1979 was available only in the rough-scale graphs.

The balloon measurements were provided by the flights made in the Murmansk region (68.95°N ; 33.05°E) and at Mirny (66.57°S ; 92.92°E). The measurements were made once or twice a day in the quiet time and more often during the proton events. The particle energy was determined from the residual proton range in the stratosphere.

The monitor data are taken from the WDC-B2 which receives the tabulated data on the 5-, 10- and 15-min counting rates, corrected for the barometric effect, from various monitor stations of the cosmic-ray intensity. The results of analysis of the data obtained from the world set of stations and available, for separate events, in the literature are also used. In the $E > 500$ MeV range the SPE is characterized only by the sea-level station which recorded the maximum amplitude of the increase. The abbreviations used: АП - Apatity (67.55°N ; 33.33°E); ИН - Inuvik (68.35°N ; 133.72°W); К - Kerguelen (49.35°S ; 70.25°E); ММ - McMurdo (77.85°S ; 166.67°E) (in parenthesis we give the geographical coordinates of the stations).

The riometric absorption data listed in the Catalog are provided by the continuous observations made at four points whose characteristics are indicated in Table 3 /5/.

Table 3

The data on the stations of riometric observations

North Hemisphere			South Hemisphere		
Observation station	Invariant geom. latitude	Riometer frequency MHz	Observation station	Invariant geom. latitude	Riometer frequency MHz
	degr.			degr.	
North Pole	74-84	32	Mirny	76.8	30
I. Heiss	73.8	32	Vostok	84.3	29

In all cases the data apply to the time interval when the ionosphere is fully lighted. The initial data were presented as graphs and tables of the hourly averaged values of absorption. We present the data provided by the station which recorded the largest value of absorption.

The second column gives the kind and the energy range of particles measured for a given SPE. The abbreviations used:

- $\Sigma p > 10$ - the integral proton flux with an energy of 10 MeV
- Σp 14-30 - the proton flux in the 14-30 MeV range
- Σe I-5 - the electron flux in the I+5 MeV range
- $\Sigma p > 1$ GV - the proton flux with a rigidity of > 1 GV.

The same column gives

- $\Sigma \Sigma \Sigma$ - the polar cap absorption implying protons of order of 10 MeV in the particle flux.

The third column lists the onset time (UT) in hours of the particle increases and the PCA effects (according to the Meteor and the neutron monitors in hours and minutes). The onset of the proton flux increase is assumed to be the moment of time starting from which one can observe a continuous increase of particles of a given energy. The onset of the PCA effect is taken as the time when the absorption gets larger than 0.2 dB.

The fourth column gives information on the time (UT) in hours (according to the Meteor and the neutron monitors in hours and minutes) when the particle fluxes of a given energy and the PCA amplitudes were maximum. For the complex events with two or more maxima the corresponding values are separated by "/". For the events with an extended maximum the beginning and end of the time interval enclosing the maximum values are given through the dash "-".

In the third and the fourth columns the time refers to the day given in the heading. If the beginning or maximum was observed some other day, this day is added in front of the time and is labeled by "д". The signs ">" and "<" mean that the beginning or maximum were observed later or earlier than the listed time.

The time obtained from the SP tabulated values of the hourly-averaged particle fluxes is given with an accuracy of ± 0.5 hour. The time determined from the graphic data is correct to ± 2 hours or so. For the Meteor the time is accurate up to ± 7 min. It should be noted that because of the discrete passage through the polar caps the real time of the beginning or maximum could not be observed earlier than 30 min before the listed time.

For the stratospheric data the time is accurate to ± 30 min,

the fourth column presenting the observing time of the largest flux in a given event according to a series of balloon flights. For the PCA data, the time is correct to ± 1 hour, the time resolution of the neutron monitor is given for each station in the third column with the marking "A".

The fifth column is the duration of the event in days and hours ("c" or "q"). The signs ">" and "<" are used in the conventional sense. For simple events the duration was assumed to be the time interval from the onset of the particle flux increase up to the moment when the intensity reached the background value. For the first increase in the complex events we give only the lower limit of the duration. The duration obtained from the SP graphic data is accurate up to 0.5 day and from the SP tabulated hourly averaged intensity, up to 1 hour, if the duration was less than 3 days and up to 0.5 day, if greater. For the PCA event, the duration is given in hours with an accuracy of ± 30 min.

The sixth column gives the maximum integral fluxes in $\text{cm}^{-2}\text{s}^{-1}\text{sr}^{-1}$ and the maximum differential fluxes in $\text{cm}^{-2}\text{s}^{-1}\text{sr}^{-1}\text{MeV}^{-1}$ according to the SP and stratospheric data. In the present work the stratospheric measurements are corrected for the nuclear interactions of solar protons in the atmosphere. A tentative estimate of the > 10 MeV integral proton flux in the events provided with the particle-flux data only by the IMP 7,8 differential channels can be obtained from fig. 2. The figure presents the ratios of the proton fluxes in the differential channels $J(\Delta E_1)/J(^4E_2)$ (broken lines) and the ratios of the integral proton flux with $E > 10$ MeV to the differential-window flux $J(E > 10)/J(E_1)$ (solid lines) versus the index γ of the energy spectrum on the assumption that the spectrum is of the form $dJ/dE \propto E^{-\gamma}$, and $\gamma = \text{const}$. For example, at $J(13.7 - 25.2) = 0.12 \text{ cm}^{-2}\text{s}^{-1}\text{sr}^{-1}\text{MeV}^{-1}$ and $J(20 - 40) = 3 \cdot 10^{-2} \text{ cm}^{-2}\text{s}^{-1}\text{sr}^{-1}\text{MeV}^{-1}$, $J(E_1)/J(E_2) = 4$. In this case $\gamma = 3.4$ and $J(>10)/J(13.7 - 25.2) \approx 33$. It follows that $J(>10) \approx 0.12 \cdot 33 \approx 4 \text{ cm}^{-2}\text{s}^{-1}\text{sr}^{-1}$. It will be noted that this estimation of the integral flux is rough.

For the neutron monitor this column lists the maximum intensity increase in % and the abbreviated name of the station. The statistical accuracy of the neutron monitor data is not less than 1%. For the PCA the column gives the maximum absorption with an accuracy of ± 0.1 dB.

For the composite events with two or more maxima we give two or more values separated by "/" according to the times listed in the fourth column. The maximum fluxes are obtained in subtracting the background only for the simple events. For the composite event

the background was subtracted only for the first increase.

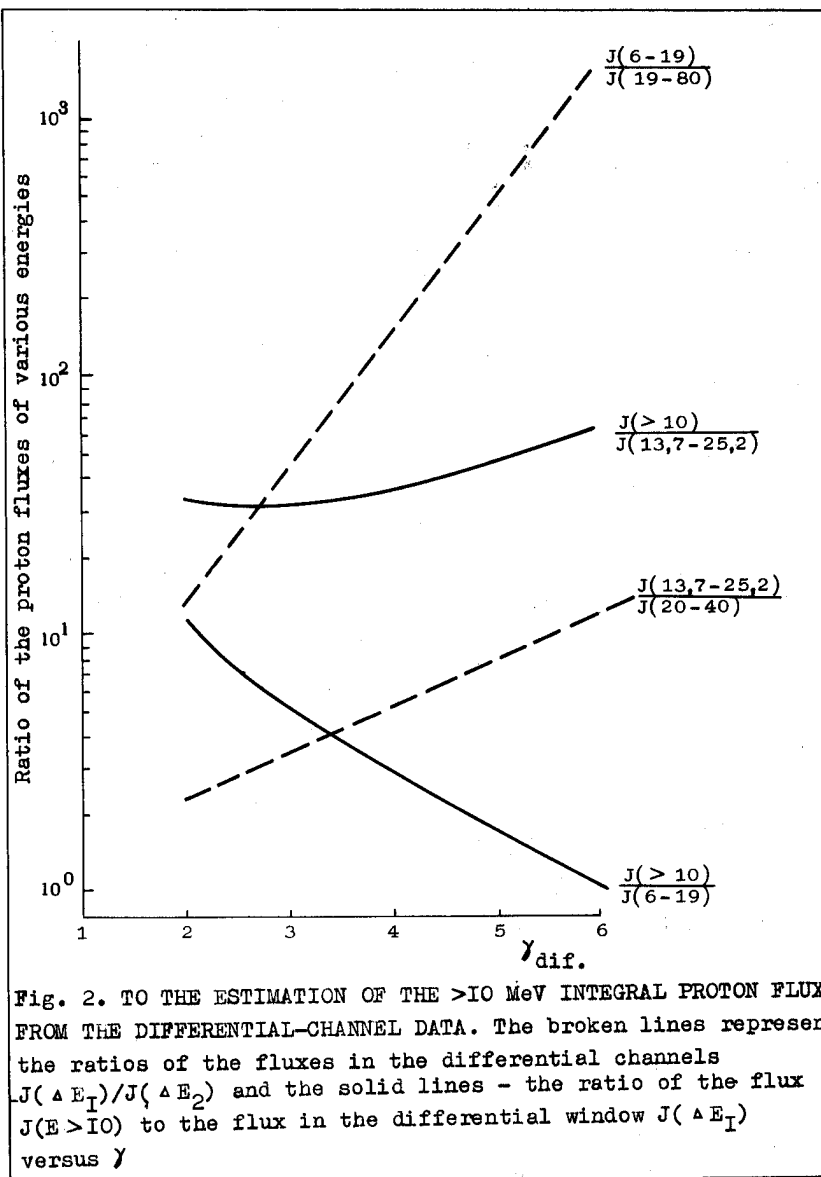


Fig. 2. TO THE ESTIMATION OF THE >10 Mev INTEGRAL PROTON FLUX FROM THE DIFFERENTIAL-CHANNEL DATA. The broken lines represent the ratios of the fluxes in the differential channels $J(\Delta E_1)/J(\Delta E_2)$ and the solid lines - the ratio of the flux $J(E > 10)$ to the flux in the differential window $J(\Delta E_1)$ versus γ

The lines below the columns give information on the source of the SPE. The markings:

- o - a flare-associated process on the visible hemisphere
- - a flare-associated process beyond the west or east limb
- ◊ - activity of the region on the solar disc, except for the flares or modulation effects in the interplanetary space
- △ - a flux increase associated with a sudden commencement.

The source (or sources) of the SPE was suggested according to the section "On the associations of the proton events with solar flares"; the degree of certainty of associations is expressed in the following way (an example of flares):

- - the association is certain
- - the association is probable
- - the association is possible but for some reason open to doubt
- - this flare is not the main source but contributed (or might have contributed) to the observed proton fluxes.

When there are several sources suggested their order is according to the probability we ascribe to them.

The line referring to the source gives the following data:

for the flares on the disc

- beginning time (UT)
- hours and minutes according to /2/ if the ref. is not indicated; the flares which cannot be separated by the X-rays and radio emission are given in brackets
- the heliographic coordinates (in degrees)
- the flare importance
- McMath serial number of the associated plage region (abrev. McM) and starting from November, 1969 - the Hale plage number (HR).

for the flares on the invisible hemisphere

- serial number of an expected active region
- time when the active region was beyond the west or east limb (if the evidence was available for the activity of this particular region)
- starting time (UT) of registration of solar radio bursts of type II and (or) type IV - hour and minutes - (when the observational data on these bursts were available and data on the H_α -flare were unavailable).

for the geomagnetic disturbances of type SC

- time of SC registration - hours and minutes. All SCs ob-

served during a given SPE are listed including the SC which are not time coincident with the change in the particle flux profile.

Whenever the time refers to a day different from the day in the heading, it is added in front of the time and marked by the index "d".

The last line refers the users to the papers which report (or analyse) the results of measurements of the particle fluxes and the accompanying phenomena during the given SPE.

Description of the Appendix to Part I

As was repeatedly noted the main points considered in the Catalog are the events with the maximum intensity of the proton flux near the Earth $J(E > 10 \text{ MeV}) > 1 \text{ cm}^{-2}\text{s}^{-1}\text{sr}^{-1}$. The Appendix treats more weak proton increases. The information is presented in a simple form, i.e. as a list of days when the proton flux increases with the maximum intensity not in excess of $1 \text{ cm}^{-2}\text{s}^{-1}\text{sr}^{-1}$ were observed near the Earth. Here is also given the SP which reported this flux increase. As a lower bound on the intensity of the listed events we have chosen the following values: for IMP 5,6 and NOAA 1-4 - $J(E > 10 \text{ MeV}) \sim 0.1-0.2 \text{ cm}^{-2}\text{s}^{-1}\text{sr}^{-1}$; for the IMP 7,8 in the 13.7-25.2 MeV energy range - $J \sim 10^{-3} \text{ cm}^{-2}\text{s}^{-1}\text{sr}^{-1}\text{MeV}^{-1}$, for MET. - $J(E > 5 \text{ MeV}) \sim 0.15 \text{ cm}^{-2}\text{s}^{-1}\text{sr}^{-1}$ (which corresponds to $J(E > 10 \text{ MeV}) \sim 0.03 \text{ cm}^{-2}\text{s}^{-1}\text{sr}^{-1}$).

We have not attempted to identify the sources for the proton flux increases considered in this Application since for these relatively weak events often having a not very distinct time profile, it is a still more difficult problem than for the particle flux increases with a moderate or even high intensity.

In elucidating the point if a solar flare was accompanied by a proton flux increase near the Earth one should remember the list of days with the small particle events given in this Appendix.

DESCRIPTION OF PART II

Part II of the Catalog gives information on the flares suggested in Part I as the sources of the corresponding proton increases. Unlike the work /I/, this Catalog presents the data on all the flares mentioned in Part I whatever the degree of certainty in the association (the marking: • certain, o probable, o possible flare and ø the flare contributing to one or another particle increase).

The heading of each flare gives: the day of the flare, the degree of certainty in the association (•, o or ø), McMath serial plage number, number of the event, the importance of the event according to the classification system of Smart and Shea (see Table I) and the comprehensive flare index CFI according to /3I/:

It will be recalled that CFI is calculated as

$$CFI = A + B + C + D + E,$$

where

A (I to 3) - short wave fade out or other sudden ionospheric disturbance (SWF, SID);

B (I to 3) - importance of H_α flare;

C - characteristic of log of ~10 cm flux in units of
 $10^{-22} \text{W/m}^2\text{Hz}$.

The first line below the heading gives information on the H_α - flare: the time (UT) of the beginning, maximum and end, heliographic coordinates in degrees and importance and also the flare characteristic according to the IAU system /2/. (Brackets enclose the flares which cannot be separated by X-rays and (or) radio emission). The flare characteristics is codified through Latin latters.

A - Eruptive prominence whose base is less than 90° from central meridian.

B - Probably the end of a more important flare.

D - Brilliant Point.

E - Two or more brilliant points.

F - Several eruptive centers.

G - No visible spots in the neighborhood.

H - Flare accompanied by a high speed dark filament.

K - Several intensity maxima.

L - Existing filaments show signs of sudden activity.

M - White-light flare.

N - Continuous spectrum shows effects of polarization.

O - Observations have been made in the calcium II lines H or K.

P - Flare shows helium D₃ in emission.

- Q - Flare shows the Balmer continuum in emission.
 R - Marked asymmetry in H α line suggests ejection of high velocity material.
 S - Brightness follows disappearance of filament (same position).
 U - Two bright branches, parallel (II) or converging (V).
 V - Occurrence of an explosive phase: important and abrupt expansion in about a minute with or without important intensity increase.
 W - Great increase in area after time of maximum intensity.
 X - Unusually wide H α line.
 Y - System of loop-type prominences.
 Z - Major sunspot umbra covered by flare.

The letters denoting the active region characteristics were not used.

In the end of the second line we give the X-ray importance (see Table 4) according to the emission data within I-8 Å obtained from SP.

Table 4
Flare classification by soft X-rays

Importance	Maximum flux within I-8 Å	
	erg cm $^{-2}$ s $^{-1}$	W m $^{-2}$ s $^{-1}$
CI-C9	I 10^{-3} - 9 10^{-3}	10^{-6} - 9 10^{-6}
MI-M9	I 10^{-2} - 9 10^{-2}	10^{-5} - 9 10^{-5}
x	I 10^{-1}	10^{-4}

The next lines give information on the radio bursts accompanying a given flare.

As compared with the Catalog /I/, the number of fixed frequencies is here increased in order to describe as carefully as possible the time-spectral structure of the radio burst, in particular, the microwave and decimeter components which usually have different time of maximum (and different frequency spectrum).

For each frequency we present a time of beginning, maximum and end of the burst (correct to tenths of a minute) and also log of peak flux densities in 10^{-22} W/m 2 Hz (sixth column). The fifth column is the codified spectral type of the radio burst in the decimeter and centimeter wavelength range. The markings follow those used in the Catalog /I/.

P5 - means that the spectrum shows a peak at 5 GHz;
P5(2,3) means that log of the maximum flux at 5 GHz is 2,3
(the maximum density of the flux is 200 units);
I/9- means that the flux density is minimum at I GHz and rises up
to 9 GHz; no measurements are available at higher frequencies;
0.6/9 - means that the flux density rises up toward high frequencies
(from 0.6 GHz to 9 GHz);
0.6\9 - means that the flux density falls toward high frequencies
(from 0.6 GHz to 9 GHz);
U 2P7 - means that the flux density is minimum at 2 GHz and peaks
at 7 GHz;
3 - 9 - means a flat frequency spectrum between 3 and 9 GHz.

A description of the radio burst spectrum requires, in most instances, various combinations of these marks.

The following lines describe the dynamic spectrum (ΔC) of the meter component of the radio burst. Here are given the data on the spectral type of the burst, the time of beginning and end and also the importance characterizing the relative intensity of the burst.

While compiling Part II we used the data /2,3/ and Bulletin "Solar Radioemission", Radiophysical Research Institute, Gorky, USSR, and "HHI Solar Data", Berlin /33,34/.

The last line lists the papers reporting the data on optical, radio, X- and Y-emission during a given SPE.

DESCRIPTION OF PART III

Part III contains a list of the selected active regions which produced a SPE associated with a flare classified as \bullet or \circ . The characteristics of the active regions are also given. Most of the data are taken from the Bulletin "Solar Geophysical Data", Boulder, USA, and "Solnechnye Dannye", Main Astronomical Observatory, Pulkovo, USSR /2,3/. Some information was obtained from "Solar Phenomena", Roma and "Quarterly Bulletin on Solar Activity", Zürich /35,36/.

The first line of the heading presents (from left to right):
- McMath plage number (McM) and starting from November, 1979, the Hall plage number (HR);
- Meudon number of the associated active region where the first four-digit number means the Carrington rotation (for example, M 1572-40 means the fortieth active region in Carrington rotation 1572);

- the heliolatitude of the active region center;
- the date of the central meridian passage in tenths of a day (I2,5 Apl means I200 UT April I2);
- Mt Wilson number of the sunspot group (or groups) (MW) which produced the flare, if there are several groups the first listed is the largest group or the group where the "center of gravity" of the flare is located; after it numbers of groups (by two or three last figures) which have persisted not less than 7 days and contributed to the flares;
- corresponding number of the sunspot groups (CΔ, R) according to refs. /3,35/.

The second line of the heading gives

- day and onset time of the flare associated with the SPE;
- Carrington longitude (in the middle of the line just below the CMP), if many events were observed in the region the day and onset time of the flares are given both to the right and left of the Carrington longitude.

The arrangement of data below the heading is as follows:

- age of the active region (in solar rotations)
- brief description of the development of the active region including prior rotation McM plage number, peculiarities in the development of the group (or groups) and its (their) magnetic configuration. Further is given the total number of flares, including (up to I975) unconfirmed flares. The flare distribution by importance (brightness neglected) is indicated in parenthesis, for example 45(2₄ + I₇) means that there were 45 flares including 4 flares of importance 2 and 7 flares of importance I. The description is ended by flare region index I_F (starting from I975) that characterizes the flare activity integrated over a disc passage:

$$I_F = (0.76/T^*) \sum A_d^2$$

where A_d is the apparent (not corrected for geometric foreshortenings) individual flare, T^* is the effective time of observation in minutes. Before I975, I_F was calculated only for the confirmed flares and does not reflect the actual state of affairs.

The subsequent lines give the numerical characteristics of the active region and of the group of sunspots.

- a) on the day of the CMP
- b) on the days of the proton flares
- c) on the day of the maximum development of the active region by its area if it is not coincident with the days of points,a)

and b). The characteristics are written down for all sunspot groups listed in the first line of the heading and combined by the left bracket for each day. The abbreviations used:

- Ca 6I00/3.5 means that the area of calcium plage was 6I00 millionths of the visible hemisphere and its intensity was 3.5 (on a scale I to 5)
- spots 640/I20/320/I9 means that there were I9 spots with the total area equal to 640 millionths of the visible hemisphere, the shadow area - I20, the largets spot area - 320. For all events the first, third and fourth characteristics are according to ref. /3/. The second one was taken from ref./35/, if the total areas given in the two refs. /3,35/ differ by no more than 10%. Otherwise the first, second and fourth characteristics are additionall taken from ref. /35/, the letter R being indicated in front of the line. In this case the data from ref. /3/ and /35/ are combined by the right bracket.
- Zürich classification of the sunspot group: A - B - C - D - E - F - G - H - J according to ref. /35/; starting from 1972 the Mc Intosh classification is added in parentheses.
- magnetic classification of the sunspot groups by ref. /2/.
 - α- a unipolar spot;
 - β- bipolar group (βp , βf the preceeding or the following spot, respectively, is more developed);
 - βγ- bipolar group with magnetic irregularities;
 - δ- magnetically complex group with common penumbra to both polarities

In last line the refs. are given.

ON THE ASSOCIATION OF THE PROTON EVENTS WITH SOLAR FLARES

The association of the energetic proton increases in the interplanetary space with solar flares or some other manifestations of the solar activity is a very interesting problem which has not yet been resolved because of poor knowledge of the particle acceleration and their escape from the Sun. Therefore, the sources of the particle events were identified taking into account well-founded and verified statistical regularities with no one considered as decisive.

Three sets of data considered are:

- charged particle fluxes, their time profiles, anisotropy and energy spectra;
- electromagnetic radiation of flares in X-ray, optical and radio ranges, their spectral and time characteristics etc.
- magnetic field structure and development of the active regions on the Sun, their flare activity.

Let us discuss briefly the regularities which were taken into account in compiling the Catalog bearing in mind the proton fluxes with an energy of tens of MeV.

I. Characteristics of the proton fluxes

Before identifying a source of the SPE, we analyzed the SPE itself, its time behaviour, the anisotropy (it was estimated from the relation of the proton fluxes in the north and south polar caps) and the energy spectrum. The consideration was made as follows:

a) From the time profile of the particle fluxes with different energy, the character of the event, its structure (single or superposition) and power (the value of the maximum particle fluxes) we estimated roughly heliolongitude of the flare producing this event (on the east or west hemisphere of the Sun).

In the case of a rapid proton increase (one to several hours for > 10 MeV protons), hard spectrum (the integral spectrum index $\gamma \leq 3$) and large anisotropy the flare may be, most probably, located on the west hemisphere.

In the case of a slow proton increase and decrease, a softer spectrum ($\gamma \geq 3$), as a rule, and, sometimes, the absence of the velocity dispersion, a source of the event, a solar flare, was searched for on the east hemisphere (see, for example, refs. /37-41/).

b) If good reasons were found to suggest that a solar flare located on the west hemisphere was a source of the SPE, all the flares preceding the onset of the event within an hour or 10 hours were examined to determine the concrete source. If the flare was assumed to be on the east hemisphere the noted interval was wider, up to 2 - 3 days.

Some SPE in 1970-1972 were associated with the flares beyond the limb taking into account the proton fluxes from Pioneer 6-9 orbiting at different heliocentric longitudes.

II. Electromagnetic radiation of flares

The analysis of the SPE itself provides preliminary data on the longitude and time of the flare-source. The next important step is to analyse the electromagnetic radiation of the flares chosen as possible sources of the SPEs.

The radioemission of the flares requires the most detailed consideration. The reasons are: first, the information on radio-bursts is as a rule rather extensive. It consists of a wide set of data in the centimeter and decameter range (spectral and at fixed frequencies) which reflects the conditions of the particle acceleration and their leaving from the flare region. Second, the characteristics of the flare-associated radiobursts are rather well studied and can be used to identify a source of the SPE.

The analysis of the electromagnetic radiation of flares can be made on the base of the following results:

1. The most probable sources of the proton fluxes are the flares of large optical importance and of the importance $\geq M5$ in the soft X-ray, in particular, if the duration of the X-ray burst is large (≥ 60 min). For these flares $CFI > 10$, as a rule /23/.

2. The proton flares are usually accompanied by the radiobursts of type II and (or) IV /4,42-44/.

3. There are some criteria which permit a qualitative solution of the problem if a given flare can be a source of the proton increase in the interplanetary space. The well-known criterium is, for example, the U-shaped frequency spectrum /6,45,46/. In particular, it required the sufficiently powerful (> 1000 units of the flux) at the centimeter (~ 9 GHz) and metric (~ 245 MHz) waves with a relatively small (thousands of units) flux density of the radio burst in the decimeter range and the duration of the microwave burst ≥ 5 min. This criterium is satisfied by most flares giving rise to the proton increase at the Earth's orbit with the maximum particle flux J ($E > 10$ MeV) \geq tens of $\text{cm}^{-2}\text{s}^{-1}\text{sr}^{-1}$.

A version of the criterium, which is also applicable to more weak phenomena ($J(E > 10 \text{ MeV}) \geq 1-5 \text{ cm}^{-2}\text{s}^{-1}\text{sr}^{-1}$) includes the following signatures /47/: the microwave burst with the flux density at $\sim 5-9 \text{ GHz} \geq 500$ units, with the flux increasing while the frequency rises up from 3 to 9 GHz or 3 to 5 GHz and the $\sim 2-3$ min duration at the 0.5 level from the maximum intensity value; the metric radioburst of type II and/or IV with the flux density ≥ 300 units at a frequency of $\leq 245 \text{ MHz}$.

4. The quantitative characteristics of the proton fluxes near the Earth (maximum intensity, time parameters) expected from a given flare can also be estimated from the radioburst data /48-53/. The comparison between the estimation and observations is an additional argument in association of the proton increases with the flares. The Catalog treated the estimates of proton fluxes made by radio date for the 1970-1979 flares /47,54,55/.

III. Characteristics of the active regions

The characteristic of the active region is another important factor in the associations of the proton increases with a flare. The flares are observed more frequently in the active regions with the following features /23/.

a) The magnetic configuration is very complex with the alternation of polarities within one developed sunspot group; the reversed polarity of the leading sunspot, the unusual location of spots of different polarity (for example, along the meridian), the "δ"-configuration in the largest sunspot, or the "δ"-configuration in the middle of the group between the preceding and the following spots.

b) The complicated own motions of spots at large velocities are often observed.

c) The flare energy release is observed as a number of rather powerful flares, one or several of which can give rise to the proton increase near the Earth.

The complexes of activity should be noted which consist of two and more neighbouring sunspot groups with the complex magnetic configuration connected by a common magnetic field. In such groups the powerful flares are produced at the second and even at the third rotation while in the single groups, even with a high flare activity, the powerful flares are rarely produced at the second rotation.

IV. The final stage of the association

At this stage we perform the joint analysis of the electromagnetic radiation of the flares preceding a given particle increase, the parameters of the corresponding active regions, and the properties of the proton increase itself. The association was regarded as certain (•), probable (◦) or doubtful (○) depending on to what extent (fully, partially or rather bad) the suggested flare satisfies the above requirements.

The flares which contributed or might have contributed to the proton increase (◦) were chosen in a similar way.

Particular attention should be paid to the SPE with complex time profile which were classified as the effect of the high flare activity. The more intensive SPE ($J(E > 10 \text{ MeV}) \sim \text{tens or hundreds of cm}^{-2}\text{s}^{-1}\text{sr}^{-1}$) are connected, as a rule, with a number of the flares which satisfy the requirements of "certain" association (•), but their contributions are difficult to separate. Similar phenomena of lower intensity ($J(E > 10 \text{ MeV}) \leq 20 - 40 \text{ cm}^{-2}\text{s}^{-1}\text{sr}^{-1}$) with a relatively soft energy spectrum ($\gamma > 2.5$) are more due to a number of the flares which satisfy the requirements of probable (◦) or doubtful (○) association. In both the cases, the Catalog lists only the most significant flares observed.

A specifical group is the SPE's which are produced by the flares beyond the limb. The signs implying the connection between the proton increase and the flare beyond the limbs are, for example, a) the absence of a possible flare in the visible hemisphere; b) passing beyond the west limb or coming from behind the east limb of the active region manifesting a high probability of occurrence of the proton flares; c) observation of the metric radio bursts of type II and /or IV and also the coronal ejections not connected with the H_{α} .

Finally, in some cases when a given proton increase failed to be associated with a flare on the disc or with the activity beyond the limb we say that its source is unknown.

In conclusion, it will be noted that this section does not exhaust the wide range of questions and the variety of situations encountered in associating the SPE's near the Earth with solar flares. Unfortunately, in many cases the association is subjective. The authors would like to hope that in the Catalog the subjectivity was suppressed owing to a joint analysis of the whole body of data and the participation of the scientists working in different fields.

Часть I

I	1970 январь 29	14		OIO
IMP5	Пр>10	14	24	>50ч 4,3
-"-	Пр>30	14	24	41ч 2
-"-	Пр>60	14	24	34ч 0,7
-"-	Пр6-19	21	30 ^Д 01	>2с 0,38
-"-	Пр19-80	15	24	>2с 0,04
-"-	Эл0,5-1,I	1255	17	2с 5
РИОМ	ППП	08	30 ^Д 09	38ч 0,5

Источник: вспышечная активность области McMI0542

- вспышка 28^Д1913 s I4 w33 2B McMI0542
- вспышка I024 s I3 w42 1B McMI0542
- ▲ sc I839

/56,57/

2	1970 январь 31	17		I20
IMP5	Пр>10	17	24	84ч 24
-"-	Пр>30	17	21	40ч 6,2
-"-	Пр>60	17	20	20ч 1,8
-"-	Пр6-19	17	1 ^Д 01/5	4,5с 4/4
-"-	Пр19-80	17	20	4,5с 0,12
-"-	Эл0,5-1,I	1605	23	3с 10
РИОМ	ППП	I7/I ^Д 21	I ^Д 02/I ^Д 23	70ч/4ч 1,9/I,I

Источник: ● вспышка I512 s 23 w62 2B McM I0542

▲ sc I^Д1957

/56,57/

3	1970 март 06	15		OIO
IMP5	Пр>10	15	7 ^Д 02	>14ч 7,3
-"-	Пр>30	15	19	>14ч 0,4
-"-	Пр19-80	15	24	>15ч 0,03
-"-	Эл0,5-1,I	1330	21-7 ^Д 02	>17ч 4
РИОМ	ППП	22	7 ^Д 02	>15ч 1

Источник: ■ область McMI0595 I сутки за w -лимбом
радио-всплеск 093I без H_α-вспышки

/57-59/

4	I970 март 07	I2	I2	I20
IMP5	Пр>10	I2	8 ^Д 03	92ч
-"-	Пр>30	I5	24	19ч
-"-	Пр I9-80	<I5	24-8 ^Д 03	3с
-"-	Эл0,5-I,I	<I5	24-8 ^Д 03	2,5с
РИОМ	III	<22	24	44ч

Источник: • вспышка 0I38 S I2 EIO 2B McM I0614
 □ активная область McM I0595 2 суток за w-лимбом
 △ sc 8^ДI4I7

/ 58,59/

5	I970 март 23	I9	I9	OIO
IMP5	Пр>10	I9	22	>51ч
-"-	Пр>30	I9	22	29ч
-"-	Пр>60	I9	21	17ч
-"-	Пр 6-I9	21	24	>2с
-"-	Пр I9-80	20	22	>2с
-"-	Эл0,5-I,I	I8I5	21	>2с
РИОМ	III	<I9	22	>12ч

Источник: • вспышка I545 N I8 w 62 I N McM I0638
 □ активность за w-лимбом
 всплески IV типа I700-I800; II типа I759-I807

/57,60/

6	I970 март 25	22	000
IMP5	Пр>10	<22	26 ^Д I0
-"-	Пр>30	<22	26 ^Д I0
-"-	Пр 6-I9	<22	26 ^Д (4-2I)
-"-	Пр I9-80	<26 ^Д 0I	26 ^Д (5-I4)
-"-	Эл0,5-I,I	22	26 ^Д 05

Источник: • вспышка I202 N I4 EIO IB McM I064I

/61/

7	1970 март 29		02		I20
IMP5	Пр>10	02	08/19	8с	44,8/65,5
-"-	Пр>30	02	08/19	7с	16/20,2
-"-	Пр>60	02	08/19	5с	6,3/6,5
-"-	Пр 6-19	04	19	8с	6
-"-	Пр 19-80	03	(8-12)/19	13с	0,2/0,4
-"-	Эл0,5-1,I	0III5	05	7с	80
БАЛ	Пр>I20	<06	II	2,5с	2,I
-"-	Пр>200	<06	II	2,5с	0,8
-"-	Пр>300	<06	II	2,5с	0,3
РИОМ	IIIИ	03/3I ^Д 05	8/3I ^Д 06	3,5с	I,2/I,3

Источник: • вспышка 0032 N I3 w37 2B McM I064I
 ▲ sc 3I^Д0528

/56,57,64/

8	1970 май 30		06		II0
MET	Пр>5	0550	2II9	I24ч	I33
-"-	Пр>15	0550	2II9	64ч	II
-"-	Пр>25	>0550	2II9	>48ч	I,3
-"-	Пр>40	>0550	I939	>40ч	0,4
IMP5	Пр>10	06	2I	68ч	I8,9
-"-	Пр>30	07	20	36ч	0,6
-"-	Пр 6-19	16	2I	>2,5с	8
-"-	Пр 19-80	<16	2I	>2,5с	0,06
-"-	Эл0,5-1,I	0520	22/3I ^Д 07	5с	2,7/2,7
РИОМ	IIIИ	09	20	37ч	I,3

Источник: о вспышка 0218 s 08 w30 2B McM I0760
 □ активность на невидимой полусфере
 △ sc I^Д0305

/65,66/

	9	1970 ИЮНЬ 25	23		II0
MET	Пр>5	23I0	26 ^{II} 0745/26 ^{II} (2I-23)	5с	79,6/I2
-"-	Пр>15	23I0	26 ^{II} 0745/26 ^{II} I9I5	3с	6,4/0,8
-"-	Пр>25	23I0	26 ^{II} 0652	4Iч	0,8
-"-	Пр>40	23I0	26 ^{II} 0652	2Iч	0,2
IMP5	Пр>10	23	26 ^{II} 07/26 ^{II} (I9-22)	56ч	II,9/0,9
-"-	Пр>30		26 ^{II} 07	>6ч	0,3
РИОМ	III	26 ^{II} 03	26 ^{II} 07	>19ч	I,5

Источник: о вспышка I833 N10 EII 2B McM I080I
 ▲ sc 27^{II}0605

/57/

IO	1970 ИЮЛЬ 07	I9		II0
MET	Пр>5	I9	2I	I06ч 18,3
-"-	Пр>15	I9	2I	66ч 3,I
-"-	Пр>25	I9	2I	40ч 0,8
-"-	Пр>40	I9	2I	28ч 0,4
IMP5	Пр>10	I9	22	52ч 5,3
-"-	Пр>30	I9	2I	36ч I,2
-"-	Пр>60	I9	2I	22ч 0,3
-"-	Пр 6-I9	20	8 ^{II} 0I	3с 0,3
-"-	Пр I9-80	I9	23-24	3с 0,04
-"-	Эл0,5-I,I	I7I5	2I/8 ^{II} I7	2с 9/I,5
РИОМ	III	20	22	23ч 0,5

Источник: ■ вспышка I648 N24 W90 SF McM I0808
 ▲ sc 8^{II}23I7

/57,60,67/

II	1970 ИЮЛЬ 23	20		II0
MET	Пр>5	20	24 ^{II} 0206/25 ^{II} 0I	7с 68/398
-"-	Пр>15		24 ^{II} 0206	6с 4,9
IMP5	Пр>10	20/24 ^{II} 20	24/25 ^{II} 0I	>78ч/8ч II,3/206
-"-	Пр>30	2I	23	32ч 0,8
-"-	Пр 6-I9	20	24 ^{II} 0I/24 ^{II} 24	>4с 4/200
-"-	Пр I9-80	2I	24/24 ^{II} 24	3,5с 0,05/0,5
-"-	Эл0,5-I,I	I845	23/24 ^{II} 24	3с 5,3/
РИОМ	III	20/24 ^{II} 20	24/25 ^{II} 00	44ч/8ч I/9

Источник: ● вспышка I83I N09 E09 IB McM I0845
 ▲ sc 24^{II}II25, 2350

/67/

I2	1970 август II	~ 00		230
МЕТ	Ир>5	16 ^Д 0015	20с	1800
-"-	Ир>15	16 ^Д 0015	20с	135
-"-	Ир>25	15 ^Д III5	>48ч	8,2
-"-	Ир>40	15 ^Д 0209	48ч	2,2
-"-	Ир>60	15 ^Д 0208	48ч	0,4
IMP5	Ир>10	~00	16 ^Д 01	15с
-"-	Ир>30	13 ^Д 01	15 ^Д I5	5с
-"-	Ир>60	13 ^Д 00	15 ^Д 03	4,5с
-"-	Ир 6-I9	<01	16 ^Д 05	15с
-"-	Ир I9-80	<01	>15 ^Д I4	16с
-"-	Эл0,5-I,I	03	15 ^Д 10	7с
РИОМ	ИИИ	13 ^Д I5/16 ^Д 20	16 ^Д 01/17 ^Д 00	5с/9ч
				4,8/2,9

Источник: ■ высокая вспышечная активность области
McM I0882 вблизи E-лимба
○ вспышка 12^Д2021 N II E90 IB McM I0882
○ вспышка [14^ДI604 N I0 E75 2B McM I0882, а также
[14^ДI556 N I6 w74 IB McM I0865
[14^ДI702 N I7 w74 IB McM I0865

▲ sc 16^Д2204

/57,68/

I3	1970 ноябрь 05	06		I20
IMP5	Ир>10	06	6 ^Д 02/7 ^Д 06	6с 42/39,5
-"-	Ир>30	06	15/6 ^Д 01	4с 1,7/1,2
-"-	Ир>60	06	15/6 ^Д 01	3с 0,4/0,2
-"-	Ир 6-I9	07	6 ^Д 02/7 ^Д 06	10с 15/30
-"-	Ир I9-80	06	6 ^Д 02	10с 0,13
-"-	Эл0,5-I,I	0430	6 ^Д 02/6 ^Д I6/7 ^Д 04	6с 7,5/7,5/I0
РИОМ	ИИИ	04/7 ^Д 03	6 ^Д 03/7 ^Д 07	5с/10ч 1,6/2,5

Источник: ● вспышка 0308 s I2 E36 ЗВ McM II019
◊ прохождение по диску области McM II019
□ вспышечная активность области McM II002 за
W -лимбом
всплески II типа 0649, 7^Д0402 без H_α - вспышки
▲ sc 7^Д0046

/57,70-72,75/

I4	1970 декабрь 12		05		010
IMP5	Пр>10	05	19/13 ^Д 16/14 ^Д 09	62ч	1,3/I,5/I,8
-"-	Пр>30	05	16	55ч	0,I
-"-	Пр 6-19	08	13 ^Д 13/13 ^Д 23/14 ^Д 08		I,2/I/I
-"-	Пр 19-80	07	15-14 ^Д 04		0,006-0,005
-"-	Эл0,5-I,I	03			
РИОМ	ПШ	I7	13 ^Д 13	34ч	0,6

Источник: прохождение по диску активных областей
McM II073 и II077

- вспышка II^Д2205 N I6 w02 IN McM II073
- вспышка II^Д2236 N I5 E30 SN McM II077
- вспышка I2^Д0903 N I0 E23 IB McM II077
- △ SC I4^Д0155

/57,75,85,88/

I5	1970 декабрь 24		08		000
IMP5	Пр>10	08	I3/22	8с	5,4/5,I
-"-	Пр>30	08	I3-2I	6с	I,I
-"-	Пр>60	08	I3-I8	3с	0,3
-"-	Пр 6-19	08	I3/I7	>I2с	3,5/0,4
-"-	Пр 19-80	08	I3/I8	>I2с	0,01/0,015
-"-	Эл0,5-I,I	0655	I3/I7	>I2с	8/6

Источник: неизвестен, возможно, вспышка за W - лимбом

/75/

I6	1971 январь 24		24		343
IMP5	Пр>10	24	25 ^Д 09/25 ^Д 13	7с	883/II7I
-"-	Пр>30	24	25 ^Д 07/25 ^Д 12	5с	408/396
-"-	Пр>60	24	25 ^Д 02/25 ^Д 07	>4с	86/89,3
-"-	Пр 6-19	24	25 ^Д 23	>7с	I50
	Эл0,5-I,I	2340			
БАЛ	Пр>140	<25 ^Д 08	<25 ^Д II	>2с	3,5
-"-	Пр>200	<25 ^Д 08	<25 ^Д II		I,3
-"-	Пр>300	<25 ^Д 08	<25 ^Д II		0,4
НМ	Пр>ГВ	2330△ 5	2347△ 3	24ч	26 MM
РИОМ	ПШ	25 ^Д 01	25 ^Д 09/25 ^Д 19	5,5с	3,5/I9

Источник: • вспышка 2215 N I8 w49 3B McM III28

△ SC 27^Д0430

/57,64,67,78-86/

I7	1971 апрель 01		22	000	
IMP5	Пр>IO	<22	2 ^{II} 06/2 ^{II} IO	43ч	2/2
-"-	Пр 6-I9	24	2 ^{II} IO	64ч	1,5
-"-	Пр I9-80	24	2 ^{II} 09	43ч	$3,5 \cdot 10^{-3}$
-"-	Эл0,5-I,I	<2 ^{II} 0030	2 ^{II} 04	>Ic	2,I

Источник: ● вспышка I300 S 20 wI2 IN McM II22I
 ▲ sc 3^{II}I39

I8	1971 апрель 06		II	I20	
IMP5	Пр>IO	II	I8	90ч	5I
-"-	Пр>30	II	I3-I6	>30ч	4,9
-"-	Пр>60	I2	I3	I8ч	I,I
-"-	Пр 6-I9	I2	I7-22	4,5c	IO
-"-	Пр I9-80	I2	I8	4,5c	0,3
-"-	Эл0,5-I,I	I0I8	I3	2c	25
РИОМ	III	I2	I8	36ч	2,2

Источник: ● вспышка 0936 S 19 w80 IB McM II22I
 /60,90-93/

I9	1971 апрель 20		22	010	
IMP5	Пр>IO	22	(23-24)/2I ^{II} 02	40ч	2,7/2,3
-"-	Пр>30	22	23	30ч	0,2
-"-	Пр 6-I9	23	2I ^{II} 02	>I,5c	I,3
-"-	Пр I9-80	21	23	>I,5c	0,02
-"-	Эл 0,5-I,I	20	23	Ic	I,3
РИОМ	III	2I ^{II} 01	2I ^{II} 18	2Iч	0,5

Источник: ○ вспышка 05I3 N 20 w20 2B McM II256
 ○ вспышка I924 S 06 w50 IB McM II250
 ▲ sc 2I^{II}I333, I627

/94/

20	1971 апрель 22		I3	000	
IMP5	Пр>IO	I3	I7	30ч	I,5
-"-	Пр>30	I3	I6	I0ч	0,2
-"-	Пр 6-I9	I4	I6	2,5c	0,3
-"-	Пр I9-80	I3	I6-I9	2,5c	0,008
-"-	Эл0,5-I,I	I237	I7	22ч	I,2

Источник: ○ вспышка <0942 N 18 w6I SN McM II256

/57/

2I	I971 май I6	I4	II0
МЕТ	Пр>5	<I442	I758
-"-	Пр>15	<I442	I622
-"-	Пр>25	<I442	I442
IMP5	Пр>10	I4	I8
-"-	Пр>30	I4	I6
-"-	Пр>60	I4	I5
-"-	Пр 6-I9	I5	I7 ^Д (2-4)
-"-	Пр I9-80	I4	I8
-"-	Эл 0,5-I,I	I300	I5/I9
РИОМ	III	I5	22
			29 ^ч
			I

Источник: ■ область McM II294 2 суток за w - лимбом
 всплеск IV типа I236 без Н_α - вспышки
 ▲ sc I7^Д0630

/95/

22	I971 сентябрь 01	2I	233
МЕТ	Пр>5	2049	>2 ^Д 0318
-"-	Пр>15	2049	>2 ^Д 0318
-"-	Пр>25	2049	2 ^Д 0228
-"-	Пр>40	2049	2 ^Д 0228
-"-	Пр>65	2000	2 ^Д 0136
IMP5	Пр>10	2I	2 ^Д 08
-"-	Пр>30	2I	2 ^Д 08
-"-	Пр>60	2I	2 ^Д 02
-"-	Пр 6-I9	22	2 ^Д (7-8)
-"-	Пр I9-80	2I	2 ^Д (8-14)
-"-	Эл 0,5-I,I	2000	
БАЛ	Пр>120		<2 ^Д 08
-"-	Пр>200		<2 ^Д 08
-"-	Пр>300		<2 ^Д 08
-"-	Пр>400		<2 ^Д 08
-"-	Пр>500		<2 ^Д 08
НМ	Пр>IГВ	2000△ I5	22I5
РИОМ	III	2I/4 ^Д I7	2 ^Д 08/4 ^Д I9
			7 ^ч /0,25 ^с
			5,6/I,2

Источник: ■ область MCM II482 ~ 30° за w - лимбом
 всплески II,IU типа I934 без Н_α - вспышки
 ▲ sc 4^Д1646

/57,64,78,80,96-I05/

23	1971 октябрь 03		<I6	000
MET	Пр>5	<I6I2	<4 ^{II} I629	I04ч >6
-"-	Пр>15	<I6I2	<4 ^{II} I629	95ч >3,2
-"-	Пр>25	<I6I2	<4 ^{II} I629	80ч >1,6
IMP5	Пр>10	<I6	4 ^{II} I4	70ч 3,2
-"-	Пр>30	<I6	4 ^{II} II	70ч 1,2
-"-	Пр>60	<I6	4 ^{II} 07	40ч 0,3
-"-	Пр 6-I9	<I8	4 ^{II} I6	6с 0,35
-"-	Пр I9-80	<I8	4 ^{II} (I2-I6)	5,5с 0,03
-"-	Эл 0,5-I,I	<4 ^{II} 02	4 ^{II} 07	>3с 2,3

Источник: • вспышка I330 N I3 E14 2 N McM II537
 ▲ sc 5^{II}2245

/96, I07/

24	1971 декабрь 14		04	0IO
IMP6	Пр>10	05	I6 ^{II} II/I7 ^{II} 04	7с/30ч I,I/5
-"-	Пр>30	04	I6 ^{II} II-I7 ^{II} I4	86ч 0,4
-"-	Пр>60	05	I6 ^{II} (05-23)	86ч 0,2
РИОМ	ИИИ	/I6 ^{II} 20	/I7 ^{II} 07	/24ч /I,2

Источник: ■ области McM II656 и II657 ~ I,5 суток за
 Е-лимбом
 всплески II,IU типа 0230 без H_α - вспышки
 ▲ sc I6^{II}I905, I7^{II}I418

/I09-III/

25	1972 январь 10		23	000
IMP6	Пр>10	24	II ^{II} 06	3с I,I
-"-	Пр>30	23	II ^{II} 03	3с 0,7
-"-	Пр>60	23	II ^{II} 03	>2с 0,2

Источник: ○ вспышка 0205 s II E47 IN McM II687
 ○ вспышка 22I2 s 08 E30 SN McM II687

26	I972 январь 20	03	I20
MET	Ip>5	<0636	>I829
-"-	Ip>15	<0636	>I820
-"-	Ip>25	<0636	>I829
IMP6	Ip>10	03	2I
-"-	Ip>30		22
РИОМ	III	09	23
			60ч 35ч 48ч
			2I 2I 0,I
			2

Источник: ○ вспышка I9^{II}0632 sI8 E18 IN McM II693
 ○ вспышка I9^{II}I639 sI6 E10 IB McM II693
 △ sc 2I^{II}I5I

27	I972 март 06	01	020
MET	Ip>5	>5 ^{II} 22	/6 ^{II} 2I53 /I4I
IMP5	Ip>10	0I	I5/22 25ч 3,8/3,9
РИОМ	III	04/I7	II/02 ^{II} 00 3Iч/I2ч 0,7/I,7

Источник: ● вспышка 5^{II}0807 s07 E43 IB McM II769
 ▲ sc 2I08

/II3,II4/

28	I972 апрель 17	23	I20
MET	Ip>5	<18 ^{II} 0I05	I8 ^{II} 0I/I9 ^{II} 0I4I >5,7с I66/4I8
-"-	Ip>15	<18 ^{II} 0I05	I8 ^{II} 0336/I9 ^{II} 0I4I >2,7с I9,6/7,7
-"-	Ip>25	<18 ^{II} 0I05	I8 ^{II} 0336/I9 ^{II} 0I4I >I,2с 2,4/0,4
-"-	Ip>40	<18 ^{II} 0I05	I8 ^{II} 0336 >I,2с 0,5
IMP5	Ip>10	23	I8 ^{II} 06/I8 ^{II} 24 5с I7,3/I05
-"-	Ip>30	24	I8 ^{II} 03/I9 ^{II} 03 30ч I,2/I,6
-"-	Ip 6-I9	24	I8 ^{II} II > 7с I3
-"-	Ip I9-80	23	I8 ^{II} 03/I8 ^{II} II 4,5с 0,15/0,06
-"-	Эл 0,5-I,I 22I7		3с
РИОМ	III	I8 ^{II} 00/I8 ^{II} 2I	I8 ^{II} I3/I9 ^{II} 0I 73ч/I2ч I,4/4,I

Источник: неизвестен, возможно, вспышка за W- лимбом
 ◇ прохождение по диску области McM II827
 △ sc 20^{II}I050

/80,II4-II7,II9,I20/

29	1972 май 28	I6	I6	I20
IMP5	Пр>IO	I6	29 ^{II} 04/29 ^{II} 19	7с
-"-	Пр>30	I6	29 ^{II} 03	4с
-"-	Пр>60	I7	29 ^{II} 01	55ч
-"-	Пр 6-I9	I8	29 ^{II} 24	>8,5с
-"-	Пр I9-80	I7	29 ^{II} (20-21)	>8,5с
-"-	Эл 0,5-I,I	I452		0,1
РИОМ	ИИИ	20	30 ^{II} 07	6,5с
				96ч
				2

Источник: • вспышка I3I0 N09 E30 2B McM II895
 ▲ sc 30^{II}I42I

/II4,II8,I2I/

30	1972 июнь 08	I6	I6	OIO
IMP5	Пр>IO	23	60ч	9,9
-"-	Пр>30	20	35ч	I,3
-"-	Пр>60	I6	31ч	0,3
-"-	Пр 6-I9	<I8 (23-9 ^{II} 02)/9 ^{II} 07	>4,5с	2/3
-"-	Пр I9-80	<I8 23/9 ^{II} 07	>4,5с	0,09/0,05
РИОМ	ИИИ	I6 24	51ч	I

Источник: ■ область McM II895 ~2 суток за w - лимбом
 /II4,I2I/

3I	1972 июнь I6	02	02	I20
IMP5	Пр>IO	02	24/I7 ^{II} 18	4с
-"-	Пр>30	I2	24/I7 ^{II} 07	30ч
-"-	Пр 6-I9	06	I7 ^{II} 18	5с
-"-	Пр I9-80	06	23-I7 ^{II} 18	3с
-"-	Эл 0,5-I,I	0030	I7 ^{II} (I8-I9)	I8
ИРОИ	Пр I4-30	04	24/I7 ^{II} (9-I5)	3,5с
РИОМ	ИИИ	04	I7 ^{II} 15	0,13/0,16
				I,5

Источник: • вспышка I5^{II}095I s IO EII In McM II926
 • вспышка I5^{II}I249 s I4 00 IF McM II922
 □ активность за Е-лимбом
 △ sc I7^{II}0630, I3II

/II4,II8,I2I/

32	1972	июль	I9	06	OIO
IMP5	Пр>10		06	22	3с
-"-	Пр>30		09	22	3с
-"-	Пр 6-19		08	20 ^Д 04	>3с
-"-	Пр I9-80		08	22	>3с
-"-	Эл 0,5-I, I	0510		09	>2с
ПРОИ	Пр I4-30		08	>22	3с
РИОМ	ИИИ		I2	22	2,1с

Источник: область McM II957 4 суток за w - лимбом

/I14,I22,I25/

33	1972	июль	22	05	OIO
IMP5	Пр>10		05	I3-I5	I8ч
-"-	Пр>30		05	I5	I8ч
-"-	Пр>60		06	I6	I7ч
ПРОИ	Пр I4-30		05	I5	20ч
РИОМ	ИИИ		05	I5	24ч

Источник: область McM II957 7 суток за w - лимбом

вспышка 0552 S 09 W50 SN McM II958

/85,I22-I25/

34	1972	июль	23	00	OIO
IMP5	Пр>10		00	28 ^Д 21	>9с
-"-	Пр>30		00	25 ^Д 07	8с
-"-	Пр>60		00	24 ^Д 14	5с
РИОМ	ИИИ		I6	28 ^Д 19	5,5с

Источник: область McM II976 (II957) за E - лимбом

Δ SC 24^ДI956

/I22,I25,I26/

35	1972 август 02			IO	330
MET	Пр>5		4 ^Д 0422		796
-"-	Пр>15		4 ^Д 0422		247
-"-	Пр>25		4 ^Д 0422		13,3
-"-	Пр>40		4 ^Д 0422		4,3
IMP5	Пр>10	IO	3 ^Д I5/4 ^Д 05	> 46ч	4I,7/I070
-"-	Пр>30	I5	3 ^Д I5/4 ^Д 06	> 40ч	2,6/I8
-"-	Пр>60	24	/4 ^Д 06	>30ч	/0,7
-"-	Пр 6-I9	I3	4 ^Д 05		200
-"-	Пр I9-80	I2			
-"-	Эл 0,5-I,I	05I5			
ПРОИ	Пр I4-30	IO	3 ^Д (I7-2I)/>4 ^Д 05	46ч	I>I2,2
РИОМ	ППП	24/4 ^Д 02	3 ^Д I8/4 ^Д 05	Iс/ 7ч	2,3/9,4

Источник: • вспышка 03I6 NI4 E34 3^N McM II976
 • вспышка I839 NI4 E26 1B McM II976
 • вспышка I958 NI4 E28 2B McM II976
 △ sc 4^Д0II9, 0220
 /85, II4, II8, I2I, I25, I28-I3I, I37, I39/

36	1972 август 04			08	443
MET	Пр>5	<0838	I6I9	>76ч	1,6·10 ⁵
-"-	Пр>15	<0838	I527	>76ч	5,5·10 ⁴
-"-	Пр>25	<0838	I436	>76ч	10 ⁴
-"-	Пр>40	<0836	I344	>76ч	4,9·10 ³
-"-	Пр>90	<0836	I6I8	>76ч	8,5·10 ²
IMP5	Пр>10	09	I7/22/ /5 ^Д 05	>80ч	2,3·10 ⁴ /6,8·10 ⁴ / /8,3·10 ³
-"-	Пр>30	08	I7/22/ /5 ^Д 05	>80ч	1,6·10 ⁴ /2·10 ⁴ / /2,5·10 ³
-"-	Пр>60	08	I5/22/ /5 ^Д 05	>80ч	6,3·10 ³ /5,5·10 ³ / /4·10 ²
БАЛ	Пр>150	08	I5/5 ^Д 03	>3с	/23
-"-	Пр>200	08	I5/5 ^Д 03		63/6
-"-	Пр>300	08	I5/5 ^Д 03		8,8/0,8
-"-	Пр>400	I0	I5/5 ^Д 03		2,4/0,2
-"-	Пр>500	I0	I5/5 ^Д 03		0,8/
НМ	Пр>IГВ	I3I5ΔI5	I445/I6I5	8,5ч	9,8/9,3 Ап
РИОМ	ППП	<09	>I2/5 ^Д 04	>72ч/7ч	>20/20

Источник: • вспышка 06I7 NI4 E08 3B McM II976
 △ sc 2054, 5^Д2344
 /80,85, II4, I22, I25, I28-I3I, I37, I39, I44-I53, I56, I59-I64/

37	1972 август 07		I5	342
MET	Пр>5	8 ^{II} 0127/9 ^{II} 0021	>5,5с/3ч	3,I·10 ³ /10 ⁴
-"-	Пр>15	8 ^{II} 0127/9 ^{II} 0021	>5,5с/3ч	1,I·10 ³ /I,I·10 ³
-"-	Пр>25	8 ^{II} 0035	>5с	3,3·10 ²
-"-	Пр>40	8 ^{II} 0035	<4с	2·10 ²
-"-	Пр>90	I921	>1,3с	2·10 ¹
IMP5	Пр>10	I5	8 ^{II} 01/9 ^{II} 01	8с 8·10 ² /3,5·10 ³
-"-	Пр>30	I6	8 ^{II} 01	4с 3,8·10 ²
-"-	Пр>60	I6	21	60ч 7·10 ¹
БАЛ	Пр>140	<8 ^{II} 04	<8 ^{II} 08	36ч 2,9
-"-	Пр>200	<8 ^{II} 04	<8 ^{II} 08	0,9
-"-	Пр>300	<8 ^{II} 04	<8 ^{II} 08	0,3
НМ	Пр>ГВ	I530 Δ I5	I6I5	>8ч 8,5 MM
РИОМ	III	I6/8 ^{II} I4	8 ^{II} 07/9 ^{II} 00	4,2с/Ic 7,8/I7

Источник: • вспышка I449 NI4w37 3B McM II976
 • вспышка I200 NI3w34 IB McM II976
 ▲ sc 8^{II}I34I, 2354, 9^{II}0037

/85,86,II4,I22,I25,I28-I31,I37,I39,I44,I48,I50,I59,I74-I78,I81/

38	1972 август II		I5	000
MET	Пр>5	I522	I8-2I	84,3
-"-	Пр>15	I522	I8-19	6,5
-"-	Пр>25	I52I	I759	I,7
-"-	Пр>40	>I52I	I759	0,8
IMP5	Пр I0	нельзя определить	на фоне предыдущего события	
-"-	Пр 30	<I6	I8-20	30ч 0,6
РИОМ	III	>20	I2 ^{II} 00	I2ч >0,7

Источник: • вспышка I2I7 NI4w90 IB McM II976

/I25,I30,I39/

39	1972 август I6		04	0IO
IMP5	Пр>10	04	05/(20-22)	60ч I,6/4
-"-	Пр>30	04	05/20	50ч 0,I/I,I
-"-	Пр>60	I5	20	I2ч 0,25
-"-	Пр 6-I9	04	I0/I7 ^{II} 03	2с 0,3/0,5
-"-	Пр I9-80	03	(5-8)/(20-23)	2с 0,005/0,03
-"-	Эл 0,5-I,I	0205	(4-5)/(I8-20)	33ч 3/7
РИОМ	III	I3	I7 ^{II} 00	24ч I,2

Источник: □ область McM II976 ~ 5 суток за w - лимбом

/II4,I30,I36/

40	1972 октябрь 29		20	I20	
IMP5	Пр>IO	20	30 ^{II} 03/31 ^{II} (02-I2)	3с	I,6/>30
-"-	Пр>30	30 ^{II} II	31 ^{II} 02	30ч	I,3
-"-	Пр 6-I9	<2I	31 ^{II} (I3-I6)	>6с	30
-"-	Пр I9-80	20		3с	
-"-	Эл 0,5-I,I	2005		2с	
РИОМ	III	22	31 ^{II} I3	2,5с	2

Источник: ◦ вспышка I544 s IO E05 2N McM I2094
 ◦ вспышка 30^{II}0722 s IO w03 IB McM I2094
 ▲ sc 31^{II}I654

/II4,I85-I87/

41	1972 ноябрь 02		20	000	
IMP5	Пр>IO	20	23	8ч	2,7

Источник: ◇ прохождение по диску области McM I2094
 нет наблюдений в H_α - I544-2400

/I86/

42	1973 апрель I2		II	010	
IMP6	Пр>IO	II	I6/I3 ^{II} IO	50ч	5/4
-"-	Пр>30	II	I4	30ч	0,6
-"-	Пр>60				0,I
PRO3	Пр I4-30	<I2	I6-I7	50ч	0,I
РИОМ	III	I2	I6/I3 ^{II} I2	50ч	0,9/I

Источник: ◦ вспышка II^{II}I838 s 09wIO IB McM I2306
 ◻ область McM I2293 ~ 3 суток за ^w - лимбом
 всплеск II типа 0952 без H_α - вспышки
 ▲ sc I3^{II}0438

/II4/

43	1973 август 29			2I	III
IMP6	Ир>10	2I	30 ^{II} 03	10c	46,7
-"-	Ир>30	2I	30 ^{II} 02	6c	12,5
-"-	Ир>60	2I	24	2c	5,4
IPR03	Ир I4-30	22	30 ^{II} 04	6c	0,3
БАЛ	Ир>160		<30 ^{II} 08	24ч	0,3
-"-	Ир>200		<30 ^{II} 08		0,2
-"-	Ир>300		<30 ^{II} 08		0,1
НМ	Ир>ГВ	2I30△15	2215	4,5ч	3,5 Ап
РИОМ	ИШ	22	30 ^{II} 06	1,5c	I,2

Источник: • вспышка 2056 s I4 w73 2B McM I2322

/I9I-I96/

44	1973 июль 29			<16	000
MET	Ир>5	<16	30 ^{II} 22	>60ч	4,8
-"-	Ир>15	<16	30 ^{II} 22		I
IPR03	Ир I4-30	<18	30 ^{II} 14-31 ^{II} 19	4c	0,03

Источник: • вспышка I3I3 N I4 E45 3B McM I246I
 ▲ sc 31^{II}0546

/II4,I98,I99/

45	1973 сентябрь 07			I3	2I0
MET	Ир>5	I240	I333/9 ^{II} I042	97ч	I83/3I
-"-	Ир>15	I240	I333/9 ^{II} I042	68ч	43,9/0,66
-"-	Ир>25	I240	I333/9 ^{II} 095I	65ч	9,4/0,58
-"-	Ир>40	I240	I333	46ч	5,5
-"-	Ир>90	I240	I333	24ч	I,4
IPR03	Ир I4-30	I3	I5/9 ^{II} 06	3c	0,3/0,2
РИОМ	ИШ	I4/8 ^{II} 22	I6/9 ^{II} 05	98ч/24ч	I,2/I

Источник: • вспышка II4I s I8 w46 2B McM I2507
 ▲ sc 9^{II}0906

/II4,I96,I99,207-2I0,2I4/

46	1974 июль 03		15		II0
MET	Ip>5	<I444	232I/4 ^D 0337	>I3ч	210/264
-"-	Ip>15	<I444	232I/4 ^D 0337	>I3ч	I3/I3,5
-"-	Ip>25	<I444	232I/4 ^D 0337	>I3ч	2,2/2
-"-	Ip>40	<I444	232I	>I3ч	0,8
NOAA2,3	Ip>10		23		4
-"-	Ip>30		23		0,7
РИОМ	III	I8	22/4 ^D 03	I,5c	I,6/I,6

Сложное событие (см. №46 - №49)

Источник: высокая вспышечная активность в области
McM I3043

- вспышка 2^D0629 s I6 E23 IN McM I3043
- вспышка 0801 s I4 E08 2B McM I3043
- вспышка 0259 s I5 E09 IB McM I3043
- ▲ SC 4^DI434

/2I5/

47	1974 июль 05		<01		230
MET	Ip>5	<005I	0424/(I5-I7)	>27ч	269/3,8·10 ³
-"-	Ip>15	<005I	0424/(I5-I7)	>27ч	22/I93
-"-	Ip>25	<005I	0424/I526	>24ч	3,8/22
-"-	Ip>40	<005I	0424/(I5-I7)	>24ч	I,4/6
NOAA2,3	Ip>10	<I2	I6-24	>24ч	2,5·10 ²
-"-	Ip>30	<I2	I6-2I		I0
РИОМ	III	00/I3	06/2I	I2ч/≥60ч	I,3/5,2

Сложное событие (см. №46 - №49)

Источник: высокая вспышечная активность в области
McM I3043

- вспышка 4^DI338 s I6w08 2B McM I3043
- вспышка 4^D0648 s I4w05 IB McM I3043
- вспышка I508 s I5w23 IB McM I3043
- ▲ SC I930

/2I5,22I/

48	1974 июль 06	00		230
MET	Пр>5	0318	>3Iч	$2 \cdot 10^3$
-"-	Пр>15	0318		90
-"-	Пр>25	0318		II
-"-	Пр>40	0318		2,8
NOAA 2,3	Пр>10	<I2		>90
-"-	Пр>30	<I2		>8
РИОМ	III	00	03	>6ч
				5,3

Сложное событие (см. №46-№49)

Источник: высокая вспышечная активность в области McMI3043

- вспышка 5^ДI2123 s I5 w26 IB McMI3043
- вспышка 5^ДI508 s I5 w23 IB McMI3043
- ▲ SC 0322

/215/

49	1974 июль 07	07		100
MET	Пр>5	07	>I247	>547
-"-	Пр>15	07	>II07	>24,3
-"-	Пр>25	07	>II07	>4,I
-"-	Пр>40	07	>II07	>I,3
NOAA 2,3	Пр>10	<I2		>2
-"-	Пр>30	<I2		0,I
РИОМ	III	<I2	I6	I,2

Сложное событие (см. №46-№49)

Источник: высокая вспышечная активность в области McM I3043

- вспышка 6^ДI812 s I6w 39 IB McMI3043
- вспышка 0920 s I6w 47 IB McMI3043

/215/

50	1974 сентябрь 10	24		120
MET	Пр>5 2322	I3 ^Д I2139	>9c	562
-"	Пр>15 II ^Д 00II	I2 ^Д (I6-I8)/I3 ^Д 0329	6c	70,4/67,5
-"-	Пр>25 II ^Д 00II	I2 ^Д (I5-I6)/I3 ^Д 0329	5c	14,2/24
-"-	Пр>40 II ^Д 00II	II ^Д I025/I3 ^Д 0329	4,5c	I,8/2,
NOAA 2,3	Пр>10 <II ^Д II	I3 ^Д (< I-<I0)	>4c	>70
РИОМ	III	II ^Д 03/I5 ^Д I5	I3 ^Д 03/I5 ^Д I6	6,7c/5ч 2,8/0,7

Источник: • вспышка 2121 N IOE6I 2B McMI3225

▲ SC 15^ДI343

/II4,227,228,230/

51	1974 сентябрь 19		24	I20
МЕТ	Пр>5	20 ^Д I459	>2с	54I
-"-	Пр>15	20 ^Д I459	>2с	27
-"-	Пр>25	20 ^Д I459	>2с	3,6
-"-	Пр>40	20 ^Д I459	<44ч	I,2
NOAA 2,3	Пр>10	<24	<20 ^Д II	>35
-"-	Пр>30	>23	20 ^Д I4	2с
РИОМ	ППП	20 ^Д 01	20 ^Д 07	2,8с

Источник: • вспышка 2220 N 09 w62 2 N McMI3225
/221,228,230,232,233/

52	1974 сентябрь		23	IIO
МЕТ	Пр>5	I436	24 ^Д 2030	2Iс
-"-	Пр>15	I537	24 ^Д II7	II,5с
-"-	Пр>25	I803	24 ^Д III7	9с
-"-	Пр>40	I944	24 ^Д 2II7	8с
-"-	Пр>90	24 ^Д 0642		64ч
NOAA 2,3	Пр>10		24 ^Д 23	
-"-	Пр>30		24 ^Д 23	7
-"-	Пр>60	24 ^Д 02	24 ^Д 20	<4с
БАЛ	Пр>120	24 ^Д 08	24 ^Д I9	>2с
-"-	Пр>200	24 ^Д 08	24 ^Д I9	0,9
-"-	Пр>300	24 ^Д 08	24 ^Д I9	0,15
РИОМ	ППП	24 ^Д 07	25 ^Д 03	0,04

Источник: ■ вспышка <002I N I3 w90 IB McMI3225
□ вспышка <I200 N 07 w90 I N McMI3225
■ активная область McM I3225 с 22 сентября 1974г.,
за w-лимбом
всплеск II,IV типа 24^Д0403 без H_α-вспышки
/II4,227,228,230/

53	1974 ноябрь 05		<I7	I20
МЕТ	Пр>5		23	2с
-"-	Пр>15		23	>I,2с
-"-	Пр>25		23	>I,2с
-"-	Пр>40		23	>Iс
NOAA 2,3	Пр>30	<I7	22	Iс
РИОМ	ППП	I7	23	I,7с

Источник: • вспышка I529 S I2 w78 I N McMI3310 /2I0/

54	1975 август 03		I4	OI
IMP7,8	Пр 20-40	I5	20	$2,5 \cdot 10^{-3}$
-"-	Пр 40-80	I5	$4^{\text{д}} 02$	$2,5 \cdot 10^{-3}$
РИОМ	III	I4	I5	$<12\text{ч}$ 0,5

Источник: • вспышка 0322 N 06 E28 IB McM I3786

55	1975 август 21		I6	II0
MET	Пр>5	I658	>I658	$>7,5 \cdot 10^1$
-"-	Пр>15	I658	>I658	$>7,9 \cdot 10^0$
-"-	Пр>25	I658	>I658	>I
-"-	Пр>40	I658	>I658	$>6 \cdot 10^{-1}$
IMP7,8	Пр13,7-25,2	I6	20	$1,6 \cdot 10^{-1}$
-"-	Пр 20-40	I6	I9	$6 \cdot 10^{-2}$
-"-	Пр 40-80	I6	I8	$1,5 \cdot 10^{-2}$
РИОМ	III	I6	20	$<10\text{ч}$ 0,5

Источник: • вспышка I509 N 26 W 74 IB McM I38II

/235/

56	1975 август 22		OI	II0
MET	Пр>5	0043	0359	$3,6 \cdot 10^1$
-"-	Пр>15	0043	0449	5,7
-"-	Пр>25	0043	0449	I,3
-"-	Пр>40	0043	0449	$7 \cdot 10^{-1}$
-"-	Пр>90	0043	0307	$1 \cdot 10^{-1}$
IMP7,8	Пр13,7-25,2	OI	06	$3 \cdot 10^{-1}$
-"-	Пр 20-40	OI	05	$1,2 \cdot 10^{-1}$
-"-	Пр 40-80	OI	04	$2,4 \cdot 10^{-2}$
РИОМ	III	02	05	$<1\text{с}$ 0,6

Источник: • вспышка < OI08 N 27 W 81 IB McM I38II

57	1976 март 23		I4	000
MET	Пр>5	I215	$26^{\text{д}} 1344$	3
-"-	Пр>15	I357	$26^{\text{д}} 1344$	I
IMP7,8	Пр13,7-25,2	I4	$26^{\text{д}} 10$	$2 \cdot 10^{-2}$
-"-	Пр 20-40	I4	$26^{\text{д}} 10$	$8 \cdot 10^{-3}$
-"-	Пр 40-80	I4	$26^{\text{д}} 10$	$2,4 \cdot 10^{-3}$
-"-	Эл I-5	I0	$24^{\text{д}} 19 / 26^{\text{д}} 18 / 28^{\text{д}} 23$	$>8\text{с}$ $0,04 / 0,1 / 0,15$

Источник: ■ вспышка 0837 s 05E90 SB McMI4I43
 ■ вспышка 0907 s 07E90 SN McMI4I43
 ◦ вспышка 25^ДI154 s 06E75 SN McMI4I43
 ◦ вспышка 25^ДI305 s 05E69 1N McMI4I43
 ▲ SC 26^Д0233

/235,240/

58	1976 март 28	20	000
IMP7,8	Пр13,7-25,2	20	>3,5с 2·10 ⁻²
-"-	Пр20-40	21	>3,5с 6·10 ⁻³
-"-	Пр20-40	21	>3,5с 10 ⁻³
MET	Пр>5	<2019	>3с 6,7

Источник: ● вспышка <1905 s 07E28 1B McMI4I43
 /240-242,244/

59	1976 апрель 30	21	232
MET	Пр>5	2I33	23I6 485
-"-	Пр>15	2I33	I ^Д 0I03 108
-"-	Пр>25	2I33	I ^Д 0008 30,2
-"-	Пр>40	2I33	23I6 22
-"-	Пр>90	2I33	23I6 13,5
IMP7,8	Пр13,7-25,2	2I	I ^Д 0I 6
-"-	Пр20-40	2I	I ^Д 0I 2,2
-"-	Пр40-80	2I	24 0,5
БАЛ	Пр>100		<I ^Д 08 0,5
-"-	Пр>200		<I ^Д 08 0,085
НМ	Пр>IIВ	2I25 ± 5	2I40 <2ч И2 ИН
IMP7,8	Эл I-5	2I	22 6,5с 32
РИОМ	ППШ	23	24/I ^Д 03 2,3с 5/2,7

Источник: ● вспышка 2047 s 08 w46 1B McMI4I79
 ▲ SC 2^Д1829

/240,244,245/

60	1976 август 22	<12	110
IMP7,8	Пр13,7-25,2	<12 I7 2,5с 0,7	
-"-	Пр20-40	<12 I7 2с >0,2	
-"-	Пр40-80	<12 I7 2с >0,04	
-"-	Эл I-5	<14 I6 4,5с 25	
РИОМ	ППШ	I4 2I I,8с 0,9	

Источник: ■ вспышка <12I7 s 02w90 SN McMI4366

61	1977 сентябрь 08	04	04	04	04
IMP7,8	Пр13,7-25,2	04	9 ^h 22	>4с	1,3·10 ⁻¹
-"-	Пр 20-40	04	9 ^h 21	>4с	3·10 ⁻²
-"-	Пр 40-80	04	20	>4с	2·10 ⁻³
-"-	Эл I-5	00	10 ^h (04-06)	>9с	0,2
РИОМ	ИИИ	9 ^h 12	10 ^h 21	>3с	0,7

Источник: ■ вспышка 7^h2255 N 10E90 I N McMI4943

/247,248/

62	1977 сентябрь 12	<10	<10	000	000
IMP7,8	Пр13,7-25,2	<10	13 ^h 09	>4,5с	9·10 ⁻²
-"-	Пр 20-40	<10	13 ^h 09	>4,5с	1,5·10 ⁻²
-"-	Пр 40-80	<10	13 ^h 09	>4,5с	7·10 ⁻⁴
РИОМ	ИИИ	I4	13 ^h 14	>3с	0,5

Источник: • вспышка 9^h1630 N 09E34 I N McMI4943

/247,248,252,253/

63	1977 сентябрь 16	24	24	120	120
MET	Пр>15	<17 ^h 01	17 ^h 02	>56ч	64
-"-	Пр>25	<17 ^h 01	17 ^h 02	>56ч	18,4
-"-	Пр>40	<17 ^h 01	17 ^h 02	20ч	II
IMP7,8	Пр13,7-25,2	24	17 ^h 02	>2,5с	2
-"-	Пр 20-40	24	17 ^h 01	>2,5с	0,5
-"-	Пр 40-80	24	17 ^h 01	>2,5с	0,1
-"-	Эл I-5	<24	17 ^h 03	>2,5с	I,9
РИОМ	ИИИ	23	17 ^h 02	I,5с	I,5

Источник: • вспышка 2123 N 07w20 2 N McMI4943

▲ sc 19^hII43

/247,248,252,253/

64	1977 сентябрь 19	II	II	230
MET	Пр>5	II	<20 ^h 05	>64ч
-"-	Пр>15	II	2I-I4	64ч
-"-	Пр>25	II	(2I-24)/20 ^h 05	>40ч
-"-	Пр>40	II	(22-23)/20 ^h 05	40ч
-"-	Пр>90	II	22-23	35ч
БАЛ	Пр>140	II	16/20 ^h 03	36ч
-"-	Пр>200	II	16/20 ^h 03	0,9/0,6
-"-	Пр>300	II	16/20 ^h 03	0,3/0,I

HM	Пр>ГВ	IO △ I	<I400	>9ч	<2 MM
IMP7,8	ПрI3,7-25,2	I2	24	>4,5с	I5
-"-	Пр 20-40	I2	24	>4,5с	3,5
-"-	Пр 40-80	I2	24	>4,5с	0,5
-"-	Эл I-5	<II	I7	>5с	22
РИОМ	III	I2	23	2,5с	5,5

Источник: • волышка <0955 N 08w57 3B McMI4943
 • волышка 20^{II}025I N 10w58 2 N McMI4943
 ▲ sc II43, 2I^{II}2044

/246-248,252-255,257/

65	1977 сентябрь 24			06	I22
MET	Пр>5	<I2	I7	>3,5с	I60
-"-	Пр>15	<I2	I6	>3,5с	I20
-"-	Пр>25	<I2	<I5	3,4с	>I7
-"-	Пр>40	<I2	<I5	3с	>I3
-"-	Пр>90	<I2	<I5	>3,5с	>2,9
IMP6	Пр>10	>0630	I8	>4с	90
-"-	Пр>30	>0630	I2	>4с	20
-"-	Пр>72	06-0620	0930	40ч	5
-"-	Пр>100	06I7	0920	24ч	2,5
-"-	Пр>150	06-0620	0840	24ч	I,25
-"-	Пр>500	06-0620	0800	I8ч	0,2
БАЛ	Пр>150	06	II/22	>36ч	4,2/I,6
-"-	Пр>200	06	II/22		2,I/0,8
-"-	Пр>300	06	II/22		I/0,4
-"-	Пр>400	06	II/22		0,5/
HM	Пр>ГВ	06I5 △ I5	0730-0845	>25ч	8 Ап
IMP7,8	ПрI3,7-25,2	06	I8	>7с	2
-"-	Пр 20-40	06	07	7с	0,9
-"-	Пр 40-80	06	07	7с	0,3
-"-	Эл I-5	07	I0	IIc	20
РИОМ	III	07	2I	3,8с	2,4

Источник: ■ область McMI4943 ~ 2 суток за w-лимбом
 всплески II, IV типа 0552 без H_α -вспышки
 ▲ sc 26^{II}0732

/246-248,252,253,255,257-263/

66	1977	октябрь	I2	03	010
ИП06	Пр>I0		0250-03I0	09	>4с
-"-	Пр>30		0230-0300	0730	>I8ч
-"-	Пр>72		0230-0300	0530	>I8ч
IMP7,8	ПрI3,7-25,2		03	09	>2,5с
-"-	Пр 20-40		03	09	3с
-"-	Пр 40-80		03	09	3с
-"-	Эл I-5		02	05	2,5с
РИОМ	ИПИИ		04	I2	2с
					0,5

Источник: • вспышка 0150 N 06w 02 IB McMI4979

▲ sc I4^{II}I5I

/248,252,260,263-266/

67	1977	ноябрь	22	T0	233
МЕТ	Пр>I5		<I340	I340	4с
-"-	Пр>25		<I340	I340	3,6с
-"-	Пр>40		<I340	I340	2,5с
-"-	Пр>90		<I340	I340	I,2с
ИП06	Пр>I0		>I030	I730	80ч
-"-	Пр>30		I020-I030	I300	66ч
-"-	Пр>72		I020-I040	I200	54ч
-"-	Пр>I00		I020-I030	II50	>42ч
-"-	Пр>I50		I020-I040	II30	>40ч
БАЛ	Пр>I50		<I7	>24ч	3,8
-"-	Пр>200		<I7		I,6
-"-	Пр>300		<I7		0,4
HM	Пр>IГВ		I0I5 △ I5	II00	7ч
IMP7,8	ПрI3,7-25,2		II	I5	>8с
-"-	Пр 20-40		II	I4	7с
-"-	Пр 40-80		II	I2	6с
-"-	Эл I-5		IO	I2	>IIс
РИОМ	ИПИИ		II	I4	3,5с
					4,8

Источник: • вспышка 0945 N 24w 40 2B McMI503I

▲ sc 25^{II}I227; 26^{II}I704

/246,252,257,26I-263,267-278/

68	1977	декабрь	27	II	000
MET	Пр>5	<I3	I3	>I,5c	4,3
IMP06	Пр>10	>I2	I630	>50ч	I,25
-"-	Пр>30	II30 -I200	I5	>38ч	0,II
IMP7,8	ПрI3,7-25,2	II	I4	>2c	$3,2 \cdot 10^{-2}$
-"-	Пр 20-40	II	I4	2c	10^{-2}
-"-	Пр 40-80	II	I4	I,5c	10^{-3}
-"-	Эл I-5	<I0	I2	2c	$9 \cdot 10^{-2}$

Источник: • вспышка I045 s 25 w79 IN McMI5074

/263,264,268/

69	1978	январь	02	00	000
IMP06	Пр>10	0030-0130	3Д00	62ч	$1,9 \cdot 10^0$
-"-	Пр>30	00-01	I9	62ч	$6 \cdot 10^{-1}$
-"-	Пр>100	00-01	08	40ч	$1,25 \cdot 10^{-1}$
IMP7,8	ПрI3,7-25,2	00	<22	5c	$>9 \cdot 10^{-2}$
-"-	Пр 20-40	00	2I	5c	$4 \cdot 10^{-2}$
-"-	Пр 40-80	00	<22	5,5c	$>10^{-2}$
-"-	Эл I-5	00	<09	>5c	$>6 \cdot 10^{-1}$

Источник: • вспышка I^Л2I45 s 2IE06 2 N McMI508I

◦ вспышка I^Л2I47 s 19E28 SN McMI5083

▲ sc 3^Л2042

/263,264,281/

70	1978	январь	08	II	000
IMP06	Пр>7,6	I2-I3	20	>28ч	$2,7 \cdot 10^0$
-"-	Пр>12	II-II2	I8	>28ч	$9 \cdot 10^{-1}$
-"-	Пр>28	II-II2	I7	24ч	$4 \cdot 10^{-2}$
IMP7,8	ПрI3,7-25,2	IO	I6	>I,5c	$4 \cdot 10^{-2}$
-"-	Пр 20-40	IO	I6	>Ic	$8 \cdot 10^{-3}$
-"-	Пр 40-80	IO	I5	Ic	$5 \cdot 10^{-4}$
-"-	Эл I-5	IO	I5	>2,5c	$5 \cdot 10^{-1}$

Источник: высокая вспышечная активность области McM I508I

• вспышка 0710 s 12w85 2B McMI508I

◦ вспышка 0205 s 20w79 2N McMI508I

▲ sc 9^ЛI625

/263/

71	1978 февраль 13		04	330	
MET	Пр>5	<0646	I4 ^{II} 058	>8,5c	$2,9 \cdot 10^3$
-"-	Пр>15	<0646	I4 ^{II} 0409	>3c	$3,1 \cdot 10^2$
-"-	Пр>25	<0646	>I758	>2,5c	$>3,9 \cdot 10^1$
-"-	Пр>40	<0646	>I758	>2,5c	$>1,7 \cdot 10^1$
-"-	Пр>90	<0646	>I758	>2c	$>2,4 \cdot 10^{-1}$
IMP7,8	ПрI3,7-25,2	04	24	>10c	$5,7 \cdot 10^1$
-"-	Пр 20-40	04	23	10c	$9 \cdot 10^0$
-"-	Пр 40-80	04	I7	>5c	$5,3 \cdot 10^{-1}$
-"-	Эл I-5	04	22		$7 \cdot 10^0$
РИОМ	III	08	I4 ^{II} 08	3,7c	II,8

Источник: • вспышка OII5 N I5w20 2N McMI5I39
 ▲ sc I4^{II}2147

/253,283,284/

72	1978 февраль 25		I5	000	
IMP7,8	ПрI3,7-25,2	I5	I9	>2c	$4,2 \cdot 10^{-2}$
-"-	Пр 20-40	I5	I8	>1,5c	$9 \cdot 10^{-3}$
-"-	Пр 40-80	I5	I7	1c	$1,2 \cdot 10^{-3}$
-"-	Эл I-5	I3	I5	3c	$2,7 \cdot 10^{-1}$

Источник: • вспышка I449 N I9w2I 1B McMI5I6I
 ▲ sc I928

/284/

73	1978 апрель 08		02	000	
MET	Пр>5	0249	06I6	70ч	$6,7 \cdot 10^0$
-"-	Пр>15	0248	06I6	46ч	$1,1 \cdot 10^{-1}$
IMP7,8	ПрI3,7-25,2	02	06	>3,5c	$8 \cdot 10^{-2}$
-"-	Пр 20-40	02	06	>3,5c	$1,2 \cdot 10^{-2}$
-"-	Пр 40-80	02	06	>3,5c	$1,2 \cdot 10^{-3}$
-"-	Эл I-5	02	06	3c	$2,2 \cdot 10^{-1}$

Источник: • вспышка OI09 N I9wII 2B McMI522I
 ▲ sc I0^{II}I306

74	1978 апрель II		I5	I20
MET	Пр>5	2030/I2 ^{II} 0044	>3,5c	I40/I0I
-"-	Пр>15	2030	>1,6c	30
-"-	Пр>25	2030	>1,3c	7,I
-"-	Пр>40	2030	>1c	4,2

MET	Пр>90	<I94I	>Ic	>I, 3
IMP7,8	ПрI3,7-25,2	<I5	I8/24	>5c 3/2,5
-"-	Пр 20-40	<I5	I8/20	>5c 0,6/0,8
-"-	Пр 40-80	<I5	I8/20	>5c 0,2/0,I4
-"-	Эл I-5	<I5	I5	3,5c 3
РИОМ	ППП	I5	I6/22	3c 3,8/2,4

Источник: • вспышка I334 N 22 w 56 2B McMI522I /9/

/285,286/

75	1978 апрель I6	23	OIO
MET	Пр>5	I7 ^D I3I6	>42ч 2,9·10 ¹
-"-	Пр>I5	I7 ^D I404	>30ч 5,7·10 ⁰
-"-	Пр>25	I7 ^D I3I5	>30ч 1,2·10 ⁰
-"-	Пр>40	I7 ^D I220	>28ч 7,2·10 ⁻¹
IMP7,8	ПрI3,7-25,2	23	I7 ^D I3 >2,5c 1,2·10 ⁻¹
-"-	Пр 20-40	24	I7 ^D I5 >2,5c 9,0·10 ⁻²
-"-	Пр 40-80	24	I7 ^D I5 >2,5c 2,5·10 ⁻²
РИОМ	ППП	I7 ^D 09	I7 ^D I3 2Iч 0,6

Источник: □ область McMI522I 2 суток за w -лимбом

○ вспышка 09I9 N I4w22 sB McMI5235

△ sc I7^D2345

76	1978 апрель I9	I0	I(I)O
MET	Пр>5	0845 >I859/20 ^D (7-II)	>2c >I,3·10 ⁻¹ /5,8·10 ¹
-"-	Пр>I5	I029 >I859/20 ^D (7-II)	>2c >2,4/9,9
-"-	Пр>25	I353 >I859/20 ^D (8-II)	>2c 4·10 ⁻¹ /2,8
-"-	Пр>40	I353 20 ^D (8-I0)	>Ic 1,6
-"-	Пр>90	I353 20 ^D (8-I0)	<Ic 4·10 ⁻¹
IMP7,8	ПрI3,7-25,2	<I7 2I/>20 ^D 07	>2c 10 ⁻¹ />4·10 ⁻¹
-"-	Пр 20-40	<I7 2I/20 ^D 07	>2c 4,5·10 ⁻² /1,4·10 ⁻¹
-"-	Пр 40-80	<I7 2I/20 ^D 07	>2c 10 ⁻² /3,5·10 ⁻²
РИОМ	ППП		>0,7

Источник: □ активность за w -лимбом

всплеск II типа 0542 без H_a -вспышки

○ вспышка I453 N I7 w46 sN McMI5235

	77	1978 апрель 21	00	IIO
MET	Пр>5	<0415	25 ^{II} 0354/25 ^{II} 1645	>7,5с 84,8/87,4
"-	Пр>15	<0415	24 ^{II} 1238	>7,5с 5,9
"-	Пр>25	<0415	24 ^{II} 1238	7с 1,7
IMP7,8	ПрI3,7-25,2	00	24 ^{II} 09/25 ^{II} 01	>7с 3,5·10 ⁻¹ /2
"-	Пр 20-40	00	25 ^{II} 16	>7с 8·10 ⁻²
"-	Пр 40-80	00	22 ^{II} 24	>7с 1,7·10 ⁻²
"-	Эл I-5	<22 ^{II} 08	24 ^{II} 20-25 ^{II} 20	>5с 2,3
РИОМ	III	03	25 ^{II} 10	>7с 0,9

Источник: область McMI 15266 за Е-лимбом
всплеск II типа 0729 без Н_α-вспышки

	78	1978 апрель 28	I6	230
MET	Пр>5	<I63I	30 ^{II} 22I4/ /I ^{II} 2II4	>9с/ /1,4·10 ³
"-	Пр>15	<I63I	29 ^{II} 1854/ /30 ^{II} 22II/	>6,5с/ /3,3·10 ²
"-	Пр>25	<I63I	29 ^{II} 1854/ /30 ^{II} 22II/	>4,5с /8,6·10 ¹
"-	Пр>40	<I63I	29 ^{II} 1854/ /30 ^{II} 22II	>4,5с /1,3·10 ¹
"-	Пр>90	<I63I	29 ^{II} (5-7)/ /30 ^{II} 22II	>4с 2,3/
IMP7,8	ПрI3,7-25,2	I6	<30 ^{II} 24	>5,5с >6·10 ¹
"-	Пр 20-40	I6	29 ^{II} I7/ /30 ^{II} (I7-24)	>5,5с 2,7/
"-	Пр 40-80	I6	29 ^{II} I6 -I ^{II} 04	>5,5с 2,5·10 ⁻¹
БАЛ	Пр>100	<29 ^{II} 07	29 ^{II} (08-12)	>2,5с 1,3
"-	Пр>200	<29 ^{II} 07	29 ^{II} (08-12)	>2,5с 0,4
РИОМ	III	I9	29 ^{II} 22/30 ^{II} 23	5с 4,8/I4,2

(см. предыдущее явление)

Источник: • вспышка I304 N 22E38 3B McMI 15266
 • вспышка 29^{II} < 2010 N 20E14 2B McMI 15266 /9/
 • вспышка 30^{II}I420 N 28E14 3B McMI 15266 /9/
 • вспышка I^{II} < I9I0 N 2IwI2 2B McMI 15266 /9/
 ▲ sc 30^{II}095I; I^{II}0828, I835; 2^{II}23I8

/290/

79	1978 май 07	04	234
МЕТ	Пр>5	<0436	0529
-"-	Пр>15	<0436	0529
-"-	Пр>25	<0436	0529
-"-	Пр>40	<0436	0529
-"-	Пр>90	<0436	<0436
БАЛ	Пр>150		<06
-"-	Пр>200		<06
-"-	Пр>300		<06
HM	Пр>ГГВ	0335 ± 5	0345
IMP7,8	ПрI3,7-25,2	04	05
-"-	Пр 20-40	04	05-08
-"-	Пр 40-80	04	05
-"-	Эл I-5	04	06
РИОМ	ППП	04	05
			2с
			5

Источник: • вспышка 0327 N 23w 72 IN McMI5266

▲ sc 2155

/257,278,285,286,292-299/

80	1978 май II	07	000
IMP7,8	ПрI3,7-25,2	07	09
-"-	Пр 20-40	07	09
-"-	Пр 40-80	07	09
-"-	Эл I-5	07	<12
			2с
			>2,5·10 ⁻¹

Источник: □ область McMI 15266 2 суток за w -лимбом
всплески II,IU типа 07IO без H_α -вспышки

81	1978 май 3I	<12	II0
МЕТ	Пр>5	<1 ^Д 0037	1 ^Д I005/2 ^Д 0909
-"-	Пр>15	<1 ^Д 0037	1 ^Д 0222/2 ^Д 0909
IMP7,8	ПрI3,7-25,2	<12	15/>2 ^Д 09
-"-	Пр 20-40	<12	15/>2 ^Д 09
-"-	Пр 40-80	<12	15
-"-	Эл I-5	<II	<15/1 ^Д 09
РИОМ	ППП	I2/2 ^Д 04	I ^Д 04/2 ^Д 09
			2,2с
			I/I,9

Источник: • вспышка I006 N 20w 43 3B McMI53I4

▲ sc 1^Д2143; 2^Д0913

82	1978 июнь 22		<2I		I20
MET	Пр>5	1823	24 ^Д I535/25 ^Д 0344	7с	1,5·10 ⁻² /2,4·10 ⁻²
"-	Пр>15	23 ^Д 0027	24 ^Д I535/25 ^Д 0344	2,5с	3,I/2,0
"-	Пр>25	23 ^Д 0027	24 ^Д I535	2с	7·10 ⁻²
IMP7,8	ПрI3,7-25,2	<2I	24 ^Д I5	>3,5с	I,4
"-	Эл I-5	<20	23 ^Д I6/ /24 ^Д I6/25 ^Д IO	>6с	3,5·10 ⁻¹ / /7·10 ⁻¹ /6,5·10 ⁻¹
РИОМ	III	23 ^Д 07	24 ^Д I6/25 ^Д 04	3с	I,8/I,8

Источник: ◦ вспышка I643 N I8E16 2B McMI5368
 ◇ прохождение по диску области McM I5368
 △ sc 25^Д0825

83	1978 июль II		I2		I20
MET	Пр>5	<10 ^Д I738	13 ^Д I027	8,5с	1,8·10 ⁻²
"-	Пр>15	I22I	13 ^Д 0759	6с	2
"-	Пр>25	II35	13 ^Д 0705	3с	10 ⁻¹
IMP7,8	ПрI3,7-25,2	I2	13 ^Д 05/ /14 ^Д 20	>8с	4,3·10 ⁻¹ / /2,3·10 ⁻¹
"-	Пр 20-40	I2	13 ^Д 05	>7с	4,3·10 ⁻²
"-	Пр 40-80	I2	13 ^Д (05-16)	>6с	5·10 ⁻³
"-	Эл I-5	<10 ^Д 2I	13 ^Д (00-09)	>6с	7·10 ⁻¹
РИОМ	III	12 ^Д I2/14 ^Д I8	13 ^Д II/I5 ^Д 00	2,7с	I,6/I,6

Источник: высокая вспышечная активность области
 McM I5403 с 9^ДI8 по II^Д22
 • вспышка 10^Д0555 N I8E6I 3B McMI5403
 ◦ вспышка 103I N I8E45 2B McMI5403
 ▲ sc 13^Д0015, 2328; I8^Д0418

84	1978 сентябрь 08		03		OIO
MET	Пр>5	0253	06I4	>2с	I,I·10 ⁻¹
"-	Пр>15	0253	06I4	I2ч	9,6·10 ⁻¹
IMP7,8	ПрI3,7-25,2	03	07	>2,5с	I,2·10 ⁻¹
"-	Пр 20-40	03	07	>2,5с	3,6·10 ⁻²
"-	Пр 40-80	03	07	>2с	3·10 ⁻³
"-	Эл I-5	03	06		I,4·10 ⁻¹
РИОМ	III	05	06	Iс	7·10 ⁻¹

Источник: • вспышка 7^Д2330 S 28W17 IN McMI55I8
 ▲ sc 9^Д0254 /27/

85	1978 сентябрь 23		II		332
МЕТ	Пр>5	<I336	24 ^Д I652	>7с	$3,2 \cdot 10^3$
-"-	Пр>15	<I336	24 ^Д (02-18)	>4с	$7,5 \cdot 10^2$
-"-	Пр>25	<I336	24 ^Д (02-18)	>3с	$1,5 \cdot 10^2$
-"-	Пр>40	<I336	24 ^Д (02-16)	>2с	$5,8 \cdot 10^1$
-"-	Пр>90	<I336	I427	1,5с	$4 \cdot 10^1$
ВЕНЕРАI2	Пр>25		IO	>6с	$4 \cdot 10^2$
-"-	Пр>60		09	>5с	$5 \cdot 10^1$
-"-	Пр>130		07	>5с	$>2 \cdot 10^0$
БАЛ	Пр>100		I230	>24ч	$1,3 \cdot 10^1$
-"-	Пр>200		I230		$3,1 \cdot 10^0$
-"-	Пр>300		I230		$1,5 \cdot 10^0$
-"-	Пр>400		I230		$8 \cdot 10^{-1}$
-"-	Пр>500		I230		$5 \cdot 10^{-1}$
HM	Пр>ГГВ	I035 ± 5	III5	≥5ч	9 Ап
IMP7,8	ПрI3,7-25,2	II	24 ^Д I7	>8с	10^2
-"-	Пр 20-40	II	24 ^Д (04-19)	>8с	10^1
-"-	Пр 40-80	II	I2/24 ^Д I9	>7с	$1/6 \cdot 10^{-1}$
-"-	Эл I-5	IO	I5/24 ^Д (09-18)	>6с	$2 \cdot 10^1 / 1,2 \cdot 10^1$
РИОМ	ППШ	II	24	5с	14,2

(AMC "Венера-I2" находится на линии Земля - Солнце)

Источник: • вспышка 0944 N 35w50 3B McMI5543
 ▲ sc 25^Д0718

/27,263,285,286,314-317/

86	1978 октябрь 08		22		000
МЕТ	Пр>5	2225	9 ^Д (02-04)	>1с	$7,1 \cdot 10^0$
-"-	Пр>15	2225	9 ^Д 0149	>1с	$8,4 \cdot 10^{-1}$
ВЕНЕРАII	Пр>25	2I30-2I40	9 ^Д 00	~13ч	$8 \cdot 10^{-1}$
-"-	Пр>60	2I20-2I30	2330	~9ч	$3 \cdot 10^{-1}$
-"-	Пр>140	2I20-2I30	23	~4ч	$1,2 \cdot 10^{-2}$
IMP7,8	ПрI3,7-25,2	22	9 ^Д 01	>1с	10^{-1}
-"-	Пр 20-40	22	9 ^Д 01	>1с	$2 \cdot 10^{-2}$
-"-	Пр 40-80	22	9 ^Д 01	>1с	$3 \cdot 10^{-3}$

(AMC "Венера-II" находится на линии Земля - Солнце)

Источник: ○ вспышка 2007 S I3w44 sB McMI5570
 ▲ sc 9^Д0322

/27,263/

87	1978 октябрь 09		2I	100	
ВЕНЕРА-II	Пр>25	2040-2I00	23	~ 24ч	$1,6 \cdot 10^0$
-"-	Пр>60	2040-2I00	23	~ 15ч	$5,8 \cdot 10^{-1}$
-"-	Пр>140	2040-2I00	22	~ 6ч	$9 \cdot 10^{-2}$
IMP7,8	ПрI3,7-25,2	2I	$10^{D}02$	3с	$8 \cdot 10^{-1}$
-"-	Пр 20-40	2I	$10^{D}02$	> Ic	$2,3 \cdot 10^{-1}$
-"-	Пр 40-80	2I	$10^{D}02$	> Ic	$3 \cdot 10^{-2}$
-"-	Эл I-5	< 20	24		10^{-1}
(AMC "Венера-II" находится на линии Земля - Солнце)					

Источник: • вспышка I95I S I4w 6I IB McMI5570

/27,263/

88	1978 октябрь 17		I6	000	
MET	Пр>5	I633	I904/2I36	Ic	$10^1 / 7,1$
-"-	Пр>15	I633	I904/2I36	5ч	$1,2 / 1,2 \cdot 10^{-1}$
IMP7,8	ПрI3,7-25,2	< I8 ^D 0I	< I8 ^D 0I	> 2с	$> 4,7 \cdot 10^{-2}$
				(пик 7ч)	
-"-	Пр 20-40	< I8 ^D 0I	< I8 ^D 0I	3с	$> 4,5 \cdot 10^{-3}$
-"-	Пр 40-80	< I8 ^D 0I	< I8 ^D 0I	2с	$> 1,2 \cdot 10^{-3}$

Источник: ○ вспышка I6^D2I42 N 32E47 IB McMI5598

○ вспышка 0000 S I9w 55 SB McMI5587

/27/

89	1978 ноябрь 10		0I	0IO	
MET	Пр>5	022I	II ^D 0I24/II ^D I827	> 3с	$1,1 \cdot 10^2 / 1,1 \cdot 10^2$
-"-	Пр>15	0I28	2340/II ^D I557	> 2с	$3,2 \cdot 10^{-1} / 1,4 \cdot 10^{-1}$
IMP8	ПрI3,7-25,2	0I	24	> 3с	$3 \cdot 10^{-1}$
-"-	Пр 20-40	0I	24/II ^D I7	> 3с	$4,7 \cdot 10^{-2} / 3 \cdot 10^{-2}$
-"-	Пр 40-80	0I	22/II ^D I7	> 2,5с	$1,6 \cdot 10^{-3} / 8 \cdot 10^{-4}$
-"-	Эл I-5	0I/II ^D I2	09/II ^D 20	> 1,5с	$1,5 \cdot 10^{-1} / 4,5 \cdot 10^{-1}$
РИОМ	III	0I	II ^D 20	2,5с	$1,2 /$

Источник: ○ вспышка C048 N I7E0I 2N McMI5643

◊ прохождение по диску областей MCM I564I, I5643

△ sc I2^D0I00

/27,316/

90	1978 декабрь II	< 23	000
IMP8	ПрI3, 7-25, 2	< 23 02/I3 ^Д 05/ /I4 ^Д 18	$5,5 \cdot 10^{-2}$ / $2,2 \cdot 10^{-2}$ / $3 \cdot 10^{-3}$ / $3,3 \cdot 10^{-3}$ /
-"-	Пр 20-40	< I2 ^Д II/I3 ^Д 05/ /I4 ^Д 18	$2,2 \cdot 10^{-2}$ / $4 \cdot 10^{-3}$
-"-	Пр 40-80	< I2 ^Д II/I2 ^Д 22/ /I4 ^Д 18	$2,7 \cdot 10^{-4}$ / $2,4 \cdot 10^{-4}$ / $3 \cdot 10^{-4}$

Источник: ♦ прохождение по диску областей McM I5694, I5697
 ○ вспышка [I833 ≈ I6w 50 2B McM I5694
 [I923 ≈ I5 EI4 IB McM I5697
 ○ вспышка [I2^ДI503 ≈ I8 w6I IB McM I5694
 [I2^ДI503 ≈ 22 w14 SN McM I5696

91	1979 февраль I6	< 20	110
MET	Пр>5	I7 ^Д 06II/ /I7 ^Д I958	10^1 / $7,6 \cdot 10^1$
-"-	Пр>15	I7 ^Д I958	10^0 / $3,0 \cdot 10^1$
-"-	Пр>25	I7 ^Д I958	10^0 / $7,5 \cdot 10^0$
-"-	Пр>40	I7 ^Д I958	10^0 / $4,0 \cdot 10^0$
-"-	Пр>90	I7 ^Д I958	10^0 / $1,8 \cdot 10^0$
IMP8	ПрI3, 7-25, 2	< 20/ /I7 ^Д 20	10^{-1} / $1,8 \cdot 10^0$
-"-	Пр 20-40	< 20/ /I7 ^Д 20	$2,3 \cdot 10^{-2}$ / $5,0 \cdot 10^{-1}$
-"-	Пр 40-80	< 20/ /I7 ^Д 20	$7,0 \cdot 10^{-3}$ / $1,3 \cdot 10^{-1}$
-"-	Эл I-5	< 23 > I8 ^Д 20/ /I7 ^Д 20	$> 6,0 \cdot 10^{-1}$ / $1,5 \cdot 10^0$
РИОМ	III	I8 ^Д 08/ /I7 ^Д 18	$3,5c$ / $0,6$ $/I2\chi$ / $0,6$

Источник: • вспышка 0I44 N I6E59 3B McM I5830
 ○ вспышка I8^Д0637 N I8EI6 IB McM I5830
 ▲ sc I8^Д0304; 2I^Д0302, I55I

/3I6/

92		1979 март 01		I4	OIO
MET	Ир>5	I433	3 ^Л 1056/4 ^Л 1926/ >9c /5 ^Л 0303	I,2·10 ¹ /I,5·10 ¹ /I,6·10 ¹	
-"-	Ир>15	I433	3 ^Л 1005/4 ^Л (18-21) >7c	9,9·10 ⁻¹ /10 ⁰	
IMP8	ИрI3,7-25,2	I5	3 ^Л 08/4 ^Л 18 >9c	I,2·10 ⁻¹ /9·10 ⁻²	
-"-	Ир 20-40	I5	<3 ^Л 08/4 ^Л 18 >9c	>2,5·10 ⁻² /I,7·10 ⁻²	
-"-	Ир 40-80	I5	3 ^Л (00-12)/4 ^Л (9-20)>9c	3,5·10 ⁻³ /3·10 ⁻³	
-"-	Эл I-5	<I7	2 ^Л 24/4 ^Л 08 >8c	4·10 ⁻¹ /3,5·10 ⁻¹	
РИОМ	III	28 ^Л 08	3 ^Л 08/5 ^Л 16 IOc	0,6/0,7	

Источник: • вспышка 0955 s 23E53 3 N McMI5856

▲ sc 0445; 6^Л0818; 9^Л0808

(с 27^Л(02-24) наблюдается увеличение потоков протонов с энергией > 25 МэВ, > 40 МэВ, > 90 МэВ в связи с активностью за E-лимбом)

93		1979 март 10		09	OIO
MET	Ир>5	III2	II ^Л 1339/ /14 ^Л 21-15 ^Л 15	5,6·10 ⁰ / /5,6·10 ⁰	
IMP8	ИрI3,7-25,2	09	II ^Л (02-24)/ /14 ^Л 21-15 ^Л 15	3,3·10 ⁻² / /2·10 ⁻²	
-"-	Ир 20-40	09	<II ^Л (02-24)/ /14 ^Л 21-15 ^Л 15	IIc >7·10 ⁻³ / /3·10 ⁻³	
-"-	Ир 40-80	<I6	< II ^Л 02	6c >7,3·10 ⁻⁴	
-"-	Эл I-5	03	<II ^Л 00- II ^Л 24	I2c I,5·10 ⁻¹	
РИОМ	III	II ^Л 12	I5 ^Л 08	5c 0,6	

Источник: • вспышка 9^Л0935 n I7E80 I N McMI5874

◊ прохождение области McM I5874

▲ sc 15^Л0556

94		1979 апрель 03		04	I20
MET	Ир>5	0437/ /5 ^Л 0147	/5 ^Л 0515	/>10ч	/6,7·10 ¹
-"-	Ир>15	0437/ / 5 ^Л 0147	/5 ^Л 0432	/10ч	/7,9 10 ⁰
-"-	Ир>25	0437/ /5 ^Л 0147	/5 ^Л 0432	/10ч	/I,5 10 ⁰
-"-	Ир>40	0437 /5 ^Л 0147	/5 ^Л 0432	/<10ч	/I,3·10 ⁻¹
IMP8	ИрI3,7-25,2	06/ /5 ^Л 02	4 ^Л 05/ /5 ^Л 04	>4c/ /10ч	2,3·10 ⁻¹ / /6·10 ⁻¹

IMP8	Пр 20-40	06/5 ^Д 02	21/5 ^Д 04	4с/10ч	$2 \cdot 10^{-2} / 7 \cdot 10^{-2}$
-"-	Пр 40-80	06/5 ^Д 02	21/5 ^Д 04	3с/10ч	$2,5 \cdot 10^{-3} / 6 \cdot 10^{-3}$
РИОМ	ППШ	17/5 ^Д 04	4 ^Д 03/5 ^Д 05	3с/3ч	2,4/I,9

Источник: • вспышка 0I05 с 25w I4 IB McMI59I8
• вспышка 04I7 с 23w 05 IB McMI59I8
◊ активность области McM I59I8
▲ sc 5^Д0I55

/280,3I6/

95	I979 ИЮНЬ 06	10	230
MET	Пр>5	I046/I9II	2003/7 ^Д 0243 >7с $5,5 \cdot 10^2 / 2,9 \cdot 10^3$
-"-	Пр>15	I046/I9II	2055/7 ^Д 0243 >2с $6,2 \cdot 10^0 / 1,4 \cdot 10^2$
-"-	Пр>25	/I9II	2055/7 ^Д 0151 Ic $1,4 \cdot 10^{-1} / 1 \cdot 10^1$
-"-	Пр>40	/I8I9	2003/7 ^Д 0151 I4ч $7 \cdot 10^{-2} / 6,9 \cdot 10^0$
IMP8	ПрI3,7-25,2	I0	7 ^Д 0I >7с $1,7 \cdot 10^1$
-"-	Пр 20-40	I0	7 ^Д 0I 8,5с $2,3 \cdot 10^0$
-"-	Пр 40-80	I0	7 ^Д 02 7с $2,3 \cdot 10^{-2}$
-"-	Эл I-5	06	2I 9с $4 \cdot 10^0$
РИОМ	ППШ	I9/22	20/7 ^Д 04 3ч/3с $1,9 / 7,6$

Источник: • вспышка 5^Д0455 с I7E14 2B McMI605I
▲ sc I927

96	I979 ИЮЛЬ 05	17	220
MET	Пр>5	I757/ 6 ^Д (00-18)/ >7с $8,7 \cdot 10^0 /$	
		/6 ^Д I837 / <7 ^Д 0037/7 ^Д I045 >9,I ¹ ·10 ¹ / 1,4 ¹ ·10 ²	
-"-	Пр>15	I702/ / <7 ^Д 0037/7 ^Д I044 >3с $>1,8 \cdot 10^0 / 5,8 \cdot 10^0$	
-"-	Пр>25	I702/ / <7 ^Д 0037/7 ^Д I044 2с $>8 \cdot 10^{-2} / 5,1 \cdot 10^{-1}$	
ВЕНII	Пр>25	6 ^Д II 7 ^Д 12 40ч $3 \cdot 10^{-2}$	
IMP8	ПрI3,7-25,2	<I7 6 ^Д 0I/7 ^Д II >6с $4 \cdot 10^{-2} / 5 \cdot 10^{-1}$	
-"-	Пр 20-40	<6 ^Д 0I <6 ^Д 0I/7 ^Д II >6с $>1,2 \cdot 10^{-2} / 8 \cdot 10^{-2}$	
-"-	Пр 40-80	<6 ^Д 0I <6 ^Д 0I/7 ^Д II 4с $>10^{-3} / 4 \cdot 10^{-3}$	
-"-	Эл I-5	<24 6 ^Д 09/ <7 ^Д 06 5с $5 \cdot 10^{-2} / 8 \cdot 10^{-2}$	
РИОМ	ППШ	6 ^Д 04 6 ^Д 20/7 ^Д I0/7 ^Д I6 3,5с $1,6 / 1,7 / 2,4$	

(AMC "Венера-II" удалена по гелиодолготе от Земли на 45⁰w)

Источник: ◊ активность области McM I6I22, в частности
• вспышка 4^Д0203 с 07E44 2 N McMI6I22
• вспышка 4^Д060I с 08E47 IB McMI6I22
• вспышка 4^ДI903 с IIЕ36 IB McMI6I22
▲ sc 6^ДI930; I2^ДI239 /3I6/

97	1979 август 03			03	000
MET	Пр>5	<0310	234I/6 ^Д I447		1,1·10 ¹ /7,7·10 ⁰
-"-	Пр>15	0310	4 ^Д (02II-07I8)/ /4 ^Д (I228-I555)/ /6 ^Д (I303-I628)/		2,5·10 ⁰ / /1,2·10 ¹ / /2,1·10 ⁰
-"-	Пр>25	0310	4 ^Д 02II/ /4 ^Д (I228-I555)/ /6 ^Д (I303-I436)		7,4·10 ⁻¹ / /7,3·10 ⁻¹ / /7,7·10 ⁻¹
-"-	Пр>40	0310	4 ^Д 0030/ /4 ^Д (08I3-II35)/ /6 ^Д (I358-I542)		5,2·10 ⁻¹ / /5,2·10 ⁻¹ / /5,0·10 ⁻¹
IMP8	ПрI3,7-25,2	09	4 ^Д I5/6 ^Д I5	>I6c	1,6·10 ⁻² /3,3·10 ⁻²
-"-	Пр 20-40	<06	4 ^Д I5/6 ^Д I5	>I6c	7·10 ⁻³ /1,2·10 ⁻²
-"-	Пр 40-80	06	4 ^Д I5/6 ^Д I5	>I6c	3,5·10 ⁻³ /5,5·10 ⁻³
-"-	Эл I-5	<05	<I7	>I6c	>5·10 ⁻¹

Источник: активность за Е-лимбом

98	1979 август I7			I7	230
MET	Пр>5	I649/ 20 ^Д 0937/20 ^Д I723/ /2I ^Д 0746	>I2c	2,4·10 ³ /2,3·10 ³ / /1,7·10 ³	
-"-	Пр>15	I8 ^Д 0026/ 20 ^Д 0936/20 ^Д I810/ /2I ^Д 0746	IIc	3,8·10 ² /3,2·10 ² / /3,9·10 ²	
-"-	Пр>25	I8 ^Д 0II8/ 20 ^Д 0936/20 ^Д I810/ /<2I ^Д 0746	I0c	6,9·10 ¹ /6,4·10 ¹ / /1,1·10 ²	
-"-	Пр>40	I8 ^Д 2327/ 20 ^Д 0936/20 ^Д I810 /<2I ^Д 0746	>5c	1,9·10 ¹ /1,3·10 ¹ / /5,5·10 ¹	
-"-	Пр>90	I8 ^Д 2327/ 20 ^Д (00-08)/ /<2I ^Д 0746	>3c	10 ⁰ / /10 ⁻¹	
ВЕНИ	Пр>25	I9 ^Д 00	I9 ^Д I4/2I ^Д I7	>5c	2,4·10 ⁰ /4·10 ⁰
-"-	Пр>60	I9 ^Д 00	I9 ^Д I3/2I ^Д I7	>5c	1,6·10 ⁰ /3·10 ⁰
-"-	Пр>140	I8 ^Д I6	I9 ^Д I0/2I ^Д I4	>5c	1,6·10 ⁻¹ /3,2·10 ⁻¹
БАЛ	Пр>100	20 ^Д (04-I0)/2I ^Д 07	>2c	5,5·10 ⁻¹ /5·10 ⁰	
-"-	Пр>150	20 ^Д (04-I0)/2I ^Д 07		1,6·10 ⁻¹ /2,7·10 ⁰	
-"-	Пр>200	20 ^Д (04-I0)/2I ^Д 07		/9·10 ⁻¹	
IMP8	ПрI3,7-25,2	00/ 20 ^Д 07/20 ^Д I6/ /2I ^Д 07/	IIc	1,6·10 ¹ /1,2·10 ¹ / /1,3·10 ¹	
-"-		/<27 ^Д 00/29 ^Д 00	/27 ^Д I1/29 ^Д 04	/6 ^ч	/1,6·10 ⁻¹ /5·10 ⁻²
-"-	Пр 20-40	00/ 20 ^Д 08/ /2I ^Д 07/	IIc	4·10 ⁰	
		/27 ^Д 00/ 20 ^Д 08/ /27 ^Д I0/29 ^Д 04		/3·10 ⁻² /8·10 ⁻³	

IMP8 Пр 40-80 00/ < 21^{II}07 20^{II}06/21^{II}07 IIc 4,5·10⁻¹/10⁰
 -- Эл I-5 18^{II}24 20^{II}06 > IOc 3,5·10⁻¹
 РИОМ IIII 19^{II}08/ 20^{II}20/ 7,5c 5,2/
 /19^{II}09/20^{II}05/ /19^{II}10/20^{II}08/ /1,8/5,4/
 /< 21^{II}06/ /21^{II}08/ /5,0/
 /26^{II}23/29^{II}04 /27^{II}07/29^{II}05 /0,7/0,7

(AMC "Венера-II" удалена по гелиодолготе от Земли на 45 w)

Источник: высокая активность в областях McM I6239, I6224,
в частности,

- о вспышка [18^{II}I400 S 25E17 SN McMI6224
18^{II}I421 N 08E90 SB McMI6239
- о вспышка 20^{II}0904 N 05E77 2B McMI6239
- о вспышка 26^{II}I615 N 05w II 2B McMI6239, а также
- о вспышка 21^{II}0550 N 17w40 2B McMI6218
△ SC 19^{II}0854; 20^{II}0625; 29^{II}0457

Примечание: см. также вспышки 13^{II}0947 S 26E90 IN McMI6224
14^{II}I240 S 27E76 IN McMI6224
/3I6/

99		1979 сентябрь 08		IO	000
MET	Пр>5	0954	(I4-I8)/	>5c	10 ⁻¹ /
-			/<II ^{II} (07-I0)/		/>1,3·10 ⁻¹ /
-			/I2 ^{II} IOIO		/9,2·10 ⁰
--"	Пр>15	0954	I731/	5,5c	3·10 ⁰ /
--"			/<II ^{II} (08-I0)/		/>2,3·10 ⁰ /
--"			/I2 ^{II} 092I		/1,8·10 ⁰
--"	Пр>25	0954	I731/	5,5c	5,7·10 ⁻¹ /
--"			/<II ^{II} (07-08)/		/>3·10 ⁻¹ /
--"			/I2 ^{II} (I0-I2)		/3·10 ⁻¹
--"	Пр>40	I042	I731	2c	2,3·10 ⁻¹
ВЕНII	Пр>25	I000	I6	>44ч	1,4·10 ¹
--"	Пр>60	09	I5	>44ч	9·10 ⁰
--"	Пр>140	09	I4	>40ч	7,2·10 ⁻¹
IMP8	ПрI3,7-25,2	I0	(20-9 ^{II} 04)/	>5c	1,1·10 ⁻¹ /
--"			/II ^{II} 04/I2 ^{II} 08		/6·10 ⁻² /8·10 ⁻²
--"	Пр 20-40	I0	I9/	5c	4·10 ⁻² /
--"			/II ^{II} 04/I2 ^{II} I4		/2·10 ⁻² /2,5·10 ⁻²
--"	Пр 40-80	I0	I8/	5c	10 ⁻² /
--"			/II ^{II} 04/I2 ^{II} I4		/2,5·10 ⁻³ /3,5·10 ⁻³
--"	Эл I-5	08	I3	>6c	3·10 ⁻¹

Источник: о вспышка 0644 S 22w 86 IN McMI627I
о вспышка 10^{II}0514 S 22 w47 2B McMI6267

I00	1979 сентябрь I4		09	220
MET	Пр>5	0907	I7 ^{II} 2034	>26c $8 \cdot 10^2$
-"-	Пр>15	0956	I7 ^{II} 1947	>22c $1,5 \cdot 10^2$
-"-	Пр>25	0907	I7 ^{II} 1805	I4c $2 \cdot 10^1$
-"-	Пр>40	0907	I7 ^{II} 1805	>10c $7,4 \cdot 10^0$
-"-	Пр>90	<15 ^{II} 0532	I7 ^{II} I2II	4,5c $4,1 \cdot 10^{-1}$
ВЕНН	Пр>25		I6/I9 ^{II} (I0-I4)	$1,7 \cdot 10^0 / 8 \cdot 10^0$
-"-	Пр>60		I6/I9 ^{II} (I0-I4)	$1,1 \cdot 10^0 / 5 \cdot 10^0$
-"-	Пр>140		I6/I9 ^{II} (I0-I4)	$6 \cdot 10^{-2} / 4 \cdot 10^{-1}$
БАЛ	Пр>100		I6 ^{II} 07/I7 ^{II} 07	>2c $6 \cdot 10^{-1} / 4 \cdot 10^{-1}$
IMP8	Пр I3,7-25,2	09	I8 ^{II} 01	>I7c $3 \cdot 10^0$
-"-	Пр 20-40	09	I7 ^{II} I5	>I7c $9 \cdot 10^{-1}$
-"-	Пр 40-80	09	I7 ^{II} I2	>I7c $2,2 \cdot 10^{-1}$
-"-	Эл I-5	I0	I7 ^{II} I8	>I7c $4 \cdot 10^1$
РИОМ	ИПП	I5 ^{II} 06	I8 ^{II} 02	I6c $2,6$

(AMC "Венера-II" удалена по гелиодолготе от Земли на $50^0 w$)

Источник: вспышка 0808 N 06E90 IN McMI6298

вспышка 0755 N 07 w08 IB McMI6279

вспышка 0735 S 28 w82 IN McMI6267

I01	1979 ноябрь I5		22	I20
MET	Пр>5	2226	I6 ^{II} II25	>3c $5,1 \cdot 10^2$
-"-	Пр>15	2I34	I6 ^{II} II25	>Ic $2,5 \cdot 10^1$
-"-	Пр>25	2I34	I6 ^{II} II25	Ic $1,8 \cdot 10^0$
-"-	Пр>40	2I34	I6 ^{II} II25	<Ic $3,4 \cdot 10^{-1}$
IMP8	Пр I3,7-25,2	<22	I6 ^{II} I0	>3,5c $3 \cdot 10^0$
РИОМ	ИПП	24	I6 ^{II} II	2c $2,3$

Источник: вспышка 2I22 N 29 w35 2B HR I64I9A

вспышка 202I N 10 w14 IB HR I642I

I02	1979 ноябрь 2I		08	000
MET	Пр>5	08I7	I227	2c $9,6 \cdot 10^0$
-"-	Пр>15	08I7	I047	<Ic $1,6 \cdot 10^0$
IMP8	Пр I3,7-25,2	<09	I5	>2c $7 \cdot 10^{-2}$
-"-	Пр 20-40	<09	I3	3c $1,6 \cdot 10^{-2}$
-"-	Пр 40-80	<09	I2	2c $2 \cdot 10^{-3}$
-"-	Эл I-5	07	<I0	3c $>3,2 \cdot 10^{-1}$

Источник: область HR I64I9A I сутки за w-лимбом

всплеск II типа 0650 без H_{α} -вспышки

Приложение к Части I

"Список слабых возрастаний потоков
протонов у Земли за 1970-1979 г.г."

1970 г.

Январь	I6-I7 (IMP5)	Июнь	02-03 (IMP5, MET)
	I9-20 (IMP5, MET)		I4-22 (IMP5, MET)
	28-29 (IMP5, MET)	Июль	01-07 (IMP5, MET)
Февраль	I6-I7 (IMP5)		21-23 (IMP5)
	26-27 (IMP5)		28-30 (IMP5, MET)
Апрель	07-09 (IMP5, MET)	Август	08 (IMP5)
	I5 (IMP5)		23-24 (IMP5, MET)
	24-25 (IMP5)	Сентябрь	12-13 (IMP5)
Март	02 (IMP5)	Октябрь	23-30 (IMP5)
	I2-I3 (IMP5, MET)	Ноябрь	12-13 (IMP5)
Май	05-12 (IMP5, MET)		23-25 (IMP5)

1971 г.

Март	I4 (IMP5)	Июнь	29-30 (IMP5, MET)
	I7-I8 (IMP5)	Октябрь	29-30 (IMP5)
Май	I2-I3 (IMP5, MET)	Ноябрь	23-26 (IMP6)
	I3-I4 (IMP5, MET)	Декабрь	02 (IMP6)
	I4-I6 (IMP5, MET)		

1972 г.

Январь	03-05 (IMP6, MET)	Июнь	I3-I5 (IMP6)
	I5-I8 (IMP6, MET)	Сентябрь	27 (IMP6)
Февраль	I3-I4 (MET)	Октябрь	I3-I4 (IMP6)
	21-24 (IMP6, MET)	Ноябрь	I7 (IMP6)
Март	05-08 (MET)		25 (IMP6)
	II-II2 (IMP6, MET)		28,29 (IMP6)
Апрель	26-27 (IMP6, MET)	Декабрь	I6 (IMP6)
	29-30 (MET)		

1973 г.

Январь	29-30 (IMP6)
Февраль	28 (IMP6)
Март	29-30 (IMP6)

1975 г.

Сентябрь	09-12 (MET)
Ноябрь	I7-I9 (IMP7,8)
	21-23 (IMP7,8)

1977 г.

Июль	21-23 (IMP7,8)
	26-28 (IMP7,8)

Сентябрь	01-03 (IMP7,8)
Октябрь	06-07 (IMP7,8)

1978 г.

Январь	05-06	(IMP7,8)	Июль	01-04	(IMP7,8; MET)
	07	(IMP7,8; MET)		04-07	(IMP7,8; MET)
	09-10	(IMP7,8; MET)		24-25	(IMP7,8; MET)
	II-12	(IMP7,8; MET)	Сентябрь	05-07	(IMP7,8)
	I4-I5	(IMP7,8)	Октябрь	01-07	(IMP7,8; MET)
Февраль	22	(IMP7,8)		I3-I6	(IMP7,8; MET)
Март	07-09	(IMP7,8; MET)		I7-I8	(MET)
	31-03	(MET)		I9-20	(MET)
Май	22-27	(IMP7,8; MET)	Ноябрь	03-04	(IMP7,8; MET)
Июнь	01-02	(MET)		20-21	(IMP7,8; MET)
	08-10	(MET)	Декабрь	30-31	(IMP7,8; MET)

1979 г.

Январь	05-07	(IMP8, MET)	Июль	II-I3	(IMP8, MET)
	21-22	(IMP8, MET)	Август	01-02	(- , MET)
Март	I9	(IMP8, -)	Ноябрь	04	(IMP8, MET)
	27-28	(IMP8, MET)		05-06	(IMP8, MET)
Апрель	03-05	(- , MET)		07-II	(IMP8, MET)
	I3	(IMP8, -)		I2-I3	(IMP8, MET)
	23-25	(- , MET)		I9-20	(- , MET)
	28-30	(IMP8)	Декабрь	I2-I3	(IMP8, MET)
Май	03-05	(IMP8, MET)		I4-I5	(- , MET)
	27-31	(IMP8, MET)		20-25	(IMP8, MET)
Июнь	25-27	(IMP8, MET)		26-27	(IMP8, MET)
				29-30	(IMP8)

Часть II

1970 январь 28		McM I0542		К событию I		(OIO)	CFI= 8
H_α	I013	I030	I020	s I4 w33		2B	-
Рентгеновское излучение						X5	
15,4 ГГц	I017	I018,6	I025			2,I	
8,8 ГГц	I017	I019,8	I025			2,2	
5 ГГц	I017	I019,8	I029	P5		2,4	
2,8 ГГц	I017	I020	I028			2,I	
606 МГц	I020	I021	I029			0,5	
ДС тип I	I021		2258			I	

1970 январь 29		McM I0542		К событию I		(OIO)	-
H_α	I024	I029	I050	s I3 w42		IB	EJ
Рентгеновское излучение						нет данных	
19 ГГц	I025	I027,5	I028			I,4	
9,5 ГГц	I020	I027,5	I050			I,3	
ДС		явлений нет					

1970 январь 31		McM I0542		Событие 2		(I20)	CFI= 8
H_α	I512	I535	I816	s 23 w62		2B	ESUW
Рентгеновское излучение						M4	
15,4 ГГц	I506	I559,5	I813	3-I5		I,55	
9,4 ГГц	I513	I601,2	I910			I,5	
5 ГГц	I513	I556,2	I825			I,65	
2,8 ГГц	I510	I600	2040			I,5	
ДС тип II	I518		I536			3	
ДС тип III	I518		I523			3	
ДС тип IV	I536		I614			3	

1970 март 06		McM I0595		Событие 3		(OIO)	CFI= 6
H_α		нет данных					
Рентгеновское излучение						M5	
9,5 ГГц		0934	0934,2	0936		0,7	
3 ГГц		0933	0934,2	0937		2,I	
III ГГц		0935,6	0935,7	0937		3,45	
ДС тип III		[0931		0932		2	
		0932		0937		-	
ДС неклассический		0931		0955		2	
ДС конт.,; тип I,III		0943		>I200		-	

/58/

1970 март 07 °		McM I06I4		К событию 4		(I20)	CFI=9
Н _α		0I38	0I52	033I	SI2EIO	2B	CFHJKLRSU
Рентгеновское излучение						M5	
9,4 ГГц	0I42	0I58	0357	P1,4 (2,8)		I,65	
5 ГГц	0I42	0I44,4	0I55			I,95	
2,7 ГГц	0I42	0I44,4	0I55			2,I	
200 МГц	0I4I	0I44	0202			3,3	
ДС тип III	0I39		0I48			I	
ДС тип II	0I46		0I50			I	
ДС тип III, IV	0I56		0I58			I	

/58/

1970 март 23 °		McM I0638		К событию 5		(0I0)	-
Н _α		I545	I548	I6II	N18w62	I _N	F
Рентгеновское излучение					нет данных		
15,4 ГГц	I546	I549,9	I64I	P5 (2)		I,5	
8,8 ГГц	I545	I549,6	I650			I,55	
2,7 ГГц	I544	I547,3	I650			I,5	
606 МГц	I546	I549,I	I558			I,5	
ДС тип III	I547		I553			I	
	I558		I602			2	

1970 март 25 °		McM I064I		Событие 6		(000)	CFI=15
Н _α		I202	I226	I430	N14EIO	I _B	FHJK
Рентгеновское излучение						XI	
15,4 ГГц	I205	I22I,2	I227	υ0,6 (I,95)	P5 (2,8)	2,I5	
9,5 ГГц	I203	I220,3	I405			2,4	
5 ГГц	I205	I220,7	I230			2,8	
2,8 ГГц	I2I5	I220,8	I236			2,65	
200 МГц	I207	I220	I230			2,45	
ДС тип III, IV	I206		I222			2	
ДС тип IV	I2I5		I230			I	
ДС тип II	I225		I246			2	

1970 март 29 ° McM I064I				Событие 7	(I20)	CFI=14
Н _α	0032	0046	0156	N 13W 37	2B	FIKR
Рентгеновское излучение					X2	
17 ГГц	0039	0040,7	0059		3,6	
8,8 ГГц	0030	0040,9	0120	U 2 (3) P9	3,75	
2,7 ГГц	0030	0040,8	0120		3,15	
606 МГц	0030	0101,7	0155	P0,6	4,6	
200 МГц	0034	0103,2	0252		>4,1	
ДС тип III	0037		0051		3	
ДС тип IV	0038		0210		2	
ДС тип II	0040		0053		3	

/62,63/

1970 май 30 ° McM I0760				К событию 8	(II0)	CFI=7
Н _α	0218	0338	0455	S 08 W 30	2B	CFKLRU
Рентгеновское излучение					>M4	
9,4 ГГц	0230	0340	0730	/9	I,5	
3,7 ГГц	0230	0330	0730		I,3	
2 ГГц	0230	0340	0730		I,2	
200 МГц	0308	0315,3	0350		2,5	
ДС тип III N	0005		0300		I	
ДС тип IS	0314		0415		I	

1970 июнь 25 ° McM I080I				Событие 9	(II0)	CFI=7
Н _α	I833	I838	I940	N 10 E 11	2B	FVY
Рентгеновское излучение					M3	
15 ГГц	I834	I839,8	I856		I,35	
8,8 ГГц	I833	I837,6	I917		I,6	
2,7 ГГц	I833	I836,4	I919	P2,7	2,I	
245 МГц	I836	I836,3	I837		2,2	
ДС неклас.	I835		I838		2	

1970 июль 7 ■ McM I0808				Событие 10	(O10)	CFI=3
Н _α	I648	I652	I711	N 24 W 90	SF	-
Рентгеновское излучение					нет всплеска	
8,8 ГГц	I650	I651,4	I654		2,I	
5 ГГц	I650	I651,4	I654		2,2	
2,8 ГГц	I651	I651,2	I655		I,8	
237 МГц	I650	I650,6	I657		2,8	

ДС тип III,У	I650	I655	3
ДС тип II	I655	I704	2
	I7II	I7I6	1

1970 июль 23		McM I0845		Событие II	(II0)	CFI= 12
H_α	I83I	I843	I927	N 09 E09	IB	EFU
Рентгеновское излучение					X2	
I5,4 ГГц	I828	I844,8	I854			3,5
8,8 ГГц	I83I	I845,3	I856	U2,8 P9		3,6
2,8 ГГц	I832	I844	I903			3
606 МГц	I832	I844,2	2I06	P0,6		4,4
240 МГц	I840	I934	-			3,9
ДС тип III,У	I83I		I902			3
ДС тип IV	I836		I903			3
	I9I7		I936			3

1970 август I2 °		McM I0882		К событию I2	(230)	CFI= 13
H_α	202I	2036	2I28	N II E90	IB	DEILXY
Рентгеновское излучение					>X5	
I5,4 ГГц	2013	2016,7	2036			3,75
8,8 ГГц	2008	2017,I	2036	U0,5(2,3)P9		3,85
2,8 ГГц	2008	2026	2045			3
245 МГц	2007	2017,6	2035			4,4
ДС тип III	I2009		2016			2
	I203I		2037			3
ДС тип IV; конт.	2012		2047			-
ДС тип II	2015		2048			3
						/63,69/

1970 август I4 °		McM I0882, I0865		К событию I2	(230)	CFI= 12
H_α	I603	I635	I7I2	N 10 E75	2B	DFKIZ
	I556	I630	I705	N 16 W74	IB	FKT
	I702	I7I4	2II6	N 17 W74	IB	DEFIKUV
Рентгеновское излучение					X4	
I5,4 ГГц	I60I	I6I4,7	I63I	U0,6(I,7)P5(3)	2,5	
8,8 ГГц	I600	I6I4,7	I63I		2,7	
2,8 ГГц	I557	I62I	I757		2,8	
245 МГц	I600	I6I8,7	I632		3,I	
ДС тип IV	I600		I808		2	
ДС тип III,У	I628		I632		3	/69/

1970 ноябрь 05 •			McM II0I9	К событию I3 (I20)		CFI= 14
н _α	0308	0330	0719	S I2 E36	3B	CFHIJKTU
Рентгеновское излучение						X2
8,8 ГГц	0317	0326,8	0504	U 0,6(2,4)P5(3,25)		3,1
3,7 ГГц	0302	0326,7	0346			3,05
2,7 ГГц	03II	0325,3	0504			2,8
200 МГц	032I	0339	0458			2,7
ДС тип IV	03I8		0450			I
ДС тип III	032I		0328			I
ДС тип II	0324		035I			3

/72-75/

1970 декабрь II °			McM II073, II077	К событию I4 (OIO)		CFI= 10
н _α	2205	224I	0I25	N I6 w02	IN	EFLRSU
Рентгеновское излучение						M8
9,4 ГГц	[< 2242	235I,4	2257			2,0
	2305	23I7,5	0030			2,4
3,7 ГГц	[< 2237	2253,5	2259			I,8
	2305	2320	0030			2,75
2,7 ГГц	[2205	2220,5	2250			I,9
	2308	23I8,9	00I4	P2,7		3,I
200 МГц	2209	23I4	0035			2,6
ДС тип III	[2202		2203			2
	2225		2247			I
ДС тип IV	2209		2336			3
ДС тип II	2238		2243			I

/85/

1970 декабрь I2 °			McM II077	К событию I4 (OIO)		CFI= 8
н _α	0903	0905	0927	N I0 E23	IB	EHJ
Рентгеновское излучение						>XI
8,8 ГГц	0903,7	0904	0904,5	5-I0(I,85)		I,8
2,7 ГГц	0903,6	0904	0908			I,6
420 МГц	0903	0905	09I2	P0,4		3,95
240 МГц	0903	0906	0909			3,85
ДС тип III	0902		0909			2
ДС тип IV	0902		0909			3

/57/

1971 январь 24 •			McM III28	Событие I6	(343)	CFI= 13
H_{α}	2215	2331	0020	N 18w 49	3B	CFIJKU
Рентгеновское излучение					X5	
8,8 ГГц	2304	2323,1	2333	u I,4(2,9)/9	4,I	
5 ГГц	2304	2323,2	2333		3,85	
2,7 ГГц	2304	2323,2	2333		3,4	
200 МГц	2305	2320	2415		3	
ДС тип IV	2310		250250		3	
ДС тип III	2315		2353		3	
ДС тип II	2316		2342		3	

/63,78,87/

1971 апрель 01 •			McM II22I	Событие I7	(000)	CFI= 8
H_{α}	I300	I322	I422	S 20w12	IN	CEFI
Рентгеновское излучение					C5	
2,7 ГГц	I302	I325	I424	P0,6(3)\2,7-9	I	
1,4 ГГц	I300	I332	I403	PI,4	3	
245 МГц	I300	I332	I403		2,2	
ДС тип III	I259		I358		2	
ДС тип IV	I353		I525		2	

1971 апрель 06 •			McM II22I	Событие I8	(I20)	CFI ≥ 6
H_{α}	0936	0944	I016	S 19w80	IB	EFU
Рентгеновское излучение					> MI	
19 ГГц	0940	0944,2	I010	u I,4(2,5)P5(3,5)	2,7	
9,1 ГГц	0939	0944,2	0950		3,2	
2,7 ГГц	0937	0946	>I000		2,9	
930 МГц	0936	0943,5	I015	u 0,4(I,2)P0,9	3,5	
II3 МГц	0939	~0945	I021		2,5	
ДС тип III	0940		-		-	
ДС тип II	0949				-	/93/

1971 апрель 20 °			McM II256	К событию I9	(010)	CFI= 9
H_{α}	0513	0522	0612	N 20w20	2B	CFIJK
Рентгеновское излучение					X5	
9,4 ГГц	0512	0518,6	0521	u 0 ,6(0,5)/9	3,I	
2,7 ГГц	0516	0518,6	0521		2,4	
240 МГц	< 0520	0520	-		2,2	
ДС тип IV	0518		0520		I	
ДС тип IN	0520		I705		2	

1971 апрель 20 ° McM II250				Событие 19	(OIO)	CFI= 8
H_α	I924	I946	I24I	S 06 w 50	IB	DEFHLSUZ
Рентгеновское излучение					M3	
15,4 ГГц	I92I	I959,8	I043		I,3	
8,8 ГГц	I9I7	I945,5	I043	PI,4(2,6)	I,3	
2,8 ГГц	I924	I945,2	I904		I,6	
245 МГц	I9I5	I932,7	I207		I,6	
ДС тип II	I926		I946		2	
ДС тип I _N	I952		2055		I	
ДС тип III	2022		2023		I	

1971 апрель 22 ° McM II256				Событие 20	(OIO)	-
H_α	<0942	0947	0959	N18w6I	SN	CEJRZ
Рентгеновское излучение					нет данных	
9,5 ГГц	094I	0942	I020		0,7	
2,9 ГГц	094I	0942,4	0947		I	
ДС		явлений нет				

1971 май I6 ■ McM II294				Событие 2I	(II0)	CFI= 4
H_α					нет данных	
Рентгеновское излучение					нет данных	
606 МГц	I229	I304,3	I324		2,4	
410 МГц	I229	I304,8	I3I6		2,2	
245 МГц	I23I	I242,3	I3I9		I,9	
ДС тип IV	I236		I322		3	
ДС тип III	I238		I309		I	
ДС неклас.	I25I		I259		2	

1971 сентябрь 0I ■ McM II482				Событие 22	(233)	CFI= 7
H_α					нет данных	
Рентгеновское излучение					нет данных	
15,4 ГГц	I934	I94I,2	I956		I,3	
8,8 ГГц	I93I	I940,9	2005		I,55	
5 ГГц	I930	I940,5	2030		I,8	
2,8 ГГц	I928	I94I	I950		2,I	
245 МГц	I93I	I934,4	2037		2,9	
ДС тип II	I934		I948		3	
ДС тип III	I934		I936		2	
ДС тип IV	I934		2009		2	

/78.I06/

1971 октябрь 03 • McM II537			Событие 23		(000)	CFI= 12
H_{α}	I330	I351	I458	N13 EI4	2 N	CEFHKUZ
Рентгеновское излучение				M8		
19 ГГц	I338	I345,5	~I415	~0,4(2,0)P3(2,7)	2,0	
9,4 ГГц	I336	I346,2	I400		2,4	
2,7 ГГц	I331	I359,2	I424		2,85	
245 МГц	I332	I348,3	I409		2,5	
ДС тип III	I337		I344		2	
ДС тип IV	I337		I356		3	
ДС тип II	I345		I357		2	

/108/

1972 январь 10 ° McM II687			К событию 25		(000)	CFI= 2
H_{α}	0205	0221	0300	S II E47		EJKRSU
Рентгеновское излучение				C2		
ДС тип II	0224		0239,5		-	

1972 январь 10 ° McM II687			К событию 25		(000)	CFI= 3
H_{α}	2212	2214	2219	S 08 E30	SN	H
Рентгеновское излучение				C2		
2,7 ГГц	2207	2215	2222		0,7	
100 МГц	2206	2210	2227		2,15	
ДС тип III	2206		2212,5		I	
ДС тип II	2207		2228		2	
ДС тип IV	2209		2230		I	

1972 январь 19 ° McM II693			К событию 26		(120)	-
H_{α}	0632	0639	0709	S 18 E18	I N	
Рентгеновское излучение				нет данных		
2,9 ГГц	0631	0733	I030		I,5	
950 МГц	0614	0624,2	I030		2,1	
650 МГц	0714	0916,2	I057		2,4	
100 МГц	0630	0714	0812		I,9	
ДС тип I _s ; конт.	0692		0742		I	
ДС тип III	0622		0742		I	

/108/

1972 январь 19	o	McM II693	К событию 26	(I20)	-
H_{α}	I639	I644	I716	sI6 E10	IB DFL
Рентгеновское излучение					нет данных
15,4 ГГц	I629	I652	I715		I,3
8,8 ГГц	I618	I655	I757		I,5
2,7 ГГц	I633	I643	I728		I,0
606 МГц	I554	I604,6	I711		2,6

/II2/

1972 март 05	•	McM II769	Событие 27	(020)	CFI ≥ 9
H_{α}	0807	0816	0831	s07 E43	IB CDFHX
Рентгеновское излучение					X5
19 ГГц	0822	0814,9	0819		3,5
9,1 ГГц	0812	0815	0817	u 0,95(2,9)P9	3,7
2,7 ГГц	0811	0815,4	~0843		3,4
202 МГц	0814	0815	0817		4,5
ДС тип II	0817		0823		-
ДС тип III	0825		0826		-
ДС конт.	0828		0930		-

1972 май 28	•	McM II895	Событие 29	(I20)	CFI = 14
H_{α}	I310	I332	I515	n 09 E30	2B CFJKLUWZX
Рентгеновское излучение					X5
19 ГГц	I323	I327,8	I355		3,5
8,8 ГГц	I317	I327,5	I357	u 1,4(3,0)P9	3,9
2,7 ГГц	I312	I327,5	I451		3,2
606 МГц	I318	I344,5	I633	u 0,4(3,2)P0,6	3,4
237 МГц	I323	I339,9	I626		4,1
ДС тип III	I323		I328		2
ДС тип IV	I323		I408		3
ДС тип II	I327		I345		3

1972 июнь 15	o	McM II926	К событию 31	(I20)	CFI = 8
H_{α}	0951	0958	I032	s I0 E11	IN CFHU
Рентгеновское излучение					MI
9,4 ГГц	0949	0956	I029		I,I
2,7 ГГц	0949	0953,2	I003	P2,7	2,I
245 МГц	0950	0953,3	I003		2,3
ДС тип III	0952		0955		I
ДС тип II	I000		I009		2

/I07/

1972 июнь 15 °		McM II922		К событию 31		(I20)	CFI= 8
н _α	I249	I313	I450	S14w00		I_F	F_I
Рентгеновское излучение						M6	
15,4 ГГц	I250	I353, I	I325			I, 4	
8,8 ГГц	I237	I336, 9	I517			I, 4	
2,8 ГГц	I230	I515	2220			I, 8	
200 МГц	I239	I256, 2	I324			I, 6	
ДС конт.	I231		I607			2	
ДС тип IV	I305		I4II			2	

/III/

1972 июль 22 °		McM II958		К событию 33		(II0)	CFI= 1
н _α	0552	0555	0626	S09w50		SN	CFHZ
Рентгеновское излучение						нет данных	
2,7 ГГц	0550	0552	0553			0,6	
113 МГц	0552	0552, 6	0553			2,2	
23 МГц	0552	0553, I	0554			4,0	
ДС тип III, У	0549		0555			2	

/85, I23-I25/

1972 август 02 °		McM II976		К событию 35		(330)	CFI= 12
н _α	0316	0410	0506	N14 E34		3N	FHUZ
Рентгеновское излучение						X2	
9,4 ГГц	0310	0404, 2	0510	uI(2,8)P3,7(3,4)		3,35	
2,7 ГГц	0311	0404, 8	~0412			3,3	
606 МГц	~0312	0340, 5	~0442			3,5	
100 МГц	0342	0356, 8	0433			3,3	
ДС конт.	0300		0738			2	
ДС тип У	0312		0315			I	
ДС тип III	0326		0722			2	

/85, I24, I32-I34, I36, I38-I40, I58/

1972 август 02 °		McM II976		К событию 35		(330)	CFI= 5
н _α	I839	I844	I857	N14 E26		IB	HF
Рентгеновское излучение						M5	
19 ГГц	I839	I839, 6	I849	P5(3,0)		2,9	
8,8 ГГц	I838	I839, 6	I849			2,8	
2,7 ГГц	I838	I840, 3	I850			2,8	
ДС тип III	I806		2020			2	
ДС тип IV	I839		I843			2	

/85, I24, I32-I34, I36, I38-I40, I42, I58/

1972 август 02 •		McM II 976		К событию 35		(330)	CFI= 13
H_{α}	I958	2058	2336	N I4 E28	2B	EUZ	
Рентгеновское излучение							
15,4 ГГц	2039	2I44,4	~2259			3,5	
8,8 ГГц	2035	2I44,5	~2313	3-5(3,9)P9		4,0	
2,7 ГГц	2033	2I44	~2339			3,9	
606 МГц	I959	2I44,2	~2341	P0,4(5,3)		4,9	
200 МГц	2012	2I46	3I0432			3,6	
ДС тип III	I959		2003			2	
ДС тип III	2021		2I00			3	
ДС тип IV	2024		2358			3	
<i>/I25, I32-I34, I36, I38-I40, I42, I58/</i>							

1972 август 04 •		McM II 976		К событию 36		(443)	CFI= 16
H_{α}	0617	0640	0855	N I4 E08	3B	DFHLUVZ	
Рентгеновское излучение							
19 ГГц	0620	0626,8	0730			4,4	
8,8 ГГц	0618	0634,3	0645	U2(3,7)P9		4,5	
2,7 ГГц	0618	0635,7	0645			3,9	
234 МГц	~0620	~0642	I340			~5,7	
ДС тип III	[0609		0613			3	
	0622		II24			3	
ДС тип IV	0621		I245			3	
<i>/85, I25, I32-I36, I39, I58, I65-I74/</i>							

1972 август 07 •		McM II 976		К событию 37		(342)	CFI= 15
H_{α}	I449	I534	I721	N I4 W37	3B	CFHJUZ	
Рентгеновское излучение							
15,4 ГГц	I507	I522,6	I536			4,3	
8,8 ГГц	I448	I521,9	I539	U2,7(3,6)P9		4,4	
2,7 ГГц	I435	I526,8	I539			3,6	
245 МГц	I436	I522,4	I534	U0,24P0,4(4,0)		3,1	
II3 МГц	~I438	~I520,5	~I654			4,3	
ДС тип IV	I503		I630			3	
ДС тип III	I511		I530			3	
ДС тип II	I519		I614			3	
<i>/85, I25, I26, I32-I39, I58, I71, I73, I74, I79-I82/</i>							

1972 август 07 •		McM II 976		К событию 37		(342)	CFI= 6
Н _α	I200	I204	I232	N I3W34	IB	CDFJVZ	
Рентгеновское излучение					MI		
I5,4 ГГц	I201	I201,8	I207	/I5,4	2,5		
8,8 ГГц	I200	I201,9	I207		2,4		
5 ГГц	I201	I201,9	I204		I,9		
2,7 ГГц	I201	I201,3	I203		I,0		
ДС тип IV	I222		I320		I		

/ 85, I25, I26, I32-I39, I58, I71, I73, I74, I79-I82/

1972 август II •		McM II 976		Событие 38		(000)	CFI= 8
Н _α	I2I7	I247	I304	N I4W90	IB	ADEFHKYZ	
Рентгеновское излучение					M8		
I5,4 ГГц	I234	I239,6	I242		I,7		
8,8 ГГц	I2I7	I2I8,8	I22I		2,3		
2,7 ГГц	I2I6	I2I7,3	I224		2,I		
I,4 ГГц	I2I6	I248,5	I400		2,6		
245 МГц	I23I	I238,7	I25I		I,5		
ДС тип III	I23I		I233		2		
	I239		I242		2		
ДС тип II	I235		I25I		I		
	I248		I254		2		
ДС тип IV	I247		I355		2		

/I25, I33, I34, I36, I39, I83, I84/

1972 сентябрь 29 •		McM I2094		К событию 40		(I20)	CFI= 7
Н _α	I544	I747	2020	S I0 E05	2 N	DKZ	
Рентгеновское излучение					M3		
I5,4 ГГц	I6I3	I6I4,3	I6I8		2,2		
8,8 ГГц	I6I3	I6I4,3	I6I9	P9	2,5		
2,8 ГГц	I520	I6I4,5	>2240		2,2		
I,4 ГГц	I657	I720,9	I730		2,8		
ДС тип IV	I700		235I		3		
ДС тип III	I7I4		I835		3		

/I38, I87/

1973 июль 29		McM	I246I	Событие 44	(000)	CFI= 11
Н _α		I3I3	I329	I5I9	N I4 E45	3B FGHSU
Рентгеновское излучение						M7
8,8 МГц	I3I7	I335,7	I527			1,8
2,7 МГц	I3I9	I333,6	I34I			2,2
I,5 ГГц	I3I2	I333,5	>I6I2	PI,5		2,4
245 МГц	I3I0	I334,8	I542			1,3
23 МГц	I32I	~I328	I356			5,4
ДС тип III	I3I7		I3I9			I
	I325		I328			3
ДС тип II	I32I		I355			2
ДС тип IV	I32I		I400			3

/I26,I99-206/

1973 сентябрь 07		McM	I2507	Событие 45	(210)	CFI= 12
Н _α		II4I	I2I2	I342	S I8w 46	2B FHLSUVWZ
Рентгеновское излучение						XI
15,4 ГГц	II55	I200,2	I22I			2,1
8,8 ГГц	II55	I200	I246			2,4
2,7 ГГц	II55	I200,I	I2I5	u0,5(I,6)2,7-5		2,5
23 МГц	II53	II56	I225			4,5
ДС тип III	II38		II4I			3
ДС тип III,у	II52		II58			2
ДС тип IV	II55		I200			3
ДС тип II	I200		I207			3

/I99,200,2II-2I3/

1974 июль 02		McM	I3043	К событию 46	(120)	
Н _α		0629	0649	0746	S I6 E23	I N EFKUZ
Рентгеновское излучение						нет данных
9,4 ГГц	0706	07I5,I	07I9	u I(I,9)/9		2,9
3 ГГц	<0645	07I5	I32I			2,7
650 МГц	070I	0708,7	07I0	P0,6		4,2
207 МГц	0708	07I5,I	0725			4,2
ДС тип IV	0602		0730			3
ДС тип III	0637		0822			3

/I35,2I6-2I8/

1974 июль 03 °		McM I3043		К событию 46		(I20)	CFI= 8
H_α		0259	0318	0412	S15 E09	IB	CDEFJFH
Рентгеновское излучение						нет данных	
9,4 ГГц		0300	0317,7	0330			2,3
3,7 ГГц		0300	0318,4	0330			2,0
200 МГц	<0300	-	>0910				1,8
ДС контин.	0000		0600				2
ДС быстродрейф.	0315		0320				2

/I35,217/

1974 июль 03 °		McM I3043		К событию 46		(I20)	CFI= 14
H_α		0801	0840	0928	S14 E08	2B	BDEFKUZ
Рентгеновское излучение						нет данных	
9,1 ГГц	0758	0836	II01		U1,5(2,8)/9		3,6
3 ГГц	0828	0836	0910				3,0
950 МГц	0826	0835,3	0857		U0,6(3,3)P0,9		3,7
234 МГц	0824	0833	II31				5,2
ДС тип III	0808		0809				3
	0826		I257				3
ДС тип IV	0826		I029				3

/216,217,219/

1974 июль 04 °		McM I3043		К событию 47		(230)	CFI= 13
H_α		0648	0654	0749	S14W05	IB	DEFHI
Рентгеновское излучение						нет данных	
9,4 ГГц	0640	0648,2	0700				3,76
3 ГГц	0640	0647,8	0940		U1(2,8)3-5/9		3,3
510 МГц	~0642	~0647	0706		P0,5		4,15
207 МГц	0647	0647,5	0700				3,86
ДС тип III,У	0641		0650				3
ДС тип IV	0643		0710				3
ДС конт.	0652		0710				2

/216-218,222,223/

1974 июль 04 •		McM I3043		К событию 47		(230)	CFI= 14
H_{α}	I338	I357	I442	S16W08		2B	DEFHMUXZ
Рентгеновское излучение						нет данных	
9,5 ГГц	I340	I353,8	I512	U2,7/7I(3,9)		3,5	
2,7 ГГц	I352	I354,3	I455			3,2	
1,4 ГГц	I352	I422	I458	PI,4		5,9	
II3 МГц	I342	I353	2012			5,3	
ДС тип III	I353		I357			3	
ДС тип IV	I353		I654			3	
ДС тип II	I359		I407			3	

/217,218,222,223/

1974 июль 05 •		McM I3043		К событиям 47,48		(230)	CFI= 11
H_{α}	I508	I515	I613	S15W23		IB	EFHUWZ
Рентгеновское излучение						X2	
8,8 ГГц	I507	I510,2	I519	U1,4(2,2)9-35\		3,4	
2,8 ГГц	I509	I510,8	I513			2,6	
245 МГц	I510	I510,4	I518			2,9	
ДС тип III,У	I510		I527			3	
ДС тип IV	I510		I709			3	
ДС конт.	I515		I830			2	
ДС тип III N	I525		2202			1	
ДС тип I N	I538		I641			1	

/217,218,222,223/

1974 июль 05 •		McM I3043		К событию 48		(230)	CFI= 14
H_{α}	2123	2143	2322	S15W26		IB	FIUVX
Рентгеновское излучение						X10	
8,8 ГГц	2130	2138,9	2205	U3,7(3,2)P9		3,65	
2,7 ГГц	2132	2138,9	2204			3,25	
606 МГц	2137	2141,9	2204	P0,6		3,9	
245 МГц	2137	2142,7	2226			4,I	
ДС тип III,У	2137		2154			3	
ДС тип IV	2137		2153			3	
ДС тип II	2147		2156			2	

/217/

1974 июль 06 •		McM I3043		К событию 49		(I00)	CFI= 11
H_α	I812	I906	2015	SI6W39	IB	DEFHIKLV	
Рентгеновское излучение					X2		
8,8 ГГц	I838	I904,7	2004	U1,4(2,1)9-35	3,2		
2,8 ГГц	I856	I905	I906		2,5		
606 МГц	I853	I903,2	2013	P0,6	3		
245 МГц	I855	I903,6	2024		2,7		
ДС тип III,у	I901		I906		3		
ДС тип III	I908		I931		3		
ДС тип IV	I901		2020		2		

/217/

1974 июль 07 •		McM I3043		К событию 49		(I00)	-
H_α	0920	IOI4	III4	SI6W47	IB	DEFIK	
Рентгеновское излучение					XI		
8,8 ГГц	IO05	IO10,3	I026		2,5		
2,7 ГГц	IO05	IO10,5	I020		2,3		
606 МГц	IO05	IO10,4	I014	U0,6/35(2,6)	I,2		
234 МГц	IO13,3	IO13,3	I013,4		2,7		
ДС тип III	[IO10,4 IO17,4		I013,4 I020,3		2 I		

/217/

1974 сентябрь 10 •		McM I3225		Событие 50		(I20)	CFI= 14
H_α	2I21	2I46	2300	N10 E6I	2B	EFUZ	
Рентгеновское излучение					X5		
15,4 ГГц	2I32	2I40	>2258	U5(2,7)P15	3,84		
8,8 ГГц	2I23	2I40,3	>2258		3,6		
2,8 ГГц	2I26	2I47	2239		3,4		
606 МГц	2I21	2I59,7	>2248	P0,6	4,5		
245 МГц	2046	2I43,4	>2258		3,6		
ДС тип IV	2I34		2258		2		
ДС тип III	2I35		2210		2		
ДС тип II	2I35		2214		2		

/I35,229,231/

1974 сентябрь 19		McM I3225		Событие 5I		(II0)	CFI= 12
H _α	2220	2240	0008	N 09W 62		2	UDEF
Рентгеновское излучение						X2	
9,4 ГГц	2224	2239,4	2300	UI,4(2,8)/9		3,5	
2,7 ГГц	2221	2240	2312			3,3	
I ГГц	2222	2235,6	2315	PI		3,1	
245 МГц	2225	2238,5	2243			3,0	
ДС тип III	2224		2255			2	
ДС тип IV	2224		2307			3	
ДС тип II	2232		2301			2	

/229/

1974 сентябрь 22		McM I3225		К событию 52		(II0)	CFI= 7
H _α	23 ^{II} <0021	-	>0045	N 13W 90		IB	D
Рентгеновское излучение						M5	
9,4 ГГц	2327	2340,3	2405	/9		3,3	
2,7 ГГц	2327	2341	2401			2,9	
I ГГц	2327	2339,3	2400			1,6	
200 МГц	2325	2331	2344			1,9	
ДС тип III	2039		2400			I	
ДС тип IV	2301		2400			3	

/229,234/

1974 сентябрь 23		McM I3225		К событию 52		(II0)	CFI= 12
H _α	<1200	-	~1206	N 07W 90		IN	A
Рентгеновское излучение						M3	
9,5 ГГц	II58	I201,3	I312	PI,4(3,3)		1,5	
2,7 ГГц	II58	I201,2	I308			2,8	
410 МГц	II59	I228,6	I337	P0,23(4,8)		3,5	
II3 МГц	I201	I204	I348			3,9	
ДС тип IV	I200		I255			3	
ДС тип III	I201		I215			3	
ДС тип II	I222		I233			3	

/229,234/

1974 ноябрь 05 •		McM I33IO		Событие 53		(I20)		CFI= 11
H _α	I529	I538	I60I	s I2w 78		IN		DE
Рентгеновское излучение						XI		
8,8 ГГц	I534	I535,4	I55I			~2,5		
2,7 ГГц	I534	I535,4	I554	U 2,7/35(3,4)		2		
410 МГц	I534	I537,2	I548	P0,4		3,4		
245 МГц	I535	I535,2	I555			3,I		
ДС тип III,У	I534		I55I			3		
ДС тип II	I536		I55I			3		
ДС тип IV	I545		I700			I		

1975 август 03 •		McM I3786		Событие 54		(O10)		CFI= 9
H	0322	0354	0458	N 06 E28		IB		EFKUZ
		0413						
Рентгеновское излучение						M4		
9,4 ГГц	0320	0350,3	0428			I,9		
2,7 ГГц	0330	0350,5	0410			I,8		
1,4 ГГц	0329	0358,9	0425			2,2		
200 МГц	0339	0352	0409			3,7		
ДС конт.	0330		0725			2		
ДС тип III	0334,5		0335,I			I		
ДС тип II	0354,5		04II			I		

1975 август 21 •		McM I38II		К событию 55		(II0)		CFI= 11
H _α	I509	I5I7	I547	N 26 w 74		IB		DEU
Рентгеновское излучение						XI		
8,8 ГГц	I5I9	I520	I527			3		
2,7 ГГц	I5I7	I5I9,7	I527	U 2,7/35(3,3)		2,2		
245 МГц	I5I8	I5I9,4	I539			3,8		
ДС тип III,У	I5I9		I524			3		
ДС тип IV	I520		I54I			3		
ДС тип II	I522		I542			3		

/236/

1975 август 22		McM I38II		К событию 56		(II0)	CFI= 11
Н _α	<0108	0118	0144	N27W8I		IB	DEH
Рентгеновское излучение							
9,4 ГГц	0115	0117,5	0126	u2,7(2,3)/9		2,8	
2,7 ГГц	0115	0117	0128			2,3	
500МГц	0116	0116,6	-			3,5	
100 МГц	0115	~0116,7	0134			>3,3	
ДС тип II	0120		0130			3	
ДС тип III	0123		0125			3	
ДС тип IV	0128		0132			2	

/237-239/

1976 март 25		McM I4I43		К событию 57		(000)	CFI= 8
Н _α	I154	I201	I229	S 06 E75		SN	FHLKW
Рентгеновское излучение							
15,4 ГГц	I150	I220,3	I250			I,8	
8,8 ГГц	I208	I220	I236			I,9	
3 ГГц	I206	I220	I254			I,95	
606 МГц	I148	I220,8	I254			I,6	
200 МГц	I145	I220,3	I250			2,4	
ДС тип IV	I140		I450			3	
ДС тип III	I222,I		I222,8			I	

/240/

1976 март 25		McM I4I43		К событию 57		(000)	CFI= 9
Н _α	I305	I325	I430	S 05 E69		IN	FHLWX
Рентгеновское излучение							
8,8 ГГц	I310	I320,5	I345			I,5	
2,7 ГГц	I308	I320,6	I352			I,9	
950 МГц	I308	I320,2	I331			2,3	
606 МГц	I259	I317	I347	P 0,6		2,9	
245 МГц	I301	I314,3	I341			I,9	
ДС тип IV	I304		I517			2	
ДС тип III	I315		I315,6			2	

/240/

1976 март 23		McM I4I43		К событию 57		(000)	CFI= 12
H _α	[0837 0839 0841 0805 E90 SB 0907 0915 0945 0907 E90 SN						
Рентгеновское излучение						XI	
8,8 ГГц	0841	0847, I	0909	u I,4(2,6)/9		3,1	
2,7 ГГц	0840	0843	0909			2,7	
1,0 ГГц	0840	0842, 5	0931	PI		3,4	
234 МГц	0841	0842	0916			4,2	
ДС тип IV	0841		0858			2	
ДС тип III	0841		0847			2	

/240/

1976 март 28		McM I4I43		Событие 58		(000)	CFI= 10
H _α	<1905 ~1921 >2017			07 E28		IB	FLUXZ
Рентгеновское излучение						XI	
15,4 ГГц	<1927	1934,2	>1958			3,4	
8,8 ГГц	1915	1934, I	2000	u I,4(2,7)P9		3,6	
2,7 ГГц	1915	1936	2002			3,3	
1,4 ГГц	1914	1927,3	2005	PI,4		3,9	
245 МГц	1914	~1951	2102			>2,8	
ДС тип IV	1917		2055			2	
ДС тип III	1919		1932			3	
ДС тип II	1921		1950			3	

/126,240,243,244/

1976 апрель 30		McM I4I79		Событие 59		(233)	CFI= 11
H _α	2047	[2059 2218 08 46 IB FUZ 2122					
Рентгеновское излучение						X2	
15,4 ГГц	2054	2108,7	2125			3,4	
8,8 ГГц	2055	2107,7	2125	u 2,8(3,2)P9		3,42	
2,8 ГГц	2101	2109	2125			3,2	
606 МГц	2056	2107	2208	P 0,6		3,5	
245 МГц	2102	2103,4	2241			2,9	
ДС тип III,У,у	2103		2107			3	
ДС тип IV	2103		2130			2	
ДС тип II	2106		2129			3	
ДС конт.	2130		2338			2	

/240,244/

1976 август 22		McM I4366		Событие 60		(II0)		CFI= 8
Н _α	<I2I7	-	>I222	s 02 w 90		SN	AB	
Рентгеновское излучение						M3		
8,8 ГГц	I200	I207,8	I232			2,I		
5 ГГц	I159	I207,4	I253	υ 0,4(I,3)P5		2,2		
2,7 ГГц	I158	I211,4	I253			2,I5		
234 МГц	<I203	I203,4	>I210			3,6		
ДС тип IV	I208		I231			3		

1977 сентябрь 07		McM I4943		Событие 61		(OIO)		CFI= 12
Н _α	2255	2315	0002	N 10 E90		IN	EHJY	
Рентгеновское излучение						X2		
15,4 ГГц	2227	2235,9	2242			3,5		
9,4 ГГц	2228	2241,3	2410	υ I,4(2,5)P9		3,66		
2,8 ГГц	2228	2259,2	2410			3,I		
606 МГц	2225	2233	2303	P 0,6		3,2		
200 МГц	2228	2232,7	2258			3,5		
ДС тип III,У	2229		2235			3		
ДС тип IV	2230		2252			3		
ДС тип II	2231		2246			3		

/246, 249-251/

1977 сентябрь 09		McM I4943		Событие 62		(OIO)		CFI= 11
Н _α	I630	I634	I703	N09 E84		IN	FIRUY	
Рентгеновское излучение						X2		
15,4 ГГц	I631	I633,6	I756	υ 0,4(I,9)P15		3,8		
8,8 ГГц	I633	I640,6	I842			3,66		
2,7 ГГц	I633	I645,2	I842			3,I		
245 МГц	I633	I634,1	I746			2,0		
ДС тип IV	I629		I738			3		
ДС тип III,У	I636		I642			3		
ДС тип II	I636		I651			3		

/246/

1977 сентябрь 16 •		McM I4943		Событие 63		(I20)	CFI= 13
H _α	2123	2141	0043	N07W20		2 N	FNUZ
Рентгеновское излучение						M5	
9,4 ГГц	2219	2308, I	2500	UI(2,8)PI, 4(3,4)		2,8	
2,7 ГГц	2220	2308	2455			3,2	
606 МГц	2225	2303,5	2330	P 0,6		3,3	
200 МГц	2224	2244	2444			2,6	
ДС тип IV	2225		2400			2	
ДС тип III	2229		2252			2	
ДС тип II	2232		2252			2	

/246/

1977 сентябрь 19 •		McM I4943		К событию 64		(23I)	CFI= 13
H _α	<0955	I038	I207	N08W57		3B	FZ
Рентгеновское излучение						X2	
15 ГГц	I010	I036,5	II09			3,4	
9,1 ГГц	I027	I036	II06	9/		3,3	
3 ГГц	I026	II01	II46	P5(3,I)		2,9	
202 ГГц	I033	I040,3	II38			2,I	
ДС тип III	I033		I048			2	
ДС тип II	I038		I044			3	
ДС тип IV	I042		II30			3	

/246,256/

1977 сентябрь 20 •		McM I4943		К событию 64		(23I)	CFI= 11
H _α	025I	0354	0847	N09W59		2 N	FI
		0615					
Рентгеновское излучение						M2	
9,4 ГГц	0250	0315,6	0440			I,7	
5 ГГц	0443	0452	0534			2,2	
2,7 ГГц	0428	0448,5	0535	P2,7		2,5	
200МГц	0247	0338,5	0507			2,4	
ДС тип IV	0250		0525			2	
ДС тип III	0303		0304			I	
ДС тип II	0315		0330			2	

/238,246,250/

1977 сентябрь 24		McM I4943		Событие 65	(I22)	CFI= 7
H_α				нет данных		
Рентгеновское излучение				нет данных		
9,4 ГГц	0554	0555	0557		0,8	
5 ГГц	0554	0555,3	0557		1,2	
2,9 ГГц	0554	0558,9	0601		1,2	
200 МГц	0553	0555	0608		3,7	
ДС тип IV	0552		0605		3	
	0554		0724		I	
ДС тип III,У	0554		0557		3	
ДС тип II	0555		0605		2	

/246,260/

1977 октябрь 12		McM I4979		Событие 66	(OIO)	CFI= 11
H_α	0150	0152	0215	N 06 w 02	IB	DFVZ
Рентгеновское излучение				XI		
9,4 ГГц	0150	0151,4	0159	U2(2,6)P9	3,3	
2,7 ГГц	0151	~0151,6	>0203		2,8	
500 МГц	0150	0153	0203		3,8	
200 МГц	0149	0152,2	0200		3,7	
ДС тип III	0150		0203		3	
ДС тип III,У	0150		0155		2	
ДС конт.	0151		0205		2	
ДС тип II	0153		0217		2	

/260,266/

1977 ноябрь 22		McM I503I		Событие 67	(233)	CFI= 12
H_α	0945	I005	II08	N 24 w 40	2B	EI
Рентгеновское излучение				XI		
9,5 ГГц	0958	I003,5	II30	U0,5(2,5)/9	3,5	
2,9 ГГц	0950	I007	I210		3,15	
II3 МГц	I001	I004	II46		4,5	
ДС тип IV	I002		II02		3	
ДС тип III	II21		II23		2	

/170,246,267,279/

1977 декабрь 27		McM	I5074	Событие 68	(000)	CFI=8
H _α	I045	II05	>II26	S 25w 79	I N	-
Рентгеновское излучение				нет	данных	
8,8 ГГц	I049	III0,6	I226		2	
3 ГГц	I057	II29	>I2I7		2,6	
1,4 ГГц	I052	II28	>I220	u 0,4(I,9)PI,4	3,I	
237 МГц	I055	II20,6	I209		I,I	
ДС тип II	I059		II09		3	
ДС тип IV	II0I		I225		2	
ДС тип III	III		III8		-	

1978 январь 01		McM	I5081,°	I5083	Событие 69	(000)	CFI=8;6
H _α	[2I45	2I53	>22I6	S 2I E06	2N	UV	
	2I47	2I55	>22I6	S 19 E28	SN	F	
Рентгеновское излучение					M3		
5 ГГц	2I44	2I56,5	2254		2,7		
2,7 ГГц	2I38	2I52	2226		2,8		
1,4 ГГц	2I37	2I49	2308		2,4		
100 МГц	<2I50	-	>2 ^{II} 0400		>3,I		
ДС тип IV	2I47		2400		2		
ДС тип III	2I47		2I49		2		
ДС тип II	2I49		22I6		2		

1978 январь 08		McM	I5081	К событию 70	(000)	CFI=10
H _α	0710	0713	0749	S 12w 85	2B	
Рентгеновское излучение					XI	
9,1 ГГц	0708	0714,6	0727	u I,4(I,8)/9	3,2	
6,1 ГГц	0703	0714	0745		2,7	
1,4 ГГц	0709	0712,6	0719		I,8	
200 МГц	0709	0711,8	0719		2,8	
ДС тип III	0708		0725		2	
ДС тип IV	0710		0739		2	
ДС тип II	0712		0735		2	

1978 январь 08 •		McM I508I		К событию 70		(000)	CFI= 12
Н _α	0205	0216	0321	S 20W 79	2N	FHJK	
		0237					
Рентгеновское излучение					M3		
8,8 ГГц	0208	0212,8	0220	P8,8	2,9		
2,9 ГГц	0205	0215	0224		>2,6		
500 МГц	0150	0213	0252	P0,5	3,6		
200 МГц	0209	0213	0229		2,7		
ДС тип III	0208		0220		3		
ДС тип IV	0208		0400		2		
ДС тип II	0210		0239		2		
					/250,282/		
1978 февраль 13 •		McM I5139		Событие 71		(330)	CFI= 12
Н _α	0115	0143	>0400	N 15W 20	2N	FHIKZ	
		0218					
Рентгеновское излучение					M7		
8,8 ГГц	<0135	0202	0235		2,5		
2,7 ГГц	<0135	0205,5	0235	U0,5(2,4)P2,7	2,87		
100 МГц	0128	0200	0528		3		
ДС тип IV	0131		0400		2		
ДС тип II	0138		0209		2		
ДС тип III	0408		0413		3		
1978 февраль 25 •		McM I5161		Событие 72		(000)	CFI= 11
Н _α	I449	I450	I512	N 19W 21	IB	FU	
Рентгеновское излучение					M4		
15,4 ГГц	I449	I450,7	I505	U2,7(2,2)/I5,4	2,52		
8,8 ГГц	I449	I450,3	I504		2,5		
2,7 ГГц	I447	I450,8	I504		2,2		
237 МГц	I452	I453,8	I515		3,9		
ДС тип III, u	I449		I453		3		
ДС тип II	I451		I524		3		
ДС тип IV	I501		I512		2		

1978 апрель 08 •		McM I522I		Событие 73		(000)	CFI= 12
H_α	0I09	0I56 0230	0445	N19WII	2B	FHJKUZ	
Рентгеновское излучение							XI
8,8 ГГц	<0I30	0228,4	0237	6-9\			2,2
2,7 ГГц	0I24	0240,8	0246				2,9
I,4 ГГц	0I24	0236,7	0302				3,8
500 МГц	0I3I	0220,4	0246				4,3
200 МГц	0I30	0220	0530				2,4
ДС тип IV	0I47		0734				2
ДС тип II	0208		0220				2
ДС тип III	0422		0434				2
ДС тип III,У	0440		0442				3

1978 апрель II •		McM I522I		Событие 74		(I20)	CFI= 13
H_α	I334	I410	>I505	N22W56		2B	EHI
Рентгеновское излучение							X2
15,4 ГГц	I340	I354,5	I539	P0,6(3,2) u I,4(2,3)/I5-35			2,9
9,4 ГГц	I342	I407,4	>I6I7	P5(3,3)9-I5\			3
2,8 ГГц	I342	I42I	I500	P2,8			3,5
410 МГц	I35I	I405,2	I53I	P0,4			3,6
245 МГц	I35I	I405	I529				2,9
ДС тип III	I332		I433				2
ДС тип IV	I349		I52I				3
ДС тип II	I359		I425				3
ДС тип III,У	I436		I450				3
							/287-289/

1978 апрель I6 °		McM I5235		К событию 75		(0IO)	CFI= 6
H_α	09I9	0920	093I	N14W22	SB	-	
Рентгеновское излучение							MI
8,8 ГГц	09I9	09I9,9	0929				2,2
3,1 ГГц	09I9	0920	0922				2,I
I,4 ГГц	09I9	0920	0925	u I,4/9			I,9
408 МГц	09I9	092I,5	0925	P(0,4)			>3,4
202 МГц	09I9	092I,5	0924				2,8
ДС тип III,У	09I9		0926				3
ДС тип II	092I		0923				3

/288/

1978 апрель 19 °		McM I5235		К событию 76		(0(I)0)	-
Н _α	I453	I458	I5I4	N17W46	SN	E	
Рентгеновское излучение					<CI		
2,8 ГГц	I453	I800	20 ^{II} 0338		I,0		
ДС тип III	I453,2		I453,5		I		
	I455,2		I456,3		I		
ДС неклас.	I459,6		I500,3		2		

1978 апрель 28 •		McM I5266		К событию 78		(230)	CFI= 18
Н _α	I304	I335	2232	N22 E38.	3B	FLTUXY	
Рентгеновское излучение					X4		
15,4 ГГц	I3I5	I329,5	I44I		3,66		
8,8 ГГц	I3II	I328,7	I443	P9	3,88		
2,7 ГГц	I308	I354,5	I448	P2,7	4,34		
245 МГц	I3I7	I322,4	I450		5,15		
ДС тип III	I3I5		I322		3		
ДС тип II	I3I5		I338		3		
ДС тип IV	I3I7		I4I6		3		

/287/

1978 апрель 29 °		McM I5266		К событию 78		(230)	CFI= 15
Н _α	<20I0	-	>22II	N20 EI4	2B	BYZ	
Рентгеновское излучение					X3		
15,4 ГГц	I856	I9I4,5	2038		3,3		
8,8 ГГц	I850	I9I4,5	2040	U2,7(3,I)P8,8	3,65		
2,7 ГГц	I852	I940	2047	P0,6(5,3)	3,65		
245 МГц	I859	I936,I	2053		4,0		
ДС тип IV	I857		2050		3		
ДС тип III	I903		2056		3		
ДС тип II	I908		I925		3		

/287/

1978 апрель 30 °		McM I5266		К событию 78		(230)	CFI= 15
Н _α	I420	I455	>I859	N28 EI4	3B	FLTUX	
Рентгеновское излучение					X2		
15,4 ГГц	I427	I446,7	I64I	U1,4(3)P5(3,4)	3		
8,8 ГГц	I4I9	I427,4	I702		3,6		
2,7 ГГц	I4I3	I446,5	I700		3,I		
606 МГц	I440	I5I9,8	I655	P0,6	4		
II3 МГц	I442	I446,5	I62I		4,4		
ДС тип III	I442		I445		3		
ДС тип IV	I443		I620		3		
ДС тип II	I446		I502		3		

/287/

1978 май 01		•	McM I5266	К событию 78	(230)	CFI= 13
H _α	<1910	-	2230	N2IwI2	2B	UXYZ
Рентгеновское излучение					M7	
15,4 ГГц	1919	1954,4	2I25		2,5	
8,8 ГГц	1917	1954	2I25	5-9\	2,9	
2,7 ГГц	1917	2015,I	2I25	P0,6(4,3)	3,3	
245 МГц	1914	1947	2I40		3,I	
ДС тип III	1932		1937		3	
ДС тип III	1942		2028		3	
ДС тип IV	1942		2I08		3	
ДС тип II	1943		1949		3	

/287/

1978 МАЙ 07		•	McM I5266	К событию 79	(234)	CFI= 13
H _α	0327		0353	N23 w72	IN	FLOZ
Рентгеновское излучение					X2	
8,8 ГГц	0322	0328,5	040I	υ0,9(2,3)P9	3,5	
2,7 ГГц	0322	0332,7	0410		2,9	
200 МГц	0327	0329	0522		4,2	
ДС тип III	0325		0710		-	
ДС тип II	0327		0355		3	
ДС тип IV	0330		0517		3	

/251,298,300-304/

1978 май II		□	McM I5266	Событие 80	(000)	CFI= 5
H _α					нет данных	
Рентгеновское излучение					нет данных	
3 ГГц	0732	0734	0739		0,7	
202 МГц	0736	0737,5	0739		3,0	
ДС тип II	[0710		0718		-	
	0735		0751		2	
ДС тип III	0738		0743		2	
ДС тип IV	0742		0806		2	

/304/

1978 май 31		McM I5314		Событие 81		(I10)	CFI= 12
H _α		I006	I048	I353	N 20W 43	3B	FILSUW
Рентгеновское излучение						M6.	
15 ГГц	I031	I032,5	I336			I,8	
9,5 ГГц	I011	I051,5	>I700			I,9	
3,1 ГГц	I005	I042,5	III0			2,I	
1,4 ГГц	I020	I057,5	III5			3,I	
228 МГц	I037	I042	II06			2,4	
ДС тип IV	I023		I535			3	
ДС тип III	I038		I040			3	
ДС тип II	I040		I053			3	

/305/

1978 июнь 22		McM I5368		К событию 82		(I20)	CFI= 11
H _α		I643	I654	>2240	N 18 E 16	2B	FLU
I745							
Рентгеновское излучение						M2	
8,8 ГГц	I852	I709	2015			I,6	
2,8 ГГц	I644	I706	I814			2,0	
1,4 ГГц	I641	I703,4	I817	u0,4(2,3)PI,4		2,7	
245 МГц	I641	I706,5	I819			2,9	
ДС тип Ш,У,У	I654		I704			3	
ДС тип IV	I658		I756			2	
ДС тип II	I704		I724			3	
	I735		I748			3	

1978 июль 10		McM I5403		К событию 83		(I20)	CFI= 15
H _α		0555	0622	0734	N 18 E 61	3B	HIJKUX
I635							
Рентгеновское излучение						X8	
9,5 ГГц	<0635	0642,5	>0740	u1,4(3)P9		>3,84	
5 ГГц	0603	0645,4	0704			3,2	
3 ГГц	<0635	0642,5	>0734			3,I	
1,4 ГГц	0605	0644,8	0715			3	
202 МГц	0612	0648,2	0700			3,2	
ДС тип IV	0613		0830			3	
ДС тип III,У	0615		0622			3	
ДС тип II	0622		0630			3	

/85,I69,306,308,311,312/

1978 июль II		McM I5403		К событию 83		(I20)	CFI= 15
H_{α}	I03I	I056	I30I	N18 E45	2B	EHIKLVMVX	
		I104					

Рентгеновское излучение				XI5
15,4 ГГц	I043	I052,1	I320	4,06
9,5 ГГц	I028	I052,5	>I310	>3,88
2,8 ГГц	I050	I052,5	I225	I,4-3/35 3,45
410 МГц	I052	I053,6	I256	5,4
245 МГц	I052	I053,3	I258	4,I
ДС тип IV	I051		I352	3
ДС тип II	I051		I059	3
ДС тип III	I053		I059	2

/85,169,306-312/

1978 сентябрь 07		McM I5518		Событие 84		(OIO)	CFI= 8
H_{α}	2330	2332	>0039	s 28w 17	IN	FDES	
		I235I					

Рентгеновское излучение				C5
2,7 ГГц	2350	2352,3	2358	I,5
1,4 ГГц	2350	2352,4	2356	I,5
500 МГц	2330	2351,6	2359	2,4
100 МГц	2334	2336	2435	3,6
ДС тип III	2228		2229	3
ДС тип II	2333		2400	3
ДС тип IV	2334		2400	3

1978 сентябрь 23		McM I5543		Событие 85		(332)	CFI= 13
H_{α}	0944	I000	I215	N 35w 50	3B	FNU	
		I207					

Рентгеновское излучение				XI
15 ГГц	I045	I007	I200	2,6
9,5 ГГц	0944	I002	I617	2,7
3 ГГц	0941	I006,2	I100	υ 0,6(2)P3 3,I
202 МГц	I000	I001,8	I002	3,2
ДС тип IV	0945		I238	3
ДС тип III	0947		0951	2
	I001		I024	2
ДС тип II	0958		I028	2

/316/

1978 октябрь 08 °	McM I5570	Событие 86	(000)	-
H _α	2007	2I03	sI3w44	SB DEF
	[2007 2055			
Рентгеновское излучение			<CI	
9,4 ГГц	1936	2028,8	2I23	I,3
2,8 ГГц	1845	2I00	>2445	I,3
ДС неклас.	2026	-		I

1978 октябрь 09 •	McM I5570	Событие 87	(000)	CFI= 9
H _α	1951	2022	2I37	sI4w6I IB FKUZ
Рентгеновское излучение			M4	
15,4 ГГц	1949	1951	2050	2,3
8,8 ГГц	1941	1951	2049	2,6
2,7 ГГц	1950	1951,2	2049	u2,7P9(2,6) 2,I
I,4 ГГц	1949	1950	2050	P1,4 3,6
245 МГц	1950	2II6	2050	3,45
ДС тип II	[1950 2012		2005 2015	2 2
ДС конт.	2011		>2I00	2
				/3I6,3I8/

1978 октябрь 16 °	McM I5598	К событию 88	(000)	CFI= 4
H _α	2I42	2I45	2I59	N32 E47 IB -
Рентгеновское излучение			MI	
9,4 ГГц	2I42	2I45,5	220I	2,5
5 ГГц	2I42	2I45,5	220I	2,7
2,8 ГГц	2I42	2I45,2	2I47 P3	2,8
500 МГц	2I44	2I45,3	2I47	I,65
ДС быстродрейф.	2I44		2I45	I

1978 октябрь 18 °	McM I5587	К событию 88	(000)	CFI= 1
H _α	0000	0004	0048	sI9w55 SB F
Рентгеновское излучение			<CI	
См. диапазон		нет всплеска		
ДС тип I _s	0000		07I7	I
ДС тип II _s	0000		07I7	-
ДС тип III	0001		0002	2
ДС тип II	0003		0012	2

1978 ноябрь IO °		McM I5643		К событию 89		(010)	CFI= 8
H _α	0048	[0122 0154	>0232	N17 E01		2N	FHIJKLUZ
Рентгеновское излучение						MI	
2,7 ГГц	0134	0139,9	0148	I,4-2,7		2	
500 МГц	0056	0151,5	0306			2,9	
ДС тип IV	0059		0716			2	
ДС тип II	0109		0128			3	

/318,319/

1978 декабрь II °		McM I5694, I5697		К событию 90		(000)	CFI= 13; 9
H _α	[1833	[1921 [1947	2157	S16 W50		2B	DEUZ
	1923	[1928 [1942	2014	S15 EI4		IB	DEUZ
Рентгеновское излучение						XI	
8,8 ГГц	1918	2005,2	>2105	υ 5(3,46)P9		3,6	
2,7 ГГц	1918	2011,5	>2105	υ 0,6(3,3)P2,7		4,4	
245 МГц	1924	2012,2	>2105			3,6	
ДС тип IV	[1941		1953			2	
	[1953		2117			3	
ДС тип III	1943		2002			3	
ДС конт.	2125		2400			I	

1978 декабрь I2 °		McM I5694, I5696		К событию 90		(000)	CFI= 8; 6
H _α	[1503	[1514 [1556	I620	S18 W6I		IB	EKUZ
	1503	[1604 [1618	I634	S 22 W14		SN	FDE
Рентгеновское излучение						X2	
15,4 ГГц	1512	I517,2	I547			2,5	
8,8 ГГц	1512	I517,2	I541	P9		2,7	
5 ГГц	1512	I517,2	I541			2,4	
2,8 ГГц	1512	I517	I527			2,3	
ДС тип III N	1501		I628			I	

1979 февраль 16 •		McM I5830		К событию 9I		(II0)	CFI= 15
H _α	0I44	0I52	0315	N16 E59	3B	EFHIJKU	
Рентгеновское излучение							X2
8,8 ГГц	0I48	0I51,6	>0I59				>2,7
5,7 ГГц	0I4I	0I51,2	0209				2,8
2,7 ГГц	0I42	0229	0356	PI,4(4,9)			4,5
200 МГц	0I48	0I50,5	0450				4,8
ДС тип III, _U	0I48		0I49				2
ДС тип III	0I53		0203				2
ДС тип II	0I49		023I				2
ДС тип IV	0I50		0328				I

/250/

1979 февраль 18 •		McM I5830		К событию 9I		(II0)	CFI= 10
H _α	0637	0644	0720	N18 E16	1B	EFK	
Рентгеновское излучение							XI
15 ГГц	0643	0645,7	0653				2,6
8,8 ГГц	0638	0645,8	0650	u0,6(I,2)P9			2,8
2,9 ГГц	0638	0648,I	0650				2,4
100 МГц	0643	0649	0657				4,5
ДС тип II	0642		0704				3
ДС тип III, _U	0650,5		070I				-

1979 март 0I •		McM I5856		Событие 92		(OIO)	CFI= 11
H _α	0955	1015	III0	S23 E58	3N	FJSU	
Рентгеновское излучение							XI
15 ГГц	1007	1017	II05				2,5
9,5 ГГц	1007	1018	II32				2,6
5 ГГц	1008	1017,7	II03	u 0,9(2)P5			2,7
2,7 ГГц	1008	1017,7	II02				2,5
100 МГц	<1005	1014,8	>104I				3,5
ДС тип III	1004		102I				2
ДС тип II	1018		1036				2

1979 март 09		McM I5874	К событию 93		(I10)	CFI= 10
H _α		0935 [0948 I025	I053	N17 E80	IN	AEK
Рентгеновское излучение					M9	
9,1 ГГц	I018	[I025,7 I051,9	II30	U0,9(2,3)P9	3,2	
2,9 ГГц	I018	I021,9	II30		2,8	
2,7 ГГц	I020	I051,2	II23	U1,4(2,5)P5(2,9)	2,8	
808 МГц	I012	I059,6	II06	P0,8	2,7	
II13 МГц	II12,6	II02,8	II07		3,4	
ДС тип III _{RS}	I020		I026		2	
ДС тип III	[I022 I013		I034 II08		3	
ДС тип IV	I021		II06		2	
ДС тип II	I027		I042		3	

1979 апрель 03		McM I5918	К событию 94		(I20)	CFI= 10
H _α		0105 [0112 0134	>0230	S 25 W14	IB	DEFILU
Рентгеновское излучение					M4	
17 ГГц	0131	0134,5	0144		2,1	
8,8 ГГц	0119	0134,5	0154		2,3	
2,7 ГГц	0107	0146	>0154	U0,6(2,4)P2,7	2,7	
100 МГц	0106	0445	>0706		2,8	
ДС тип I _S	0108		0736		I	
ДС тип III _S	0107		0147		2	
ДС тип IV	0133		0736		2	

/316/

1979 апрель 03		McM I5918	К событию 94		(I20)	CFI= 4
H _α		0417 0418	0440	S 23 W04	IB	CFIZ
Рентгеновское излучение					M4	
17 ГГц	0415	0417,3	0422		2,7	
8,8 ГГц	0416	0417,2	0426	U0,95(I,8)P9	3	
2,7 ГГц	0414	0417,3	0424		2,6	
100 МГц	0416,8	0416,9	0417,3		2,3	
ДС тип III	0422		0423		2	

/316/

1979 июнь 05		McM I605I		Событие 95		(230)	CFI=12
Н _α	0455	[0514 0729]	0838	N17 E14	2B	EFHIJKUZ	
Рентгеновское излучение						X2	
8,8 ГГц	0503	0533,7	0614	9\		3,6	
5 ГГц	0502	0533,7	0614			3,5	
2,7 ГГц	0502	0533,7	0614	/2,7		3,6	
606 МГц	0502	0517,2	0606			4,2	
200 МГц	<0505	0533,7	0537			2,8	
ДС тип IV	0509		0654			2	
ДС тип II	0514		0546			3	
ДС тип III	0529		0535			2	

1979 июль 04		McM I6I22		К событию 96		(I20)	CFI=10
Н _α	0203	0221	0320	N07 E44	2N	EFJL	
Рентгеновское излучение						M2	
I7 ГГц	0220	0346	>0900			I,3	
500 МГц	0203	0310,7	0638			2	
200 МГц	0202	0242	0540			2,3	
ДС тип IV	0218		0736			I	
ДС тип II	0218		0258			2	

1979 июль 04		McM I6I22		К событию 96		(I20)	CFI=4
Н _α	0601	0609	0647	N08 E47	IB	EL	
Рентгеновское излучение						M1	
I7 ГГц	0608,6	0608,9	06II			2,5	
8,8 ГГц	0608	0609	06II	P9		2,8	
2,9 ГГц	0608,6	0609,2	06II			2,2	
ДС тип IV	0520		0736			I	
ДС конт., I	0600		0900			-	

1979 июль 04		McM I6I22		К событию 96		(I20)	CFI=8
Н _α	1903	[1920 1942]	2110	N11 E36	IB	CEFILY	
Рентгеновское излучение						M2	
8,8 ГГц	1912	1920,2	2021			2	
5 ГГц	1911	1919,5	2021	P1,4(2,4)2,7-5		2,3	
2,7 ГГц	1910	2002,6	2029			2,5	
410 МГц	1914	1934	1956			3,8	
228 МГц	1901	1938,4	2002			2,7	
ДС тип II	<1921		1930			I	
ДС конт.	<1926		2141			3	

1979 август I3		McM I6224	К событию 98		(230)	CFI= 9
H _α	0947	I095I	III5	s 26 E90	IN	HOQ
		II07				
Рентгеновское излучение					M2	
9,1 Гц	I014	I028,8	>I234	υ 0,9(I,5)P5(3,8)	3,5	
		I057,8		υ 0,6(I,8)P5(3,7)	3,3	
2,9 Гц	I013	I028,5	>I233		3,2	
		I057,8			3,6	
100 МГц	I007	I029,6	I056		>2,8	
ДС тип Ш _н ,конт.	I006		I529		2	
ДС тип III	I026		I028		-	
ДС тип II	I030		I035		-	
					/9I,220,3I6/	

1979 август I4		McM I6224	К событию 98		(230)	CFI= 10
H _α	I240	I244	I45I	s 27 E76	IN	AЕY
		II25I				
Рентгеновское излучение					M3	
15,4 Гц	I238	I248,4	I347		3,95	
8,8 Гц	II50	I248,5	I354	P9	4,2	
2,7 Гц	II53	I25I,6	I357		3,8	
1,4 Гц	II35	I300,I	I357		4,3	
100 МГц	I242	I243,3	I258		3,9	
ДС тип Ш _н ,конт.	II55		I634		2	
ДС тип IV	II55		I4I6		3	
					/9I,220,3I6/	

1979 август I8		McM I6224, I6239	К событию 98		(230)	CFI= 10;10
H _α	I400	I402	I4II	s 25 E17	SN	EF
Рентген. излуч.	I42I	I430	I435	N08 E90	XI	
H _α	I42I	I430	I435	N08 E90	SB	A
Рентген. излуч.					X6	
15,4 Гц	I345	I424,8	I457		2,7	
9,4 Гц	I345	I4I3,5	I456	υ 0,8(2,4)/9	3,I	
2,7 Гц	I347	I425	I458	2,7-5	2,86	
234 МГц	I354	I4I5	I454		3,5	
ДС тип III	I40I		I403		2	
	I4I0		I4I2		2	
ДС тип IV	I409		I456		3	
					/9I,220,3I6/	

1979 август 20 ° McM I6239 К событию 98 (230) CF1=12

H _α	0904	0912 0916	I040	N05 E77	2B	DEFHJOPV
Рентгеновское излучение						
15 ГГц	0900	0924,1 0934	0941		3,4	
9,1 ГГц	0903	0924,6 0934	0948	u0,6(I,9)P9 u0,6(I,8)P9	3,45 3,I	
3,1 ГГц	0848	0924,5 0935	0957		2,8 2,8	
202 МГц	0918	0923,7	0938		2,5	
ДС тип IV	0911		0940		2	
ДС тип II	0915		0936		3	
ДС тип III	0916		0927		2	

/9I,220,3I6/

1979 август 21 ° McM I6218 К событию 98 (230) CF1=8

H _α	0550	0613	0658	N17W40	2B	EU
Рентгеновское излучение						
9,1 ГГц	0607	0618,4	0648		I,3	
3,1 ГГц	0610	0617,5	0627		I,6	
500 МГц	0608	0612	0658		2,5	
127 МГц	0611	0618	0622		3,I	
ДС тип IV	0607		0655		2	
ДС тип III,У	0607		0616		3	
ДС тип II	0615 0633		0633 0646		3 2	

/9I,220,3I6/

1979 август 26 ° McM I6239 К событию 98 (230) CF1=9

H _α	I615	I701 I802	2203	N05WII	2B	EFKUZ
Рентгеновское излучение						
8,8 ГГц	I640	I647,I	I744	uI,4(2,3)P9	3,2	
2,7 ГГц	I641	I647	I739		2,8	
606 МГц	I752	I757,4	I823	P0,6	4,9	
245 МГц	I647	I658	I751		2,85	

ДС тип III	I642	I658	2
	I725	I803	3
	I810	I820	1
ДС тип IV	I645	I752	2
	I753	I830	2

/91,220,316/

1979 сентябрь 08 °		McM I6271	К событию 99	(000)	CFI= 4
H _α	0644	0649	07II	s 22 w 86	IN ADJ
		0657			
Рентгеновское излучение					M2
9,1 ГГц	0647	0647,9	0654	P9	2,4
6,1 ГГц	0647	0648	0707		2
3 ГГц	0647	0648,2	0653		1,6
ДС тип III, u	0647		0648		3

1979 сентябрь 10 °		McM I6267	К событию 99	(000)	CFI= 8
H _α	05I4	05I6	0535	s 22 w 47	2B EHV
Рентгеновское излучение					MI
17 ГГц	05I6	052I,7	0542		I,3
9,1 ГГц	05I5	05I6,4	0528		I,6
5 ГГц	05I6	05I6,8	0518		I,5
3,1 ГГц	05I6	05I7	0526		I,7
200 МГц	05I5	05I6,5	052I		3
ДС тип III, u	05I5		05I8		3
ДС тип II	05I8		0543		I
ДС тип III s,w	05I8		0528		-

1979 сентябрь 14 °		McM I6279,	McM I6298,	McM I6267	К событию 100	(220)	CFI= 6
H _α	0755	080I	090I	N 07 w 08	IB	JKUW	
		08I9					
H _α	0808	08I5	0855	N 06 E 90	IN	AY	
		0835					
Рентген. изл.					X2		
H _α	0735	0740	0758	s 28 w 82	IN	DE	

9,1 Гц	0653	[0738 >I3I8		3,63
		0745 I3I8	υ0,6(I,7)/9	3,6
2,9 Гц	0653	0738 I253		3,2
2,7 Гц	0655	0745,5 083I		3,6
650 МГц	0657	0819 >I3I8		3,2
II3 МГц	0659	0928 >I4I0		3,4
ДС тип III	0654	-		-
ДС тип IV	[0700	0805		3
	0815	II5I		3
ДС тип II	0700	075I		3
ДС тип III,У	[0719	0722		3
	0738	0753		2

1979 ноябрь 15 •		НР. I64I9A		К событию	IOI	(I20)	CFI= 9
H _α	2I22	[2I40	2340	N 29w35		2B	FНИК
Рентгеновское излучение							
I5 Гц	2I40	2I5I,3	2204			2,2	
9,4 Гц	[2I39	2I5I,2	2I54			2,6	
	2I32	2I55	2215			2,4	
2,7 Гц	2I39	2I5I,8	2210	υ0,2(2)P2,7		3	
100 МГц	2I39	2I47,4	233I			2,7	
ДС тип IV	2I45		2235			I	
ДС тип II	[2I47		2205			I	
	2229		2250			3	
ДС тип III,У	2226		2229			2	

1979 ноябрь 15 •		НР. I642I		К событию	IOI	(I20)	CFI= 6
H _α	202I	[2023	2I42	N 10w14		IB	CDEFI
Рентгеновское излучение							
9,4 Гц	202I	2024,6	2026			1,9	
2,8 Гц	202I	2025	2028			2,2	
ДС тип У	202I		2026			2	
ДС тип III	202I		2043			3	

1979 ноябрь 21		нр	I64I9A	Событие I02	(000)	-
Н _α				нет данных		
Рентгеновское излучение				нет данных		
8,8 Гц	0654	0654,7	0658		1,9	
5 Гц	0650	0654,6	0658		2,0	
2,7 Гц	0651	0654,5	0700		1,9	
100 МГц	0651	0655,7	0705		3,0	
ДС тип III	0637		-		-	
ДС тип II	0650		0713		2	

Часть III

McM I0542 MI557-15 №16 26,6 янв. 1970 MW17705,04,698
СД36,37,32 R5674,75,72

28.01.1913, 31.01.1512 № 295

Новая Быстрое развитие группы пятен после 25.01 от δ к ϵ
за счет появления малых пятен и пор в ведомой части, ко-
торые к 28.01 слились в большое, но неустойчивое ведо-
мое пятно с " δ "-конфигурацией; " δ "-конфигурация 26.01
и 28.01-31.01. Всего вспышек 95($I_4 + I_{13}$).

ПМ	Ca - / -	пятна	[261/59/II9/37 200/- /I09/25 I91/- /I34/5]	D(D)	$\beta\gamma$
28.01	Ca - / -	пятна	[960/- /320/40 R 617/251/- /I5]	E(E)	δ
31.01	Ca 5I00/3,5	пятна	[I245/- /645/12 94/- /94/I 200/- /I86/2]	- (F) - (G) - (G)	$\beta\gamma$ $\alpha\gamma$ $\alpha\gamma$

/II,I7/

McM I0595 MI558-21 №16 27 февр. 1970 MW17759 СД87 R 5720
6.03.0931 № 238

2 оборот Возвращение McM I0549 и I0561; до ПМ сложная группа
класса ϵ ; с 27.02 перестройка ведомой части группы и
к 2.03 образование большого пятна η полярности с боль-
шим количеством ядер; " δ "-конфигурация 22.02-24.02.
Всего вспышек II2($I_3 + I_{17}$).

ПМ	Ca 4I00/3,5	пятна	544/- /I23/34	E(D)
24.02	Ca 4I00/3,5	пятна	[737/- /357/35 R 595/224/- /I9]	E(E) δ
02.03	Ca - / -	пятна	[548/- /443/I7 R 374/87/- /2I]	H(C)

/II,I7/

McM I0614 MI558-35 N10 7,6 марта 1970 MWI7770 СД100 R5727

7.03.0138

L123

4 оборот Возвращение части McM I0567; 7.03 появление новой группы пятен на месте лидирующего пятна старой; пятна новой и старой групп неразличимы на следующий день; максимум развития небольшой группы класса D 9.03; пятна исчезли 12.03; "δ"-конфигурация 9.03; по /8/ вспышка в "беспятенной" активной области. Всего вспышек 28($I_1 + I_1$).

ЩМ Ca 2800/3,0 пятна 48/- /23/I3] C(C) βγ
R 25/II/- /7]

9.03 Ca 2400/3,0 пятна 199/- /I66/7] C(D) δ
R II5/44/- /8]

/II, I7, 58/

McM I0641 MI559-19 N15 25,4 марта 1970 MWI7793 СД137 R5749

25.03.1202, 29.03.0032 L238

2 и 3 обороты Возвращение McM I0595, I0592 и I0613; комплекс групп пятен с различным развитием его частей; с 23.03 новый рост в пределах координат протонной области предыдущего оборота; особенности основной группы пятен: обращенная полярность, малый замкнутый участок нейтральной линии магнитного поля вокруг ведомого пятна; после 21.03 C-D-E; с 27.03 довольно быстрая деградация всех групп комплекса; "δ"-конфигурация 21.03 и 26.03. Всего вспышек 92($I_6 + I_{21}$).

ЩМ Ca 8800/3,5 пятна 334/-/215/20 E(D) βγ
29.03 Ca 8700/3,0 пятна 250/-/I50/I3 -

/II, I7/

McM I0808 MI562-47 N 22 30,0 июня 1970 MWI7989 СД309 R5844

7.07.1648

L40

Новая Образовалась на невидимой полусфере; очень растянутая по долготе группа пятен с максимумом развития до ЩМ; затем постепенная деградация за счет распада ведомой части; "δ"-конфигурация 27.06-29.06. Всего вспышек II7($I_2 + I_{13}$).

ЩМ Ca 3700/3,5 пятна 560/ - /252/26] F(F) γ
R 332/I36/ - /23]

28.06 Ca 3600/3,0 пятна 830/ - /3I4/I7 - (F) δ

/II, I7/

McM I0845 MI563-37 N 08 24.2 июль 1970 MwI8028 СД346 R 5860
23.07.1831 L 93

2 и 3 Возвращение McM I0801 и части I0803; большая активная
обороты область с ярким флоккулом; группа пятен класса Е с "δ"
-конфигурацией в большом лидирующем пятне компактной
формы с большим числом ядер 19.07-20.07 и 24.07-27.07;
с 27.07 быстрое уменьшение площади. Всего вспышек
I79(2₂ + I₁₉).

ШМ Ca 7600/3,5 пятна 815/-/304/47 Е(Е) δ
23.07 Ca 7500/3,5 пятна I065/-/381/44 ~ (E) β γ
/II,I7/

McM I0882 MI564-32 N 08 20.I авг. 1970 MwI8064 СД375 R 5883
I2.08.2021, I4.08.1603 L 97

3 оборот Возвращение McM I0845; группа пятен класса Н с макси-
мальным развитием у восточного лимба; до 20.08 обращен-
ная полярность; большое и сложное пятно с "δ"-конфигу-
рацией I4.08-I6.08, лидирующие пятна малы и неустойчивы
и 20.08 окончательно исчезли, полярность стала правиль-
ной. Всего вспышек 89(2₁ + I₅).

ШМ Ca 3800/3,0 пятна 500/-/435/7] H(c) γ
R 334/88/ - /5]
I4.08 Ca 3000/3,5 пятна 748/-/650/3 ~ (H) δ
/II,I7/

McM II019 MI567-32 S 12 7,7 нояб. 1970 MwI8194,197
СД482,483 R 5964,65

5.II,0308 L 124

2 оборот Возвращение McM I0982; комплекс из двух небольших групп
пятен разнесенных по широте; флоккул большой и яркий
в течение всего времени прохождения по диску; быстрое
уменьшение площади и числа пятен после 8.II, полное ис-
чезновение II.08; до 4.II - (D+D). Всего вспышек
54(3₁ + I₁).

ШМ Ca 6100/3,0 пятна I30/-/20/10 ~ (C+D) -
5.II Ca - / - пятна [74/-/31/8 G+D(B+B) -
43/-/20/6]

/II,I7,77/

McM II073 MI568-44 N 15 II.9 дек. 1970 MW18235 СД527 R 5998
II.12.2205 L 34

2 оборот Возвращение McM II029; максимум развития до 9.I2, затем постепенное уменьшение площади; "δ"-конфигурация 6.I2, 9.I2-15.I2. Всего вспышек 83($I_2 + I_7$).

ПЦМ Ca - / - пятна 420/I43/I77/33 E+E(E+H) δ
9.I2 Ca 7000/3,5 пятна 1013/-/281/30] E+D(E+H) β
R 573/I51/-/30]

/II,I7/

McM II077 MI568-47 N 14 14,8 дек. 1970 MW18238,239
СД528,529 R 5999

II.12.2236, I2.I2.0903 L 4

2 и 3 Возвращение McM II035; комплекс из двух близко расположенных небольших групп пятен; у южной группы сложное неправильной формы лидирующее пятно, за которым следуют много неустойчивых пятен и пор, быстрый распад после 13.I2 и исчезновение 18.I2; "δ"-конфигурация 10.I2-12.I2. Всего вспышек II0(I_{10}).

ПЦМ Ca - / - пятна 185*/-/79*/26* - αp+β
II.I2 Ca - / - пятна 668*/-/256*/22* - β
I2.I2 Ca - / - пятна 318*/-/86*/24* H+E(A+A)β+αp

* сумма СД528 и 529

/II,I7/

McM III28 MI570-22 N 18 21,3 янв. 1971 MW18281,284 СД7,20
R 6031,32

24.01.2215 L 223

Новая Образовалась на невидимой полусфере; долготный комплекс из двух взаимодействующих групп пятен, восточная из которых образовалась 19.01 прямо на границе развитой группы пятен класса ε; за день до протонного события отмечен поворот лидирующего и хвостового пятна новой группы на 90°; 24.01 произошло слияние хвостового пятна западной и лидера восточной группы; "δ"-конфигурация 18.01. Всего вспышек I50($3_I + 2_I + I_I$).

ПЦМ Ca 6000/3,5 пятна [I025/-/416/55 E+D(E+D)βp+βp
I55/-/71/20
24.01 Ca 5800/3,5 пятна [957/314/342/33 E+D(D+D) β+βp
424/-/266/9]

/II,I7,89/

McM II22I MI572-40 S I8 31,6 март 1971 MW I8379 СДI27, I28
R 6082

I.04, I300, 6.04.0936 L33

Новая Образовалась на видимой полусфере близ восточного лимба 25.03; небольшой, но очень яркий флоккул; два больших симметричных пятна противоположной полярности располагались вдоль меридиана на расстоянии в 4° ; северное пятно ведомой (S) полярности окружено волокном в течение всего времени прохождения по диску; максимум развития I.04; "δ"-конфигурация 31.03 и 2.04. Всего вспышек I36($I_2 + 5_1$).

III Ca 2500/3,0 пятна 455/98/420/I5 D(D) δ
I.04 Ca 2400/3,0 пятна 448/- /258/I6 D(D) γ
/II,I7/

McM II294 MI574-38 N I4 6,9 мая 1971 MW I8418 СДI80 R 6II5
I6.05, I236, 2c за W-лимбом L 268

2 оборот Возвращение McM II234; 2.05 образование группы пятен близ восточного лимба; быстрый рост площади и числа пятен; максимальное развитие 8.05 как группы класса E; "δ"-конфигурация 6.05-10.05. Всего вспышек I35(I_9).
III Ca 3400/3,5 пятна 755/237/244/38 E(-) δ
8.05 Ca 3200/3,0 пятна I285/247/573/I7 E(E) δ
/II,I7/

McM III482 MI578-I0 S I2 23,8 авг. 1971 MW I8538 СД304 R 6205
I.09, I934, 1.5c за W-лимбом L 270

2 оборот Возвращение McM III445; большой и яркий флоккул с одной из самых больших групп пятен в 20 цикле; лидирующая и ведомая части разворачивались в разные стороны; отмечено прохождение небольшого пятна через основное пятно лидера, оба пятна были одной полярности; максимальное развитие 22.08; "δ"-конфигурация I9.08-21.08, 23.08 и 25.08. Всего вспышек 306($2_3 + I_{23}$), все вспышки балла 2 произошли 30.08.
III Ca 4800/3,5 пятна I687/513/I030/I52 F(F) δ
22.08 Ca 4700/3,0 пятна I868/- /I080/88 F(-) βρ
/II,I7,78/

McM II537 MI579-25 N12 4,4 окт. 1971 MW I8575 СД335 R 6226

3.IO.I330

L 76

Новая Образовалась на невидимой полусфере; до 2.IO простая группа пятен класса с большим лидирующим пятном и с необычно большим углом наклона оси группы к экватору; 2.IO в ведомой части появляется новая группа пятен (СД340), их взаимодействие, возможно, и привело к протонному событию; максимум развития у восточного лимба (класс в). Всего вспышек 35($I_1 + I_1$).

III Ca 3000/3,5 пятна 306/- /276/I7 H(c) βр
3.IO Ca 3000/4,5 пятна 302/- /218/I4 G(-) βр
29.09 Ca 2500/3,5 пятна 793/- /412/I7 -(D+H) δ
/II,I7/

McM II656 MI582-26 S12 22,8 дек. 1971 MW I8663 СД413 R 6280

I4,I2.0240, I,5c за Е-лимбом L II0

Новая Образовалась на невидимой полусфере; максимум развития у восточного лимба; после I9.I2 постепенное уменьшение площади и числа пятен. Всего вспышек 58(I_3).

III Ca 2500/3,0 пятна 479/- /341/20 G(EAO) -
I9.I2 Ca - / - пятна 770/- /340/39 E(EAO) βр
/II,I7,II09/

McM II769 MI585-I9 S08 8, I март 1972 MW I8748 СД67 -

5.03.0807 L I9I

3 оборот Возвращение McM II724; яркий и протяженный флоккул с очень протяженной по долготе (20°) и сложной группой пятен класса F; с севера и юга лидирующего пятна "острова" противоположной полярности; максимум развития у восточного лимба 2.03; основное энерговыделение 5.03-7.03; "δ"-конфигурация 7.03. Всего вспышек 155(I_5).

III Ca 4500/3,5 пятна II60/- /805/80 F(FKI) βγ
2.03 Ca 3500/3,5 пятна I538/- /816/30 E(FHI) βρ
5.03 Ca 4500/3,5 пятна 982/- /580/71 -(FKI) βγ
/II,I7,II3/

McM II895 MI588-24 N08 30.8 май 1972 MW I8839 СД146 R 6295

28.05.1310, 8.06 2c за w-лимб. L 165

2 оборот Возвращение McM II858; очень яркий флоккул с большой сложной группой пятен класса D с обращенной полярностью: лидер располагался на большей широте, чем ведомое пятно, т.е. наблюдался отрицательный угол наклона оси группы к экватору; максимальное развитие около 25.05; "δ" - конфигурация 25.05-5.06. Всего вспышек 76($I_2 + I_9$).

ЦМ	Ca - / -	пятна	733/- /401/34 R 502/I22/- /20	G+D(ЕН) δ
25.05	Ca 2400/3,5	пятна	I090/- /602/I2 R 771/303/- /8	E (ЕКО) βр
28.05	Ca 3000/5,0	пятна	590/- /277/37	- (-) δ
29.05	Ca 3000/4,0	пятна	565/- /262/29 R 447/I67/- /II	G+D(FKC) δ

/II, I7, I2I/

McM II976 MI590-42 N12 4,5 авг. 1972 MW I8935 СД223 R 6347

2.08.0316, I839, I958; 4.08.0617; L10 7.08. I200, I449; II.08. I2I7

2 оборот Возвращение McM II957 и II947; большой и очень яркий флоккул, в котором локализовалось очень большое и сложное пятно с обращенной ведущей полярностью; большие сдвиговые собственные движения вихревого типа ядер в пятне вдоль нейтральной линии; высокая вспышечная активность как за восточным, так и за западным лимбом; "δ" - конфигурация 29.07-10.08. Всего вспышек I07($I_3 + I_1 + I_{10}$)

ЦМ	Ca 5I00/3,5	пятна	I276/- /I227/48	H(FKC) δ
2.08	Ca - / -	пятна	II92/252/I136/40	H(EKC) δ
7.08	Ca 5800/4,0	пятна	I332/343/I285/33	H(EKC) δ

/II, I7, I2I, I24, I27, I34, I35, I37, I39, I4I, I42, I43, I54, I55, I57, I58,
I70, I72, I82, I83/

McM I2094 MI594-07 s I3 30 окт. 1972 mw I9026 СД36I R6410

29.10.1544, 30.10.0722

L313

2 оборот Возвращение McM I2062 ; одна из самых больших групп пятен в 20 цикле с очень большим и сложным лидирующим пятном ; максимум развития 30.10 ; " δ "-конфигурация 24.10-02.II ; большая активность типа выбросов к западу и северу от лидирующего пятна. Всего вспышек 206($I_1 + I_{24}$).

ПЦМ	/ Ca 6000/4,0	пятна	2160/- /1090/9I	F(-)	δ
29.10	Ca 6000/4,0	пятна	2043/- /830/I05	- (-)	δ
31.10	Ca - / -	пятна	2000/395/908/66	F(EKC)	δ

/II, I7, I87/

McM I2306 MI600-05 s 08 10,9 апр. 1973 mw I9151 СД76 R649I

II.04.1838

L324

Новая Образовалась на диске 6.04 ; быстрое развитие в группу пятен класса E к 9.04 ; с 9.04 по 12.04 очень обширный флоккул общий с активной областью на западе McM I2300, затем собственный флоккул уярчается и отделяется от западной области ; " δ "-конфигурация I6.04. Всего вспышек I26(I_6).

ПЦМ	/ Ca 3000/4,0	пятна	602/- /I46/56] R523/I45/- /36]	E(DKI)	βγ
II.04	Ca 3000/4,0	пятна	428/- /7I/56	E(DKI)	β

/II, I7/

McM I2322 MI600-I3, I5 n 08 24,2 апр. 1973 mw I9158 СД83 R6493

29.04.2056

L149

3 оборот Возвращение McM I2280 ; очень яркий флоккул со сложной группой класса E с обращенной полярностью ; до 26.04 по-видимому, можно рассматривать как комплекс взаимодействующих, частично перекрывающихся двух биполярных групп пятен ; с 26.04 вторая фаза развития с максимумом 29.04, во время которой группа развилась в большое сложное пятно класса H ; " δ "-конфигурация 22.04-23.04, 26.04-30.04. Всего вспышек 102($I_1 + I_2$).

ПЦМ	/ Ca 2700/3,5	пятна	402/- /99/40	-(DAI)	βγ
26.04	Ca 2500/3,5	пятна	246/70/68/32	E(DAI)	δ
29.04	Ca 3000/4,0	пятна	I000/- /943/15	H(DKC)	δ

/II, I7/

McM I2461 MI604-8,7 N13 1,9 авг. 1973 MWI9231 - -
29.07.I313 L 270

3 оборот Возвращение McM I2417 ; в течение всего времени прохождения по диску не было пятен ; вспышке предшествовало исчезновение волокна. Всего вспышек $I_2(3_1 + I_2)$.

ПЦМ Ca 2000/2,5 пятна - -
29.07 Ca 2000/2,5 пятна - - α_p

/II, I7, I97, I99, 201, 202/

McM I2507 MI605-I9 S15 4,0 сен. 1973 MWI9246 СД162 R 6538
7.09.II41 L 193

3 оборот Возвращение McM I2472 ; большой и очень яркий флоккул с группой пятен магнитного класса β ; максимальное развитие у восточного лимба 30.08 : до 04.09 - E, после Н. Всего вспышек $35(2_1)$.

ПЦМ Ca 3200/3,5 пятна 485/ - /277/24 G(DK1) β_P
30.08 Ca 3000/4,0 пятна 802/ - /442/9 E(DK1) β_P
7.09 Ca 3000/5,0 пятна 286/91/253/9 H(СКО) β_P

/II, I7, 212/

McM I3043 MI616-II S15 4, I июль 1974 MWI9427 СД96 R 6632
2.07.0629; 3.07.0259, 0801 ; L 156 4.07.0648, I338 ;
5.07.I508, 2123 ; 6.07.I812 ; 7.07.0920

2 оборот Возвращение McM I2977 ; 29.07 появление новой группы пятен севернее одиночного старого пятна и образование комплекса ; очень быстрое развитие в группу класса F к 02.07 со сложным ведомым пятном, в котором отмечались быстрые собственные движения ядер ; "δ"-конфигурация 30.06-09.07 ; одна из самых вспышечно-активных групп пятен в 20 цикле. Всего вспышек $234(2_5 + I_{31})$.

ПЦМ Ca 4500/4,0 пятна 1234/ - /741/46 F(FKC) δ
2.07 Ca 4200/3,5 пятна 867/ - /496/43 F(EKI) δ
3.07 Ca 4300/3,5 пятна 1230/ - /770/68 F(FKC) δ
5.07 Ca 5000/3,5 пятна 1334/ - /480/50] F(FKC) δ
R 1095/469/ - /42]
6.07 Ca 5000/3,5 пятна 1217/ - /525/56 E(EKC) δ
7.07 Ca 5300/3,5 пятна 1014/ - /312/46 E(EKC) δ

/II, I7, I35, 215, 219, 222, 224, 225, 226/

McM I3225 MI619-8 N 8 15,3 сен. 1974 mw I9469 СД13I Р 6657
 10.09.2121 ; 19.09.2220 ; L268 23.09.<0021,<1200 ;
 24.09.0403

Новая Вышла из-за восточного лимба полностью сформировавшейся:
 большое сложное пятно класса E с максимумом развития
 II.09 ; "δ"-конфигурация 9.09-18.09. Всего вспышек
 I34(2₃+I₂₂).
 ПЦМ Ca 2700/3,5 пятна 767/- /5II/22 E(DKC) δ
 10.09 Ca 3000/4,0 пятна 840/- /747/6 E(DKC) δ
 II.09 Ca 3000/4,0 пятна 1247/- /800/6] E(DKC) δ
 R 1008/292/- /8
 19.09 Ca 3400/4,0 пятна 770/2I8/5I0/20 E(DKI) δ
 /II,I7,I35,23I,234/

McM I3310 MI620-19 N 7 31,2 окт. 1974 mw I9497 СД159 Р 6672
 5.II.1529 L 2I

2 оборот Возвращение McM I3263 ; небольшая группа пятен после вы-
 хода из-за восточного лимба постепенно распадалась ;
 вспышка 5.II произошла в практически "беспятенной" обла-
 сти. Всего вспышек 24(I₆), причем I7(I₆) осуществились
 5.II-6.II
 ПЦМ Ca 1300/2,5 пятна 104/33/104/2 яд. ј(HSX) αρ
 05.II Ca - / - пятна - / - / - -(DSI) β
 /II/

McM I3786 MI63I-2 N 05 5,4 авг. 1975 mw I9596 СД64 Р 6725
 3.08.0322 L 3I3

3 оборот Возвращение McM I3750 ; большой и яркий флоккул с группой
 пятен класса E, в которой пятна ведомой полярности рас-
 полагались севернее пятен ведущей ; с 3.08 на 4.08 резкая
 перестройка структуры группы ; "δ"-конфигурация 2.08 -
 8.08. Всего вспышек I30(I₄), I_F = 445.14
 ПЦМ Ca 3800/3,5 пятна 537/- /I66/24] E(DAC) δ
 R 637/I83/- /I8
 3.08 Ca 3500/3,5 пятна 739/- /I97/36 E(DKI) δ
 /II/

McM I38II MI63I-14 № 26 16,0 авг. 1975 mwI9606 СД70 R 6729
21.08.1509 ; 22.08.<10108 L 167

Новая Образовалась 19.08 на w 40, первая вспышечно-активная
область 2I цикла; небольшой, но яркий флоккул с группой
 пятен обращенной полярности; две цепочки пор разной по-
лярности, вытянутых по меридиану. Всего вспышек 26(I₈),
 из которых I5(I₇) осуществились 22.08, I_F = 51.09

20.08 Ca 300/3,0 пятна 73/- /18/6 A(CS1) β p
21.08 Ca - / - пятна 83/- /26/I0] C(CRO) α p
R 164/65/- /3]

/II, 237/

McM I4I43 MI639-I2 №08 30,9 мар. 1976 mwI9669 СД16 R 6751
23.03.0837 ; 25.03.II54, I305 ; L 44 28.03.<1905

2 оборот Возвращение McM I4I18, которая образовалась на видимой
полусфере 6.03; очень яркий флоккул с большим и сложным
пятном класса Н обращенной полярности; основная вспышеч-
ная активность на восточном лимбе; "δ"-конфигурация
25.03 - 3.04. Всего вспышек 99(I₄), I_F = 316.87

ПЦМ Ca 2700/3,5 пятна 840/- /793/I4] H(DKC) δ
R 579/193/- /16]
25.03 Ca 2500/3,5 пятна 587/238/323/I6 H(DKC) δ
28.03 Ca 3000/3,5 пятна 797/- /414/39 - (DKC) δ

/II, 244/

McM I4I79 MI640-I7 №08 27,2 апр. 1976 mwI9677, 80 СД24
R6758

30.04.2047 L 42

3 оборот Возвращение McM I4I43; флоккул средних размеров, но
достаточно яркий; до 27.04 униполярное пятно S полярно-
сти; 29.04 к северу от пятна появилась новая биполярная
группа пятен с обращенной полярностью; максимальное раз-
витие 30.04-I.05; после I.05 резкое уменьшение площади;
"δ"-конфигурация 30.04-I.05. Всего вспышек 22(I₁);
I_F = 85.54

ПЦМ Ca 1400/2,5 пятна 214/32/200/5 A+J(CSO) αf+β
30.04 Ca 2000/4,0 пятна 535/- /I63/32] E+J(DSC) αf+δ
R 338/I09/- /18]

/II, 244/

McM I4366 MI644-I0 s 02 15,8 авг. I976 mw I9710 СД49 R 6775
22.08<12I7 l 20

Новая Образовалась на видимой полусфере в центре диска ; к
I8.08 достигла максимума развития ; после I8.08 уменьше-
ние площади и числа пятен. Всего вспышек I6, $I_F = 36.48$
ПЦМ Ca 500/3,0 пятна - - (BHO) -
I8.08 Ca I200/4,0 пятна 232/96/I07/I7 D (DRI) β^f
/II/

McM I4943 MI659-I0 n 08 15,6 сен. I977 mw I9849 СД99 R 6857
7.09.2255, 9.09. I630, I6.09.2I23 l 198 19.09.<0955,
24.09. 2c за w -лимбом

Новая Образовалась на невидимой полусфере, где и начала мощ-
ную вспышечную активность ; вместе с McM I4942 представ-
ляет собой типичный пример широтного комплекса активных
областей ; большой и очень яркий флоккул со сложной группой
пятен класса F ; максимальное развитие при выходе
из-за восточного лимба, второй максимум I8.09 ; "δ"-
конфигурация 9.09-I6.09, I8.09, 20.09. Всего вспышек
84($3_I + 2_2 + I_6$), $I_F = 2938.14$
ПЦМ Ca - / - пятна 704/I9I/268/29 F(ЕКС) δ
I0.09 Ca 4300/4,0 пятна II3I/ - /665/9] F(ЕКС) δ
R 953/2I7/ - /14]
I6.09 Ca 4800/3,5 пятна 773/ - /26I/47 F(ЕКС) δ
I9.09 Ca 5000/3,0 пятна 637/ - /253/24 ~ (DKC) β^P
/II, 246, 260/

McM I4979 MI660-I3 n I2 12,3 окт. I977 mw I9864 СДИ3 R 6869
12.I0.0150 l 203

2 оборот Возвращение McM I4943 и I4942 ; комплекс активных областей с очень обширным и ярким общим флоккулом, содержащим сложную группу пятен ; максимальное развитие у восточного лимба с последующим уменьшением площади пятен ; I6.I0 пятна исчезли ; "δ"-конфигурация 7.I0-I3.I0.
Всего вспышек 67(I_2), $I_F = 280.58$
ПЦМ Ca 7500/3,5 пятна I45/ - /82/32 E(DAI) δ
08.I0 Ca 8000/3,5 пятна 556/ - /I46/I7] F(DAI) δ
R 434/I39/ - /18]

/II/

McM I503I MI66I-30 N25 19,3 нояб. 1977 mw I9894 СДI43 R 6894

22.II.0945

L 62

Новая Образовалась на видимой полусфере 12.II, первые пятна с 15.II; с 17.II быстрый рост числа и площади пятен и 18.II максимальное развитие; после 22.II быстрый распад; на следующем обороте из-за восточного лимба не вышла; "δ"-конфигурация 18.II-21.II. Всего вспышек 23($I_2 + I_1$).
 $I_F = 231.75$

ПЦМ	Ca I800/3,5	пятна	610/- /416/22	F(-)	δ*
18.II	Ca - / -	пятна	626/- /570/I0	F(DAC)	δ*
22.II	Ca - / -	пятна	209/- /104/20	- (-)	γ*

* магнитный класс определен из СД

/II,246/

McM I5074 MI663-0I s 28 21,6 дек. 1977 mw I9918 СДI65 R 6915

27.12.1045

L 357

Новая Образовалась на видимой полусфере 22.I2; с 24.I2 по 26.I2 удваивала площадь; максимум развития 27.I2; основное энерговыделение с 25.I2. Всего вспышек 4I(I_5), из них 38(I_5) 25.I2-27.I2; $I_F = 78.39$
26.I2 Ca I200/3,5 пятна 362/- /144/5 -(DAI) δ
/II/

McM I508I MI663-06 s I6 2,2 янв. 1978 mw I9923 СДI68 R 6919

1.0I.2145 ; 8.0I.0205,0710 L 204

3 оборот Возвращение McM I5049; два периода вспышечной активности связаны с принципиальной перестройкой структуры группы пятен класса Н; первый (до 1.0I) связан с динамикой пор ведомой полярности, следующих за лидирующим пятном; после 1.0I – униполярное пятно с постепенным уменьшением площади и распадом ядер; с 6.0I новый импульс развития лидирующего пятна; "δ"-конфигурация 7.0I-8.0I. Всего вспышек 79($I_3 + I_{10}$). $I_F = 875.78$

ПЦМ	Ca 2I00/3,0	пятна	185/- /185/I	н(CSO)	αP
0I.0I	Ca - / -	пятна	299/- /244/8	н(-)	-
07.0I	Ca - / -	пятна	298/- /298/6яд. н(CAO)		δ

/II/

McM I5I39 MI664-27 N 17 II, 9 февр. 1978 mw I9952 СД28 R 6953

13.02.0115

l 28

Новая Образовалась на невидимой полусфере ; продолжала развитие после выхода на диск ; наибольшего развития достигла к I3.II ; н-е-ф с I0.02 ; "δ"-конфигурация в лидирующим пятне 6.02, 8.02-9.02, 12.02-18.02. Всего вспышек 205($I_2 + I_4$). $I_F = 1643,35$

ПЦМ	Ca 4700/4,0	пятна	1534/435/547/63	F(~)
I3.02	Ca - / -	пятна	2231/ - /1412/69	F(FKC) δ
I5.02	Ca 5000/3,5	пятна	2121/575/I456/40	F(FAI) δ

/II/

McM I5I61 MI665-I6 N 23 24,6 фев. 1978 mw I9959,962 СД36

R 6960

25.02.1449

l 22I

3 оборот Возвращение McM I5I23 ; очень растянутая по долготе группа мелких пятен и пор биполярной структуры ; 25.02-26.02 новый импульс развития: группу можно рассматривать как совокупность двух биполярных групп с четко выраженной лидирующей полярностью ; после 26.02 снова биполярная группа. Всего вспышек 67(I_5)

ПЦМ	Ca 3600/3,5	пятна	295/ - /74/22	- (FSI)	β + αρ
25.02	Ca 3600/3,5	пятна	329/ - /120/33	- (FSI)	β f + β

/III/

McM I522I MI666-54,55 N 2I 7,3 апр. 1978 mw I9991,992 СД75

R 6990

8.04.0109, II.04.1334 l 30 16.04.2c за w-лимбом

3 оборот Возвращение McM I5I75 ; в первом обороте McM I5I39 ; первый максимум по площади пятен 4.04-5.04 ; второй - перед заходом за западный лимб ; с 8.04 развал хвостового пятна (до этого наибольшего) ; "δ"-конфигурация 7, II-I2.04.

Всего вспышек 95($I_2 + I_4$) $I_F = 899,56$

ПЦМ	Ca 5000/3,5	пятна	622/ - /340/29	E(-)	β
08.04	Ca 5000/3,0	пятна	746/ - /272/35	E(-)	β
II.04	Ca 4500/3,5	пятна	408/ - /324/7	H(-)	δ

/II, 288/

McM I5266 MI667-50,5I,49 N 23 1,8 май 1978 mw 200I8,I9,20
СДI04,I05 R 7008,09

28.04.I304, 29.04.2010, 30.04.I420 L 68 I.05. 19I0, 7.05.0327

4 и I Возвращение McM I52I4 ; один из самых мощных в 2I цикле
обороты комплекс активных областей из двух групп пятен, следующих
одна за другой и развивающихся синхронно ; западная группа
класса F большая и сложная с "δ"-конфигурацией в большом
лидирующем пятне ; максимальное развитие 29.04-30.04 ;
с 2.05 некоторое упрощение структуры и уменьшение площади
пятен ; с 5.05 новый импульс развития ; "δ"-конфигурация
28.04-7.05. Всего вспышек I58(3₂+2₄+1₂₀)

ПЦМ	Ca I2000/3,5	пятна	I440/- /356/56 369/- /304/23	- (EKS)	γ + β
28.04	Ca II500/3,5	пятна	I357/- /412/34 588/- /442/I5	- (-)	δ
29.04	Ca I2000/3,5	пятна	I728/- /618/53 534/- /374/28	F(-)	(βρ)
4.05	Ca I2300/3,5	пятна	I158/- /714/32 238/- /92/I7	E (EKS) - (FKI) - (ESI)	βρ δ + αρ βρ

/II/

McM I53I4 MI668-43 N I8 28,4 май 1978 mw 20044,048 СДI29,I33
R 7027,32

3I.05.I006 L 79

2 и 5 Возвращение I5266 ; из-за восточного лимба вышла большой и
обороты сложной группой класса E с "δ"-конфигурацией в средней
части ; с 26.05 уменьшение площади и упрощение структуры ;
25.06 на северо-востоке появилась развивающаяся группа, по
мере развития которой распадалась ведомая часть основной
группы и 3I.06 пятна ведомой полярности практически исчез-
ли ; "δ"-конфигурация 23.06-28.06. Всего вспышек
9I(3₁+2₁+1₁₂)

ПЦМ	Ca I0700/3,5	пятна	770/2I5/494/42 257/89/143/I7	E+J(FKI) D(DAI)	δ βγ
3I.05	Ca II40/5,0	пятна	538/I6I/390/27 I44/- /95/I2	G(FKI) G(DAO)	γ β

/II/

McM I5368 MI669-43 N 19 24,5 июнь 1978 MW 20088 СД162 R 7056
22.06.1643 L 79

3 оборот Возвращение McM I5314 ; самая западная из трех групп, входящих в A0 ; одиночное пятно с небольшим числом нестабильных пор около него ; с 21.06 ядро главного пятна распалось на несколько более мелких ядер ; после вспышки быстрая деградация и распад группы, последние поры отмечены 27.06. Всего вспышек $5(I_1 + I_4)$, $I_F = 692,07$
ПЦМ Ca 8900/3,0 пятна 68/- /21/I3 -(CRI) αр
22.06 Ca 9000/3,0 пятна I20/- /II0/4 J(НАХ) αр
/II/

McM I5403 MI670-27 N 18 14,9 июль 1978 MW 20123 СД195 R 7082
10.07.0555, II.07.1031 L 170

2 оборот Возвращение McM I5360 ; первые пятна появились на предыдущем обороте 19.06 ; основное развитие на невидимой полусфере ; из-за восточного лимба группа класса Н вышла в максимум развития с "δ"-конфигурацией в гигантском ведомом пятне (8.07-20.07) ; до I2.07 отмечались сильные сдвиговые движения ядер разной полярности ; отмечено два периода большой вспышечной активности: 9.07-II.07, когда за 62 часа произошло $(3I_1 + 2I_7 + I_{12})$ вспышек, и 18.07-21.07. Всего вспышек $I72(3I_1 + 2I_0 + I_{26})$, $I_F = 2357,72$
ПЦМ Ca 5700/3,5 пятна I328/- /I086/74. Н(ЕКС) δ
10.07 Ca 5000/4,0 пятна I595/402/I430/I4 Н(ЕКС) δ
II.07 Ca 5000/4,0 пятна I467/- /I210/22] Н(ЕКС) δ
R I230/378/- /II]
18.07 Ca 6000/3,5 пятна 738/303/592/4 Н(ЕКС) δ
/II,313/

McM I5518 MI672-37 s 25 7,2 сен. 1978 MW 20195 СД248 R 7129
7.09.2330 L 184

2 оборот Возвращение McM I5454 ; распадающаяся группа пятен ; последнее пятно отмечено 6.09 ; отмеченная вспышка произошла в беспятенной активной области. Всего вспышек $5(I_1)$, $I_F = 18.79$
ПЦМ Ca I800/2,5 пятен и пор нет
/II/

McM I5543 MI672-53,55 N35 19,2 сен. 1978 mw20208 СД26I

R7137

23.09.0944

L 15

Новая Образовалась на невидимой полусфере ; очень яркий флоккул с большой и сложной группой пятен "δ" магнитной конфигурации ; быстрый рост площади пятен с 16.09 ; максимум развития 17.09-18.09 и 20.09 ; после 20.09 лидирующее пятно (до этого наибольшее) развалилось ; после 23.09 быстрая деградация ; вся эволюция группы пятен происходила вблизи устойчивого униполярного пятна (СД260). Всего вспышек 79($I_1 + I_2 + I_6$), $I_F = 2938.54$

ПЦМ Ca 3600/3,5 пятна 1180/- /620/32 F(FKC) βγ
20.09 Ca 4300/3,5 пятна 1346/- /461/55 F(FKC) β
23.09 Ca 4000/3,5 пятна 736/- /188/58 F(FKI) β

/II/

McM I5570 MI673-37 sI4 5,6 окт. 1978 mw20234 СД284 R7159

9.IO.1951

L 155

2 оборот Возвращение McM I552I ; после 3.IO значительное увеличение числа пятен, после 6.IO резкое увеличение площади пятен при значительном уменьшении их числа ; максимум развития 8.IO ; "δ"-конфигурация 5.IO-9.IO. Всего вспышек 69($I_1 + I_2$), $I_F = 286.18$

ПЦМ Ca 2800/3,5 пятна 340/- /191/46 H(DAI) γδ
08.IO Ca 3000/3,0 пятна 965/- /910/15 (H)(DAI) γδ
09.IO Ca 3200/3,0 пятна 874/- /773/10] H(DAI) γδ
R616/I61/- /14]

/II/

McM I5643 MI674-5I N18 10,5 нояб. 1978 mw20297 СД340 R7205

10.II.0048

L 45

3 оборот Возвращение McM I5589 ; до 8.II униполярная группа пятен ведущей полярности класса Н ; после появления пятен и пор ведомой полярности рост площади и числа пятен ; максимальное развитие 10.II. Всего вспышек 79($I_1 + I_4$), $I_F = 605.56$
ПЦМ Ca 4300/3,5 пятна 580/260/359/19 H+E(ЕН) -

/II/

McM 15830 MI678-43 N15 20, I фев. 1979 mw 20460 СД74 R 7318

16.02.0144, 18.02.0637 L 142

4 оборот Возвращение McM 15777 ; постепенное увеличение площади до 22.02 ; 19.02 сформировалось большое ведущее пятно, где 20.02-21.02 и 24.02 отмечена "δ"-конфигурация ; все развитие группы происходило в непосредственной близости большого устойчивого пятна ведущей полярности ; отмечено большое количество "квазидновременных" вспышек в указанной области и в McM 15823 (II^0 западнее) ; возможен комплекс активных областей. Всего вспышек $I_{18}(3_1+2_1+I_{18})$

$$I_F = I345.73$$

ПЦМ	Ca 8500/3,5	пятна	$II37/-/422/47$	(F+H)(-)	δ
16.02	Ca 8000/3,5	пятна	768/-/436/3	- (-)	-
18.02	Ca 8000/3,0	пятна	$II80/330/326/40$	(F+H)(-)	γ
22.02	Ca 7800/3,5	пятна	$I540/-/368/65$	(F+H)(-)	-

/II/

McM 15856 MI679-10 S23 6,2 март 1979 mw 20478 СД92 R 7330

1.03.0955 L 317

5 оборот Возвращение McM 15800 ; группа пятен на стадии затухания ; последнее пятно отмечено 9.03 ; вспышки наблюдались и после исчезновения пятен ($IN - II.03$) ; "δ"-конфигурация 3.03. Всего вспышек $32(3_1+I_5)$, $I_F = I003.57$

ПЦМ	Ca 2300/2,5	пятна	77/-/24/II	D(CSO)	β p
01.03	Ca - / -	пятна	$I46/-/105/4$	C(-)	(α p)

/II/

McM 15874 MI679-32 N17 15,2 март 1979 mw 20500 СД110 R 7343

9.03.0935 L 199

Новая Образовалась на невидимой полусфере ; максимальное развитие и основная вспышечная активность вблизи восточного лимба ; быстрый распад после 10.03 ; последние пятна отмечены 14.03. Всего вспышек $28(I_3)$, $I_F = I71.21$

ПЦМ	Ca 1500/3,0	пятен и пор нет			
09.03	Ca - / -	пятна	$304/-/I46/3$	C(-)	-

/II/

McM I5918 MI680-I0 §27 2,7 апр. 1979 mw 20533,30 СД153
R 7368

3.04.0I05, 04I?

Л 3I4

Новая Возникла на невидимой полусфере на месте McM I5856 ; с 30.03 началось образование очень большого и сложного ведущего пятна ; максимальное развитие I.04-3.04 ; в этот же период произошли почти все большие вспышки ; "δ"-конфигурация 29.03 в ведомой части, 30.03 - в средней и I.04-6.04 в ведущем пятне. Всего вспышек I45($I_2 + I_9$), $I_F = I504.3I$

ПЦМ	Ca - / -	пятна	I584/378/I073/68	F(-)	δ
03.04	Ca 6400/4,0	пятна	I430/ - /7I7/74	F(EKI)	δ
			R I2I7/336/ - /54		

/II/

McM I6051 MI682-33 N 20 6,3 июнь 1979 mw 20642 СД250
5.06.0455 Л 18I

6 оборот Возвращение McM I5990 ; обширный и очень яркий флоккул с большой и сложной группой класса E ; максимальное развитие 03.06 ; "δ"-конфигурация I.06-7.06. Всего вспышек I38($I_1 + I_4 + I_{13}$), $I_F = 4028.28$

ПЦМ	Ca 6000/4,0	пятна	908/ /275/47	(ЕКИ)	δ
03.06	Ca 6400/4,0	пятна	I590/ /I380/30	(DKC)	δ
05.06	Ca 6500/3,5	пятна	937/ /260/I8	(ЕКИ)	δ

/II/

McM I6I22 MI683-44 N 10 8,2 июль 1979 mw 20715 СД313

4.07.0203,060I,I903

Л 122

Новая Образовалась на невидимой полусфере ; ведущее пятно средних размеров сопровождалось мелкими пятнами и порами вытянутыми по долготе ; после 8.07 распад ведомой части ; с II.07 одиночное униполярное пятно ; "δ"-конфигурация 4.07-8.07. Всего вспышек 46(I_4), $I_F = 384.30$

ПЦМ	Ca 3700/3,0	пятна	565/ /360/I6	(НКХ)	δ
04.07	Ca 4000/3,5	пятна	553/ /447/6	(НКХ)	δ

/II/

McM I6224 MI685-18 № 26 20,3 авг. 1979 mw20815 СД368

I8.08.I400, 13.08.0947, L 271 14.08.1240

Новая Образовалась на невидимой полусфере ; большая и сложная группа пятен класса E ; максимальное развитие у восточного лимба ; после 23.08 быстрый распад ведомого пятна ; " δ "-конфигурация I6.08 в ведомом пятне, I8.08-I9.08 в ведущем пятне. Всего вспышек II6($I_1 + I_{II}$), $I_F = 341.64$

ПЦМ	Ca - / -	пятна	990/	/402/20	(ЕКО)	βγ
I8.08	Ca - / -	пятна	901/	/350/32	(ЕКІ)	δ
I4.08	Ca 4000/4,0	пятна	747/	/313/4	(ЕКС)	

/II/

McM I6239 MI685-31 № 6 26,2 авг. 1979 mw 20835 СД378

I8.08.I421, 20.08.0904, L 192 26.08.I615

Новая Образовалась на невидимой полусфере ; очень большая и сложная группа класса F с обращенной полярностью, максимальное развитие 25.08 ; после 29.08 резкое упрощение структуры и уменьшение площади и числа пятен ; " δ "-конфигурации в ведущем и ведомом пятне в течение всего времени прохождения по диску, а в средней части 21.08-22.08 и 27.08 ; два периода вспышечной активности: первый до 20.08 вблизи восточного лимба, второй 25.08-26.08. Всего вспышек I43($I_2 + I_{15}$), $I_F = 835.54$

ПЦМ	Ca 5500/3,5	пятна	I550/	/595/72	(ФКІ)	δ
20.08	Ca - / -	пятна	I650/	/292/7	(-)	δ
25.08	Ca 5300/3,5	пятна	I599/	/464/63	(ФКІ)	δ

/II/

McM I6298 MI686-33 № 6 22,I сен. 1979 mw 20895 СД424

I4.09.0808 L 194

2 оборот Возвращение McM I6239 ; очень обширный и яркий флоккул, содержащий большую и сложную группу пятен обращенной полярности ; после 26.09 простая биполярная группа ; " δ "-конфигурация I8.09-23.09 в средней части группы. Всего вспышек I54($I_1 + I_3 + I_{20}$), $I_F = 2243.27$

ПЦМ	Ca 10000/3,5	пятна	999/	/438/35	(ЕКІ)	γ
I9.09	Ca 9000/4,0	пятна	I536/	/709/44	(ЕКС)	δ

/II/

HR I6419A MI688-25 N 30 13 нояб. 1979 mw 2104I СЛБ37

15.II.2122

L 220

З и 2 Возвращение McM I6357 ; ведущее и ведомое пятна одной
обороты полярности в течение всего времени прохождения по диску,
средняя часть в основном ведомой полярности очень измен-
чива и динамична с "δ"-конфигурацией 13.II. Всего вспы-
шек 49($I_1 + I_8$), $I_F = 507.99$

ПЦМ Ca 3800/3,5 пятна 806/ /396/18 (ЕК1) δ
15.II. Ca 3800/3,5 пятна 717/ /342/14 (-) βγ

/II/

Литература

1. Catalog of solar particle events 1955-1969. /Ed by Z. Švestka and P. Simon. Dordrecht - Holland/ Boston - USA. D. Reidel Publ. Company, 1975, 430 p.
2. Solar-Geophysical Data. National Geophysical and Solar-Terrestrial Data Center. Boulder, Colorado. 1970-1981.
3. Солнечные данные. Л.: Наука, 1970-1979.
4. Böhme A. - Solar Phys., 1972, v. 24, N 2, p. 457-474.
5. Боровикова В.Д., Дриацкий В.М., Ульев В.А. Явления РСА в 1971-1976 гг. по данным риометрических наблюдений на советских станциях в Арктике и Антарктике. - В кн.: Геофизические исследования в высоких широтах. Л.: Гидрометеоиздат, 1980. (Труды ААНИИ; т. 366), с. 92-99.
6. Castelli J.P., Barron W.R. A Catalog of solar radio bursts 1966-1976 having spectral characteristics predictive of proton activity. - J. Geophys. Res., 1977, v. 82, p. 1275-1278.
7. Decker R.B., Armstrong T.P. A study of solar flare electron events from October 1972 through December 1974 From IMP 7 and 8. - J. Geophys. Res., 1979, v. 84, N A12, p. 7334-7342.
8. Dodson H.W., Hedeman E.R. Experimental comprehensive solar flare indices for certain flares, 1970-1974. - World Data Center A for Solar-Terrestrial Physics. Boulder, NOAA, UAG Report, 1975, N 52, 27 p.
9. Dodson H.W., Hedeman E.R. Experimental Comprehensive Solar Flare indices for "Major" and certain lesser flares 1975-1979. - World Data Center A for Solar-Terrestrial Physics, Report UAG-80, Boulder, NOAA, 1981, 38 p.
10. Duggal S.P. Relativistic solar cosmic rays. - Rev. Geophys. Space Phys. 1979, v. 17, N 5, p. 1021-1058.
11. Hedeman E.R., Dodson H.W., Roelof E.C. Evolutionary charts of solar activity (calcium plages) as functions of heliographic longitude and time 1964-1979. - World Data Center A for Solar-Terrestrial Physics. Report UAG-81, Boulder, NOAA, 1981.
12. Зельдович М.А., Курт В.Г., Лущенко В.Н. и др. Каталог электронных возрастаний. - Солнечные данные, 1975, № 4, с. 47-62.
13. Kodama M., Murakami K., Wada M. et al. Possibility of coronal propagation of relativistic solar protons. - 15th Int. Cosmic Ray Conf., Plovdiv, 1977. Conf. Pap., v. 5, p. 94-99.
14. Krivský L., Lukáč . Catalogue of solar type II bursts and their source flares for the cycle No. 20 (1966-1976). - The Slovak centre of Amateur Astronomy, Hurbanovo, 1980.

15. Коломенский А.В. Петров В.М., Зиль М.В. и др. Радиационная опасность солнечных вспышек в околоземном космическом пространстве. - Космические исследования, 1978, т. XVI, вып. 5, с. 698-704.
16. Курт В.Г. Каталог электронов солнечных вспышек. - Солнечные данные, 1979, № 3, с. 76-90.
17. McIntosh P.S. Annotated atlas of H_{α} synoptic Charts for solar cycle 20 (1964-1974) Carrington solar rotations 1487-1616. World Data Center A for Solar-Terrestrial Physics. Report UAG 70, Boulder, NOAA, 1972, 330 p.
18. Sarris E., Showman T., Stanly D. Characteristics of electron and high-energy proton flares. - Solar Phys., 1973, v. 28, p. 519-532.
19. Shea M.A., Smart D.F. A composite catalog of ground-level cosmic ray increases. - 13th Int. Cosmic Ray Conf., Denver, 1973. Conference Papers, v. 2, p. 1548-1553.
20. Solar-Terrestrial Physics and Meteorology: working document, III, April 1979, issued by SCOSTEP secretariat, 110 p.
21. Van Hollebeke M.A.I., Wang J.R., McDonald F.B. A catalogue of solar cosmic ray events, IMPs IY and Y (May 1967 - Dec. 1972). - Goddard Space Flight Center, Greenbelt, Maryland, 1974, 106 p.
22. Van Hollebeke M.A.I., Ma Sung L.S., McDonald F.B. The variation of solar proton energy spectra and size distribution with heliolongitude. - Solar Phys., 1975, v. 41, N 1, p. 189-223.
23. Švectka Z. Solar Flares. (Geophys. and astrophys. monographs., v. 8). - Reidel Publishing Comp., Dordrecht - Holland, 1976.
24. Smart D.F., Shea M.A. Solar proton event classification system. - Solar Phys., 1971, v. 16, N 2, p. 484-487.
25. Авдошин С.И., Коган Р.М., Кулагин Ю.М. и др. Детектирование ионизирующей излучений на ИСЗ "Метеор-I", вопросы перехода к физическим характеристикам потоков регистрируемых частиц. - В кн.: Вопросы радиационной космофизики. М.: Наука, 1970. (Труды ИПГ; вып. I), 15 с.
26. Авдошин С.И., Вяземский В.О., Коган Р.М. и др. Радиационная аппаратура ИСЗ "Метеор-I". - В кн.: Вопросы радиационной космофизики. М.: Наука, 1970. (Труды ИПГ; вып. I), 3 с.
27. Беляков С.А., Девичева Е.А., Курт В.Г. и др. Некоторые результаты измерения спектров энергичных частиц в межпланетной среде на расстоянии 1-0,7 а.е. на АМС "Венера-II, 12". - Космические исследования, 1979, т. XVII, вып. 5, с. 793-803.

28. Data book of energetic particle fluxes measured by the satellite Prognoz-3. Research Institute of Nucl. Phys., Moscow.
- Central Reserch Institute for Phys., Budapest, 1979.

29. Курт В.Г., Логачев Ю.И., Писаренко Н.Ф., Столповский В.Г. Спектры энергичных частиц в солнечных вспышках по измерениям на ИСЗ "Прогноз-6" - Известия АН СССР. Сер. физ., 1979, т. 43, № 12, с. 3519-3524.

30. Среднечасовые скорости счета детекторов заряженных частиц в межпланетном пространстве по данным спутника "Прогноз". - Материалы мирового центра данных Б., М.: Межведомственный геофизический комитет при Президиуме АН СССР, 1979, 81^oс.

31. Dodson H.W., Hede man E.R. An experimental comprehensive flare index and its derivation for "major" flares, 1955-1969. - World Data Center A for Solar-Terrestrial Physics. Report UAG, Boulder, NOAA, 1971, N 14, 26 p.

32. Baker D. Flare classification based upon x-ray intensity.
- AIAA Paper 70-1370, Ala., 1970.

33. Радиоизлучение Солнца. - Бюллетень НИРФИ, Горький, 1970-1979.

34. HHI Solar Data. - Berlin, 1970-1979.

35. Solar Phenomena. - Observatorio astronomico di Roma. 1970-1979.

36. Quaterly bulletin on solar activity. - International Astronomical Union, 1970-1978.

37. McCracken K.G. and Rao U.R. Solar cosmic ray phenomena. - Space Sci. Rev., 1970, v. 11, N 213, p. 155-233.

38. Lanzerotti L.J. Observations of solar particle propagation. - In: Correlated interplanetary and magnetospheric observations. /Ed by D.E. Page,,D. Reidel Publ. Company, Dodrecht - Holland, 1974, p. 345-379.

39. Переяслова Н.К., Назарова М.Н., Петренко И.Е. Проявления солнечной активности на ветви роста 21-го цикла в космических лучах по данным ИСЗ "Метеор", - Геомагнетизм и аэрономия, 1980, т. XX, № 6, с. 977-981.

40. Reinhard R., Wibberenz G. Propagation of flare protons in the solar atmosphere. - Solar Phys., 1974, v. 36, p. 473-494.

41. Vashenyuk E.V., Bazilevskaya G.A., Charakhchyan T.N. On the role of coronal propagation of solar cosmic rays with energies more than 100 MeV. - 15th Int. Cosm. Ray Conf. Plovdiv, 1977. Conference Papers, v. 5, 148-153.

42. Sakurai K. Energetic particles from the Sun. - Astrophys. and Space Sci., 1974, v. 28, N 2, p. 375-519.

43. Švestka Z., Fritzova-Švestkova L. - Solar Phys., 1974, v. 36, N 2, p. 417-431.
44. Warwick C.S., Wood-Haurwitz M.J. - J. Geophysical Research, 1962, v. 67, p. 1317-1332.
45. Castelli J.P., Aarons J., Muchael G.A. - J. Geophysical Research, 1967, v. 72, p. 5491-5498.
46. Castelli J.P., Aarons J., Guidice J. et al. - Proc. IEEE, 1973, v. 61, p. 1307-1310.
47. Акиньян С.Т., Фомичев В.В., Черток И.М. Результаты количественной диагностики протонных вспышек по данным о радиовсплесках за контрольный интервал 1970-1977 гг. - Геомагнетизм и аэрономия, 1980, т. 20, № 3, с. 385-390.
48. Авдошин С.И., Барабанчиков Ю.Ф., Молчанов А.П. и др. Оперативное прогнозирование радиационных последствий солнечных вспышек по их радиоизлучению, "Солнечные данные", 7, 1982, с. 100-107.
49. Akinyan S.T., Chertok I.M., Fomichev V.V. Quantitative forecasts of solar protons based on solar flare radio data. - In: Solar-Terrestrial Predictions. Proc. /Ed. by R.F. Donnelly. Washington D.C. 1980, 3, p. D14-D26.
50. Bakshi P., Barron W.R. Prediction of solar flare proton spectrum from radio burst characteristics. - In: Solar-Terrestrial Predictions Proc. /Ed. by R.F. Donnelly, Washington D.C. 1980, 3, p. D7-D13.
51. Barron W.R., Bakchi P. Application of integrated radio burst fluxes to the prediction of solar energetic proton flux increases. - In: Solar-Terrestrial Predictions Proc. /Ed. by R.F. Donnelly, Washington D.C. 1980, v. 3, p. D1-D6.
52. Molchanov A.P., Pogodin I.E. Prediction of solar flare corpuscular intensity on the basis of radio burst observations. - In: Solar-Terrestrial predictions Proc. /Ed. by R.F. Donnelly, Washington D.C. 1980, v. 3, D56-D59.
53. Smart D.F., Shea M.A. PPS76 - A computerized "event mode" solar proton forecasting technique. - In: Solar-Terrestrial Predictions Proc. /Ed. by R.F. Donnelly, Washington D.C., 1980, v. 1, p. 406-427.
54. Авдошин С.И., Козловский Ц.Д., Назарова М.Н. и др. Протонные вспышки за 1978г: количественная диагностика по радиовсплескам и данные прямых измерений на ИСЗ Метеор. - В сб.: Физика солнечной активности. М.: ИЗМИРАН, 1980, с. 93-117.
55. Акиньян С.Т., Черток И.М., Крюгер А. Результаты количественной диагностики протонных вспышек по радиовсплескам за период ГСМ - Года солнечного максимума. Материалы международной конференции

рентии. Симферополь, март 1981 г. М.: ИЗМИРАН, 1981, т. I, с. II-18.

56. Dilworth C., Maccagni D., Perotti F. et al. - Solar Phys., 1972, v. 23, N 2, p. 487-500.

57. Simnett G.M. - Space Sci. Revs., 1974, v. 16, p. 257-323.

58. Solar-geophysical activity associated with the major geomagnetic strom of March 8, 1970. - World Data Center A for Solar-Terrestrial Physics, Boulder, NOAA, UAG Report, 1971, N 12, pt. 1-3.

59. Kirsch E., Münch J.W. Proton measurements with the satellite Azur during the solar particle events of March 5-13, 1970. - Planet. and Space Sci., 1972, v. 20, N 1, p. 89-101.

60. Ma Sung L.S., Van Hollebeke M.A.I., McDonald F.B. Propagation characteristics of solar flare particles. - 14th Int. Cosmic Ray Conf., München, 1975. Conf. Papers, v. 5, p. 1767-1772.

61. Cherki G., Mercier J.P., Raviart A. et al. Effect of solar corone conditions on flare particle propagation. - Solar Phys., 1974, v. 34, N 1, p. 223-229.

62. Shimabukuro F.I. - Solar Phys., 1972, v. 23, p. 169-177.

63. Shea M.A., Smart D.F. Prediction of the end of solar proton events. - In: COSPAR Space Res., 13. Proc. Open Meet. Working Groups Phys. Sci. 15th Plenary Meet. Madrid, 1972. Vol. 2, Berlin 1973, p. 771-775.

64. Чарахчьян А.Н., Базилевская Г.А., Вашенюк Э.В. Вспышки космических лучей в 1970-1971 гг. по измерениям в стратосфере. - Известия АН СССР. Сер. физ., 1972, т. 36, № II, с. 2363-2368.

65. Малышев А.Б., Назарова М.Н., Переяслова Н.К., Петренко И.Е. Вторжение протонов в полярные зоны в мае-июне 1970 г. - В сб.: Вопросы радиационной космофизики. М.: Гидрометеоиздат, 1970, с. 147-155.

66. Dietrich W.F. - Astrophys. J., 1973, v. 180, N 3, pt. 1, p. 955-973.

67. Переслегина Н.В., Любимов Г.П. Возрастание интенсивности солнечных протонов в июле 1970 г. - Космические исследования, 1973, т. XI, вып. 2, с. 236-244.

68. Переяслова Н.К., Петренко И.Е., Назарова М.Н., Воробьев В.А. Вариации солнечных космических лучей в полярных областях 9-16 августа 1970 г. - Космические исследования, 1977, т. XV, вып. I, с. 71-76.

69. Hansen R.T., Garcia C.J., Grognard R.J. et al. - Proc. Astron. Soc. Austral., 1971, v. 2, N 1, p. 57-60.

70. Вернов С.Н., Вакулов П.В., Гецелев И.В. и др. Результаты измерений интенсивности космических лучей на автоматической стан-

ции Венера-7. - Космические исследования, 1972, т. X, вып. 4 , с. 561-568.

71. Сильвестер Б., Житник И.А., Корнеев В.В. и др. Временные изменения высокотемпературной плазмы в солнечных вспышках. - Publ. Debrecen Heliophysical Observatory. 1977, v. 3, p. 65-74.

72. Тиндо И.П., Сомов Б.В. Поляриметрия рентгеновского излучения солнечных вспышек. - Publ. Debrecen Heliophysical Observatory, 1977, v. 3, p. 31-56.

73. Банин В.Г., Трифонов В.Д., Афанасьев С.Г. Об особенностях фотометрического развития вспышки 5 ноября 1970 года. - В сб.: Исследования по геомагнетизму, аэрономии и физике Солнца. М.: Наука, 1974, вып. 31, с. 33-37.

74. Kawabata K., Sofue Y., Ogawa H., Omodaka T. - Solar Phys., 1973, v. 31, N 2, p. 469-481.

75. Vernov S.N., Kontor N.N., Lyubimov G.P. et al. Solar cosmic ray bursts in November-December 1970 according to from Venus 7 space and Lunokhod 1 station. - Space Res., XII, 1972, p. 1535-1544.

76. Лившиц М.А., Ванин В.Г., Вальничек Б. и др. Сопоставление бортовых (рентгеновских) и наземных наблюдений солнечных вспышек в период полета Интеркосмоса-4. - В сб.: Солнечно-земная физика. М.: ИЗМИРАН, 1972, вып. 3, с. 17-50.

77. Farník F., Kotrč P., Krivský L., Valněk B. Development of the proton Flare and the associated hard x-ray emission of November 5, 1970. - В сб.: Труды Астрономической обсерватории Скальнате Плеско, VI, Bratislava, 1976, p. 131-138.

78. Data on solar-geophysical activity associated with the major ground level cosmic ray events of 24 January and 1 September 1971. - World Data Center A for Solar-Terrestrial Physics, Boulder, NOAA, Report VAG, 2972, N 24, pt. 1-2, 462 p.

79. Ilénček J., Krivský L. Solar flare generated cosmic ray emission of 24 January 1971. - Bull. Astron. Inst. Czechosl., 1973, v. 24, N 2, p. 100-102.

80. Crawford H.J., Price P.B., Cartwright B.C. et al. - Astrophy. J., 1975, v. 195, N 1, pt. 1, p. 213-221.

81. Nevatia J., Biswas S. Rocket observations of solar cosmic ray nuclei (oxygen to silicon) in the 25 Jan. 1971 event. - Indian J. Radio and Space Phys., 1975, v. 4, N 4, p. 289-292.

82. Pellerin C.J. Heavy solar cosmic rays in the January 25, 1971 solar flares. - Solar Phys., 1975, v. 41, N 2, p. 449-458.

83. Perez-Peraza J., Galindo Trejo J. Source energy spectrum of protons accelerated in a high density medium. - 14th Int. Cos-

mic Ray Conf., Munchen, 1975, Conference Papers, v. 5, p. 1557-1562,

84. Durgaprasad N., Nevatia H., Biswas S. Measurements of He/O and He/Ne in the low energy solar cosmic rays in the January 24, 1971 event. - 14th Int., Cosmic Ray Conf., München, 1975, Conference Papers, v. 5, p. 1582-1585.

85. Hudson H.S. Observations of particle acceleration in solar flares. - In: Part. Accel. Mech. Astrophys. Workhop, La Jolla. 1979 /New York, 1979, p. 115-134.

86. Kodama N., Wada M., Murakami K. Anisotropic arrival of relativistic solar flare particles on the Earth. - 14th Int. Cosmic Ray Conf., München, 1975. Conference Papers, v. 5, p. 1791-1796.

87. Palmer I.D., Lin R.P. - Proc. Astron. Soc. Austral., 1972, v. 2, N 2, p. 101-103.

88. Schmahl E.J. - Austral. J. Phys., 1973, v. 26, N 5, Suppl. N 29, p. 1-26.

89. Krivsky L. Trends of development of the proton active region of 24 January 1971. - Bull. Astron. Inst. Czechosl., 1973, 24, N 2, p. 96-100.

90. Шаврин П.И., Девичева Е.А., Цаплин В.С. Определение спектра протонов вспышки СКЛ 6 апреля 1971 г. по геомагнитному обрезанию на ИСЗ. - Космические исследования, 1975, т. XIII, вып. 5, с. 704-709.

91. Woo R., Armstrong W. - Nature, 1981, v. 292, N 5824, p. 608.

92. Van Hellebeke M.A.I. On solar cosmic rays. - Rev. Geophys. and Space Phys., 1979, v. 17, N 4, p. 545-551.

93. Frank L.A., Gurnett D.A. - Solar Phys., 1972, v. 27, N 2, p. 446-465.

94. Palmer J.D., Palmeira R.A.R., Allum F.R. Monte Carlo model of the highly anisotropic solar proton event of 20 April 1971. - Sol. Phys., 1975, v. 40, p. 449-460.

95. Lin R.P. - Space Sci. Rev., 1974, v. 16, N 1/2, p. 189-256.

96. Кузнецов С.Н., Логачев Ю.И., Петрова И.В., Савенко И.А. Распространение СКЛ от вспышек 3 октября и 1 сентября 1971 г. по данным "Космоса-426". - Космические исследования, 1975, т. XIII, вып. 6, с. 844-850.

97. Кузнецов С.Н., Логачев Б.И., Петрова И.В. и др. Об анизотропии релятивистских солнечных протонов от вспышки 1 сентября 1971 года. - Геомагнетизм и аэрономия, 1976, т. I6, № I, с. 181-182.

98. Назарова М.Н., Переяслова Н.К., Петренко И.Е. Основные характеристики потоков солнечных космических лучей I-I6 сентября 1971 г. - Космические исследования, 1977, т. XIV, вып. 4, с. 566-572.

99. Петрова И.В. Спектр генерации частиц высоких энергий на Солнце во время вспышки I.IX.1971 г. - Геомагнетизм и аэрономия, 1975, т. XV, № 5, с. 930-931.

100. Шаврин П.И., Сенчуро И.Н., Салманова О.М., Цаплин В.С. Сравнение результатов одновременного наблюдения вспышки солнечных космических лучей в сентябре 1971 г. на двух ИСЗ. - Космические исследования, 1976, т. XIV, вып. 4, с. 636-637.

101. Cliver E.W. Prompt injection of relativistic protons from the September 1, 1971 solar flare. - Solar Phys., 1982, v. 75, N 1/2, p. 341-345.

102. Duggal S.P., Pomerantz M.A. Anisotropies in relativistic cosmic rays from the invisible disk of the sun. - J. Geophysical Research, 1973, v. 78, N 31, p. 7205-7220.

103. Vernov S.N., Kuznetsov S.N., Logachev Yu.I. et al. Solar cosmic ray of September 1, 1971. - 13th Int. Cosmic Ray Conference, Denver, 1973. Conference Papers, v. 2, p. 1404-1409.

104. Ford T., Palmer I.D., Sanders R. Separation of solar and interplanetary diffusion in solar cosmic ray events. - J. Geophys. Res., 1977, v. 82, N 29, p. 4704-4710.

105. McGuire R.E., Lin R.P., Anderson K.A. The location of the particle acceleration in the 1 September 1971 solar cosmic ray event. - 15th Int. Cosm. Ray Conf., Plovdiv, 1977, v. 5. Sofia, 1977, 101-106.

106. Беловский М.Н., Веденеев Ю.В. - Солнечные данные, 1976, № I, с. 61-65.

107. Назарова М.Н., Переяслова Н.К. О потоках солнечных космических лучей в период проведения эксперимента Солнце - атмосфера 1971. - В сб.: Солнечно-атмоферные связи. М.: Гидрометеоиздат, 1974, с. 22-25.

108. Schindler S.M., Kearney P.D. - Nature, 1972, v. 237, N 5357, p. 503-505.

109. Brueckner G.E. - IAU Symp., 1974, v. 57, p. 333.

110. Kosngi Takeo. - Solar Phys., 1976, v. 48, N 2, p. 339-356.

111. Maxwell A., Dryer M. - Solar Phys., 1981, v. 73, N 2, p. 313-329.

112. Rust D.M., Nakagawa Y., Neupert W.M. - Solar Phys., 1975, v. 41, N 2, p. 397-414.

113. Reinhard R., Domingo V., Perron C. The March 5, 1972 solar event: coronal control of particle release. - 15th Int. Cosmic Ray Conf., Plovdiv, 1977. Conference Pap., v. 5, p. 107-112.
114. Zwickl R.D. - Solar Phys., 1977, v. 54, N 2, p. 457-504.
- II5. Иванова Т.А., Кузнецов С.Н., Логачев Ю.И., Сосновец Э.Н. Северо-южная асимметрия и анизотропия СКЛ во время вспышки 18 апреля 1972 г. - Космические исследования, 1976, т. XIV, вып. 2, с. 235-238.
- II6. Иванова Т.А., Сосновец Э.Н., Тверская Л.В. Эффект северо-южной асимметрии солнечных космических лучей и динамика плазменного слоя и дневного полярного каспа. - Геомагнетизм и аэрономия, 1976, т. 16, № I, с. 159-163.
- II7. Микрюкова Н.А., Назарова М.Н., Переяслова Н.К. Структура потоков протонов в высокоширотных зонах в апреле 1972 г. - Геомагнетизм и аэрономия, 1976, т. 16, № 4, с. 598-602.
- II8. Кужевский Б.М., Мадуев В.Л., Писаренко Н.Ф. и др. Исследование распространения СКЛ от восточных вспышек 28 мая, 15 июня, 2 августа 1972 г. на спутнике "Прогноз". - Космические исследования, 1978, т. XVI, вып. I, с. 64-72.
119. Bieber J.W., Earl J.A., Green G. et al. Interpretation and analysis of solar energetic particle intensities and anisotropies observed aboard Helios 2 on 28 March 1976. - Space Res. 19. Proc. Open Meet. Work Groups Phys. Sci. 21st Plenary Meet. COSPAR, Innsbruk, 1978. Oxford e.a., 1979, p. 403-406.
120. Fleicher R.L., Hart H.R. The enrichment of heavy nuclei in the 17 April 1972 solar flare. - Phys. Rev. Lett., 1973, v. 30, N 1, p. 31-34.
121. Simnett C.M. Interpretation of the solar particle emissions from 22 May to 29 June 1972. - COSPAR Space Res., Berlin, 1976, v. 16, p. 747-753.
- I22. Блох Г.М., Володичев Н.Н., Григоров Н.Л., Колесов Г.Я. Регистрация заряженных частиц от солнечных вспышек в июле-августе 1972 г. на ИСЗ "Прогноз-2". - Геомагнетизм и аэрономия, 1974, т. 14, № 4, с. 725-727.
- I23. Григорьева В.П., Кудрявцев М.В. и др. Генерация заряженных частиц на Солнце 22 июля 1972 г. - Космические исследования, 1974, т. 12, с. 213-218.
124. Morosova E.I., Pisarenko N.F., Volodichev N. et al. Generation and propagation of charged particles in the solar event of 22 July 1972. - COSPAR Space Res., 16. Berlin 1976, p. 775-782.

125. Collected date reports on August 1972 solar terrestrial events. - World Data Center A for Solar-Terrestrial Physics /Boulder, NOAA, Report VAG, 1973, N 28, pt. I-III, 885 p.
126. Roy J.-R. - Solar Phys., 1979, v. 64, N 1, p. 143-158.
127. Rust D.M., Bar V. - Solar Phys., 1973, v. 33, N 2, p.445-459.
128. Hakura Y., Ishii T. et al. Solar-terrestrial disturbances of August, 1972, 5. Solar proton events and polar cap disturbances. - J. Radio. Res. Lab., 1974, 21, N 106, 341-353.
129. Simnett G.M. Solar cosmic radiation during August 1972. - Space Sci. Revs. 1976, v. 19, N 4-5, p. 579-610.
130. Weber E.J., Mende S.B. et al. Optical diagnostics of the August 1972 PGA event. - J. Geophys. Res., 1976, v. 81, N 31, p. 5479-5487.
131. Webber W.R., Roelof E.C., McDonald F.B. et al. Pioneer-10 measurements of the charge and energy spectrum of solar cosmic rays during 1972 August. - Astrophys. J., 1975, v. 199, N 2, pt. 1, p. 482-493.
132. Альберн Ф., Ведрен И., Камбу Ф. и др. Всплески гамма-излучения, наблюдавшиеся во время солнечных вспышек 2, 4 и 7 августа 1972 г. на станции "Прогноз-2". - В сб.: Проблемы солнечной активности и космическая система "Прогноз". М.: Наука, 1977, с. 30-58.
133. Bhonsle R.V., Degaonkar S.S., Alurkar S.K. - Space Sci. Revs., 1976, v. 19, N 4-5, p. 475-510.
134. Bumba V. - Bull. Astron. Inst. Czech., 1980, v. 31, N 6, p. 351-362.
135. Bumba V., Suda J., Ishkov V.N. - Bull. Astron. Inst. Czechosl., 1981, v. 32, p. 286-291.
136. Malitson H.H., Fainberg J., Stone R.G. Hectometric and kilometric solar radio emission observed from satellites in August 1972. - Space Sci. Revs., 1976, v. 19, N 4-5, p. 511-531.
137. Roelof E.C., Lezniak J.A., Webber W.R. et al. Relation of coronal magnetic structure to the interplanetary proton events of August 2-9, 1972. - Correl. Interplanetary and Magnetospheric Observ. Proc. 7 Eslab. Symp. Soulga, 1973. Dordrecht - Boston, 1974, p. 563-571.
138. Schoolman S.A., Ganz E.D. - Solar Phys., 1981, v. 70, p. 363-374.
139. Takechi A. - Rept. Ions. and Space Res. Jap., 1972, v. 26, N 4, p. 287-322.

140. Ugawa H., Kawabata K.A. Location of radio source at 35GHz of 2145UT 2 August 1972 burst. - Solar Phys., 1975, v. 40, N 1, p. 159-163.
- I41. Бумба В., Хейна Л. Отдельные фазы развития августовской протонной области 1972 г. - Publ. Debrecen Heliophysical Observatory, 1977, v. 3, p. 111-136.
- I42. Коробова З.Б., Ишков В.Н., Могилевский Э.И. Эruptивные хромосферные явления во время вспышки 2 августа 1972 г. - В сб.: Физика солнечной активности. М.: Наука, 1976, с. 3-32.
- I43. Зеехафтер Н., Штауде Ю. Экстраполяция бессилового магнитного поля комплексной группы солнечных пятен августа 1972 г. - Publ. Debrecen Heliophysical Observatory, 1977, v. 3, p. 137-140.
- I44. Володичев Н.Н., Григоров Н.А., Колесов Г.Я. и др. Много-кратная генерация космических лучей на Солнце 4 августа 1972 г. по данным измерений на ИСЗ Прогноз. - Космические исследования, 1974, т. XII, вып. 3, с. 483-485.
- I45. Володичев Н.Н., Морозова Е.И., Сараева М.А. и др. К определению спектра протонной вспышки 4 августа 1972 г. по широтному эффекту на ИСЗ "Прогноз-2". - Геомагнетизм и аэрономия, 1979, т. I9, № 4, с. 732-734.
- I46. Козлов В.И. Взаимосвязь возрастаний интенсивности космических лучей 4-5 августа 1972 года с динамикой спектра неоднородностей межпланетного магнитного поля. - В кн.: Исследования по космофизике и аэрономии. Якутск: Изд. Якутского филиала СО АН СССР, 1975, с. 49-61.
- I47. Переяслова Н.К. Некоторые данные о проявлении в магнитосфере солнечной вспышки 4 августа 1972 г. - В кн.: Солнечно-атмосферные связи в теории климата и прогнозах погоды. (Труды I Всесоюзного совещания, Л., 30 октября - 1 ноября 1972 г.) Л.: Гидрометеоиздат, 1974, с. 400-403.
- I48. Савун О.И., Сладкова А.И. Измерение поглощенной дозы радиации от солнечной вспышки 4 августа 1972 г. в открытом космосе. - Космические исследования, 1976, т. XIV, вып. I, с. 135-139.
- I49. Чирков Н.П., Филиппов А.Т. Ускорение энергичных частиц до релятивистских энергий в межпланетной среде. - Известия АН СССР. Сер. физ., 1977, т. 41, № 9, с. 1776-1781.
- I50. Чирков Н.П., Филиппов А.Т., Козлов В.И. Вспышки космических лучей 4 и 7 августа 1972 года. - В кн.: Исследования по космофизике и аэрономии. Якутск: Изд. Якутского филиала СО АН СССР, 1975, с. 38-48.
- I51. Bertsch D.L., Biswas S., Reames D.V. - Solar Phys., 1974, v. 39, N 2, p. 479-491.
- I52. Dryer M. - Space Sci. Rev., 1974, v. 15, N 4, p. 403-468.

153. D'Uston C., Bosqued J.M., Cambou F. et al. - Solar Phys., 1977, v. 51, N 1, p. 217-229.
154. Mayfield E.B., Chapman G.A. - Solar Phys.. 1981, v. 70, p. 351-362.
155. Minasyans G.S. - Bull. Astron. Inst. Czech., 1978, v. 29, p. 18-22.
156. Pomeranz M.A., Duggal S.P. - Nature, 1973, v. 241, N 5388, p. 331-332.
157. Tanaka K., Nakagawa J. - Solar Phys., 1973, v. 33, p. 187-204.
158. Zirin H., Tanaka K. - Solar Phys., 1973, v. 32, p. 173-186.
159. Kadama M., Murakami K. et al. Cosmic ray variation during August 3-10, 1972. - Rep. Ionosph. and Space Res. in Japan, 1973, v. 27, N 4, p. 161-162.
160. Lockwood J.A., Hsieh L., Quenby J.J. Some unusual features of the cosmic ray storm un August 1972. - J. Geophys. Res., 1975, v. 80, N 13, p. 1725-1734.
161. Medrano R.A., Bland C.J., Freeman J.W. et al. Solar cosmic ray "square wave" of August 1972. - J. Geophys. Res., 1975, v. 80, N 13, p. 1735-1743.
162. Moussas X. - Solar Phys., 1980, v. 67, N 1, p. 163-180.
163. Otaola J., Gall R., Pérez-Enriquez R. Storage effect of a shock wave ensemble during the August 4, 1972 event. - 15th Int. Cosm. Ray Conf., Plovdiv, 1977, v. 3, Sofia, 1977, p. 25-30.
164. Venkatesan D., Mathews T. et al. Cosmic ray intensity variations during 0200-0700 UT, August 5, 1972. - J. Geophys. Res., 1975, v. 80, N 13, p. 1715-1724.
165. Ведрен Ж., Кудрявцев М.И., Ликин О.Б. и др. Жесткое электромагнитное излучение во вспышке 4 августа 1972 г. - Геомагнетизм и аэрономия, 1975, т. I5, № 4, с. 729-731.
166. Григорьева В.П. Движение ударной полны от вспышки 4 августа 1972 г. по наблюдениям всплесков II типа. - В сб.: Проблемы солнечной активности и космическая система "Прогноз". М.: Наука, 1977, с. I75-I79.
167. Ибрагимов И.А., Кочаров Г.Е. Об особенности энергетического спектра гамма-квантов во время солнечной вспышки 4.УШ.1972г. - Письма в астрономический журнал, 1977, т. 3, № 9, с. 412-414.
168. Лазарева Л.Ф., Могилевский Э.И. Магнитное поле и допплеровские движения в группе 223 4 августа 1972 г. после протонной вспышки. - В сб.: Физика солнечной активности, М.: Наука, 1976, с. 33-44.

169. Champon G., Hurley K., Niel M. et al. - Solar Phys., 1981, v. 69, N 1, p. 147-161.
170. Akinyan S.T., Ishkov V.N., Mogilevskii E.I. et al. On peculiar quasi-periodic components and the possible structure of the generating region of type IY event of August 4, 1972. - В сб.: Труды Астрономической обсерватории Скальнате, Плеско, ЮI, Bratislava, 1976, p. 35-46.
171. Kanbach G., Reppin C., Forrest D.J., Chup E.L. Time history and model calculations of the 2.2 MeV gamma ray line from flares of August, 1972. - 14th Int., Cosmic Ray Conference, München, 1975. Conference Papers. v. 5, p. 1644-1649.
172. Mogilevskii E.I., Ishkov V.N. On the eruptive phasa of proton flares. - В сб.: Труды Астрономической обсерватории Скальнате, Плеско ЮI, Bratislava, 1976, p. 69-84.
173. Ramaty R., Wang H.T. Time dependences of the 0.51 and 2.2 MeV lines in solar flares. - 14th Cosmic Ray Confer., München, 1975. Conference Papers, v. 5, p. 1635-1637.
174. Володичев Н.Н., Григоров Н.Л., Колесов Г.Я. и др. Прямые измерения прихода протонов от солнечной вспышки 7 августа 1972 г. на станции "Прогноз-2". В сб.: Проблемы солнечной активности и космическая система "Прогноз". М.: Наука, 1977, с. I3I-I36.
175. Володичев Н.Н., Григоров Н.Л., Колесов Г.Я. и др. Эффекты в космических лучах 4-5 августа 1972 г. по измерениям на станции "Прогноз-2". - В сб.: Проблемы солнечной активности и космическая система "Прогноз". М.: Наука, 1977, с. I36-I43.
176. Иленчик И., Дубински Ю., Кудела К., Мирошниченко Л.И. Диффузия солнечных протонов от вспышки 7.УШ.1972 г. - Известия АН СССР. Сер. физ., 1976, т. 40, № 3, с. 573-577.
177. Морозова Е.И., Ликин О.Б., Писаренко Н.Ф. Распространение заряженных частиц, генерированных во вспышке 7.УШ.1972 г. - Геомагнетизм и аэрономия, 1977, т. I7, № 5, с. 8II-8I9.
178. Mathews T. Solar flare cosmic ray increase of August 7, 1972. - J. Geophys. Res., 1973, v. 78, N 31, p. 7537-7538.
179. Альберн Ф., Ведрен Ж. и др. Вспышки 7 августа 1972. - Космические исследования, 1974, т. XII, вып. 6, с. 930-935.
180. Fürst E., Hachenberg O., Hirth W. The solar outbursts on August 7, 1972 at 17 and 35 GHz. - Solar Phys., 1973, v. 28, N 2, p. 533-537.
181. Mathews T., Lanzerotti L. - Nature, 1973, v. 241, N 5388, p. 335-338.
182. Rust D.M. - Solar Phys., 1973, v. 33, N 1, p. 205-212.

183. Ишков В.И. Динамика и пространственная структура арочных систем в лимбовой протонной вспышке II августа 1972 г. - В сб.: Физика солнечной активности. М.: Наука, 1976, с. 45-50.
184. Крюгер А., Аурасс Г., Климень Й., Крживский Л. Комплексный анализ лимбовых явлений Солнца II августа 1972 г. - Publs. Debrecen Heliophys. Observ., 1977, v. 3, p. 149-160.
185. Armstrong T.P., Krimigis S.M. Interplanetary acceleration of relativistic electrons observed with IMP 7. - J. Geophys. Res., 1976, v. 81, N 4, p. 677-682.
186. Rothwell P., Katz L., Yates G.K. et al. Interpretation of flare-produced proton spectra. - J. Geophys. Res., 1975, v. 80, N 34, p. 4757-4761.
187. Simnett G.M. The energetic particle event of 29 October 1972 and its relationship to MP 12094. - COSPAR Space Res., 1976, v. 16, p. 755-761.
188. Илларионова Н.В., Кудрявцев М.И., Мелиоранский А.С. и др. - Солнечные данные, 1977, № 7, с. 66-70.
189. Hanson J.M., Roelof E.C., Gold R.E. Solar observations during Skylab April 1973 - February 1974. I. Coronal x-ray structure. II. Solar flare activity. - World Data Center A for Solar-Terrestrial Physics, NOAA, Boulder, UAG Report, 1980, N 79.
190. Švestka Z., Martin S.F., Kopp R.A. Particle acceleration in the process of eruptive opening and reconnection of magnetic fields. - In: Solar and Interplanet. Dyn. Symp. N 91 Int. Astron. Union, Cambridge, Mass., 1979 /Dordrecht e.a., 1980, p. 217-221.
191. Базилевская Г.А., Курносова Л.В., Логачев В.И. и др. Наблюдение солнечных космических лучей во время вспышки 29 апреля 1973 г. - Известия АН СССР. Сер. физ., 1976, т. 40, № 3, с. 457-461.
192. Володичев Н.Н., Григоров Н.Л., Колесов Г.Я. и др. Солнечные космические лучи и межпланетные ударные волны 29-30.IV 1973 г. - Известия АН СССР. Сер. физ., 1977, т. 41, № 9, с. 1794-1807.
193. Dobritin N.A., Kurnosova L.V., Logachev V.I. et al. Some data on solar flare protons on the 29th April 1973. - 14th Int. Cosmic Ray Conf., München, 1975. Conference Papers, v. 5, p. 1797-1800.
194. Gombosi T., Kóta J., Somogyi A.J. et al. Analysis of the complex solar particle event on April 29-30, 1973. - Solar Phys., 1977, v. 54, N 2, p. 441-456.
195. Palmer I.D., Zwickl R.D., Webber W.R., McDonald F.B. Spectrum of mean free paths near Earth in the solar cosmic ray

event of April 29, 1973. - J. Geophys. Res., 1978, v. 83, N A6, p. 2461-2475.

196. Lin R.P., Mewaldt R.A., Van Hollebeke M.A.I. - The energy spectrum of 20 keV - 20 MeV electrons accelerated in large solar flares. - Astrophys. J., 1982, v. 253, N 2, pt 1, p. 949-962.

197. Howard R., Švestka Z. - Solar Phys., 1977, v. 54, N 1, p. 65-106.

198. Gombosi T., Kolesov G.Ya., Kurt V.G. et al. - Study of coronal and interplanetary propagation of solar particles following the E 45° solar flare on July 29, 1973. - 15th Int. Cosmic Ray Conf., Plovdiv, 1977. Conference Papers, v. 5, Sofia, 1977, p. 143-147.

199. Kahler S.W., Hildner E., Van Hollebeke M.A.I. Prompt solar proton events and coronal mass ejections. - Solar Phys., 1978, v. 57, p. 429-443.

200. Leblanc Y., Aubier M.G. - Astron. and Astrophys., 1977, v. 61, N 3, p. 353-362.

201. Martin S.F. - Solar Phys., v. 64, p. 165-176.

202. Michalitsanos A.G., Kupferman P. - Solar Phys., 1974, v. 36, N 2, p. 403-416.

203. Moore R., McKenzie D.L., Švestka Z. et al. - In: Solar flares. Proc. of the Second Skylab Workshop /Colorado Associated University Press, ed. Sturrock P.A., 1979, p. 341.

204. Moore R.L., La Bonte B.J. The filament eruption in the 3B flare of July 29, 1973: onset and magnetic field configuration. - In: Solar and Interplanet Dyn. Symp. N 91 Int. Astron. Union, Cambridge, Mass., 1979 /Dordrecht e.a., 1980, p. 207-211.

205. Nolte J.T., Gerassimenko M., Krieger A.S. et al. - Solar Phys., 1979, v. 62, N 1, p. 123-132.

206. Petrasso R.D., Nolte J.T., Gerassimenko M. et al. - Solar Phys., 1979, v. 62, N 1, p. 133-144.

207. Вернов С.Н., Алексеев Н.В., Вакулов П.В. и др. Некоторые результаты исследований солнечных космических лучей на станции Марс-7. - Космические исследования, 1975, т. I3, № I, с. I3I-I35.

208. Вернов С.Н., Контор Н.Н., Любимов Г.П. и др. Об анизотропии потока солнечных космических лучей в сентябре 1973 г. - Космические исследования, 1976, т. I4, № 2, с. 239-247.

209. Казарян М.С., Кужевский Б.М., Мадуев В.П. и др. Связь характеристик межпланетной среды с вариациями интенсивности заряженных частиц от вспышки 7 сентября 1973 г. - Космические исследования, 1980, т. I8, № 4, с. 572-579.

210. Hamilton D.C. - The radial transport of energetic solar flare particles from 1 to 6 A.U. - J. Geophys. Res., 1977, v. 82, N 16, p. 2157-2169.
211. Шилова Н.С. Строение и развитие солнечной вспышки в лучах К Са II. - В сб.: Физика солнечной активности. М.: Наука, 1976, с. 56-63.
212. Felli M., Poletto G., Tofani G. - Solar Phys., 1977, v. 51, N 1, p. 65-80.
213. Pallavicini R., Vaiana G.S. - Solar Phys., 1980, v. 67, p. 127-140.
214. Алексеев Н.В., Вакулов П.В., Логачев Ю.И. и др. Продольная диффузия протонов малых энергий во вспышке 7 сентября 1973 г. - IX Ленинградский семинар "Солнечные космические лучи: генерация и взаимодействие с веществом от источника до Земли". Ленинград, 1977. Л.: ФТИ, 1978, с. 318-323.
215. Авдеев С.И., Зевакина Р.А., Назарова М.Н. и др. Наблюдения гелиофизических явлений в июле 1974 года. - XI Ленинградский международный семинар "Ускорение частиц и ядерные реакции в космосе" Л.: ФТИ, 1974, с. 213-220.
216. Акиньян С.Т., Амиантов С.А., Гнездилов А.А. и др. Тонкая структура солнечных радиовсплесков в июле 1974 г. - В сб.: Физика солнечной активности. М.: Наука, 1976, с. 64-80.
217. Бачурин А.Ф., Дворяшин А.С., Ерюшев Н.Н. Радиоизлучение мощной активной области на Солнце в июле 1974 г. на волнах 3,5, 2,5 и 1,9 см. - Известия Крымской астрофизической обсерватории, 1977, т. 57, с. 156-168.
218. Бачурин А.Ф., Дворяшин А.С., Ерюшев Н.Н. Цветков Л.И. - Известия Крымской астрофизической обсерватории, 1980, т. 62, с. 166-175.
219. Ле Бах Иен, Крживский Л., Крюгер А. и др. Комплексная обработка протонной вспышки от 3 июля 1974 г. - Publs. Debrecen Heliophys. Obserw., 1977, v. 3, p. 189-206.
220. Cane H.V., Stone R.G., Feinberg J. et al. Radio evidence for shock acceleration of electrons in the solar corona. - Geophys. Res. Lett., 1981, v. 8, N 12, p. 1285-1288.
221. Sholer M., Hovestadt D., Kleckler B. et al. Temporal development of the energetic Particle composition during solar flares. - J. Geophys. Res., 1978, v. 83, N A7, p. 3349-3354.
222. Feibelman W.A. - Solar Phys., 1974, v. 39, p. 409-413.
223. Guman I. - Eqidensitometric pictures of white light flare region of July 4, 1974. - Publ. Debrecen Heliophysical Observatory, 1977, v. 3, p. 233-238.

224. Cacciani A., Fortini T., Torelli M. - Solar Phys., 1980, v. 67, N 2, p. 311-316.
225. Kovács A. - The development of the sunspot group associated with the white light flare of July 1974. - Publ. Debrecen Heliophysical Observatory, 1977, v. 3, p. 207-231.
226. Бумба В., Хейна Л., Ле Бах Ен. Основные знаки развития магнитного поля, зародившего июльскую протонную область 1974 г. - Publ. Debrecen Heliophysical Observatory, 1977, v. 3, p. 161-188.
227. Микрова Н.А., Переяслова Н.К. Влияние корональной структуры магнитных полей Солнца на спектральные характеристики солнечных космических излучений. - Phys. Solariterr. 1978, N 8, p. 27-32.
228. Lyubimov G.P., Myagchenkova O.G., Pereslegina N.V. et al. The cosmic ray variations inferred from the data of the Moons satellite Luna-22. - 15th Int. Cosmic Ray Conf. Plovdiv, 1977, v. 3, Sofia 1977, p. 294-299.
229. Covington A.E., Gagnon H.P., Moore J.D. Observations of solar flux at the Algonquin radio observatory on 2800 MHz and at the Dominion radio astrophysical observatory on 2700 MHz. Monthly reports January-December 1974. Ottawa: National Research Council Canada, 1975, v. 1, N 5, 91 p.
230. Ipavich F.M., Gloeckler G., Fan C.Y., Hovestadt D. Observations of ≤ 1 MeV/nuc protons and ions during the September 1974 series of flares. - 14th Int. Cosmic Ray Conf., München, 1975. Conference Papers v. 5, p. 1568-1573.
231. Tanaka K. - Solar Phys., 1978, v. 58, N 1, p. 149-164.
232. O'Gallagher J.J., Hovestadt D., Klecker D. et al. Time dispersion of energetic solar particles: unexpected velocity and species dependence. - Astrophys. J., 1976, v. 209, L97-L100.
233. Borovkov L.P., Beloglazov M.I. et al. The possible penetration of solar electrons after solar event on September 24, 1974, on Apatity ground based and stratospheric data. - 14th Int. Cosmic Ray Conf., München. 1975, Conf. Pap. v. 4, p. 1273-1277.
234. Гарчинская И.Н., Ромпольт Б. Комплекс явлений, сопутствующих хромосферному выбросу 23 сентября 1974 года. - В кн.: Возникновение и эволюция активных областей на Солнце. (Труды Уч Консультативного совещания академий наук социалистических стран по физике Солнца, вып. УШ.) М.: Наука, 1976, с. III-II3.
235. Назарова М.Н., Переяслова Н.К., Петренко И.Е. - Известия АН СССР. Сер. физ., 1977, т. 41, № 9, с. I757-I764.
236. Chen H.S., Shawhan S.D. - Solar Phys., 1978, v. 57, N 1, p. 205-227.

237. Рушин В. Лимбовая вспышка 22 августа 1975 года. - В кн.: Возникновение и эволюция активных областей на Солнце. (Труды VIII Консультативного совещания академий наук социалистических стран по физике Солнца, вып. VIII.) М.: Наука, 1976, с. 101-110.
238. Старт Р.Т. - Известия ВУЗ. Радиофизика, 1977, т. 20, № 9, с. I338-I358.
239. Nelson G.J. - Proc Astron. Soc. Austral., 1977, v. 3, N 2, p. 159-162.
240. Collected Data for STIP Interval II 20 March - 5 May 1976. - World Data Center A for Solar-Terrestrial Physics /Boulder: NOAA, Report UAG 1977, N 61, 313 p.
241. Bieber J.W., Earl J.A., Gereen G. et al. Interplanetary pitch angle scattering and coronal transport of solar energetic particles: new information from Helios. - J. Geophys. Res., 1980, A85, N 5, p. 2313-2323.
242. Ng C.K., Wibberenz G., Green G. et al. Focused transport during the solar event of 28 March 1976. - 17th Conf. Int. Rayonn. Cosmique, Paris, 1979. Conf. Pap., v. 5, p. 389-392.
243. Kaufmann P., Rizzo Piazza L., Raffaelli J.C. - Solar Phys., 1977, v. 54, N 1, p. 179-182.
244. Shea M.A., Smart D.F., Coffey H.E. A summary of significant solar-initiated events during STIP intervals I and II. - Study Trav. Interplanet. Phenom., 1977, Proc. L.D. de Feiter Mem. Symp., Tel Aviv, 1977, Dordrecht - Boston, 1977, p. 393-420.
245. Geranios A. The shape of the cosmic ray modulation region of the April 30, 1976 event as deduced from Helios-1, Helios-2, IMP-8 and neutron monitor date. - J. Geophys. Res., 1979, v. 46, N 2, p. 171-183.
246. Solar-geophysical activity reports for September 7-24, 1977 and November 22, 1977. - World Data Center A for Solar-Terrestrial Physics. NOAA, Boulder. UAG Report, 1982, N 83, pt. I, II, 553 p.
247. Белов А.В., Блох Я.Л., Гущина Р.Т. и др. Вариации космических лучей в период 7-24 сентября 1977 г. по данным нейтронной компоненты. - Геомагнетизм и аэрономия, 1978, т. I8, № 5, с. 804-808.
248. Coulon T.F., McDonald F.B., Van Hollebeke M.A.I. et al. The effect of coronal transport of energetic solar particles. - 16th Int. Cosmic Ray Conf., Kyoto. 1979, Conf. Papers, v. 5, p. 152-155.
249. Duncan R.A. - Proc. Astron. Soc. Austral., 1978, v. 3, N 3-4, p. 253-256.

250. Duncan R.A. - Proc. Astron. Soc. Austral., 1980, v. 4, N 1, p. 67-70.
251. Kawabata K., Ogawa H., Fujishita M. et al. Interferometric observations of radio bursts at 35 GHz. - In: Radio Phys. Sun. Symp. N 86 Int. Astron. Union, College Park, Md., Aug. 1979 /Dordrecht e.a., 1980, p. 127-130.
252. Kurt V.G. et al. Solar particles spectra from flares. - 16th Int. Cosmic Ray Conf., Kyoto, 1979. Conf. Papers, v. 5, p. 176-181.
253. Переяслова Н.К., Назарова М.Н., Петренко И.Е. Особенности пространственного распределения протонов в полярных зонах в событиях солнечных космических лучей начала 21-го цикла. - Phys. Solariterr., 1978, N 8, p. 107-112.
254. Дарчнева Л.А., Иванова Т.И., Рубинштейн И.А. и др. Наблюдение солнечных космических лучей в магнитосфере Земли 19-21 сентября 1977 г. по данным ИСЗ Космос-842, Космос-900 и Космос-9II. - Phys. Solariterr., 1978, N 9, p. 5-10.
255. Филиппов А.Т., Филиппов В.А., Приходько А.Н. и др. Вариации космических лучей с энергией 1-100 ГэВ 19-26 сентября 1977 г. - Phys. Solariterr., 1978, N 9, p. 17-21.
256. Degaonkar S.S., Sawant H.S., Bhonsle R.V. On the thermalisation of flare-time energetic electrons observed at radio and X-ray wavelengths. - In: Solar and Interplanet. Dyn. Symp. N 91, Int. Astron. Union, Cambridge, Mass., 1979 /Dordrecht e.a. 1980, p. 223-226.
257. Pomerantz M.A., Duggal S.P. Relativistic solar cosmic rays during the current sunspot cycle. - Geophys. Res. Lett., 1978, v. 5, N 10, p. 877-880.
258. Володичев Н.Н., Григорян О.Р., Девичева Е.К. и др. Предварительные результаты измерений солнечных частиц в событии 24 сентября 1977 года по данным спутника "Прогноз-6". - IX Ленинградский семинар "Солнечные космические лучи: генерация и взаимодействие с веществом от источника до Земли". Ленинград, 1977. Л.: ФТИ, 1978, с. 251-260.
259. Dietrich W.F. and Simpson J.A. Preferential enhancements of the Solar flare-accelerated nuclei Carbon to Zinc from 20-300 MeV Nucleon⁻¹. - Astrophys. J., 1978, v. 225, L41-L45.
260. Farnik F., Fischer S., Krivský L. et al. Study of flares of September 24 and October 12, 1977 in optical, radio, x-ray and particle emissions. - 16th Int. Cosmic Ray Conf., Kyoto, 1979. Conf. Papers. v. 12, p. 287-292.
261. Kurt V.G., Logachev Yu.I., Stolpovsky V.G. et al. Analysis of energetic particle events following solar flares of Sep-

tember 24 and November 22, 1977. - In: Space Res., v. 19, Proc. Open Meet. Work. Groups. Phys. Sci. 21st Plenary Meet. COSPAR, Innsbruck, 1978 /Oxford e.a., 1979, p. 413-416.

262. Kurt V.G., Logachev Yu.I., Stolpovskii V.G. e.a. - Közp. riz. kut. intéz., 1978, N 37, 21 pp., ill

263. Kurt V.G., Logachev Yu.I., Stolpovsky V.G. et al. Energetic solar particle spectra according to Venera-11, -12 and Prognoz-5, -6 observations. - 17^{ime} Conf. Int. Rayonn. Cosmique, Paris, 1981. Conf. Pap., v. 3, p. 9-72.

264. Курт В.Г., Логачев Ю.И., Столповский В.Г. и др. Событие в солнечных частицах I-5 января 1978 г. - Известия АН СССР. Сер. физ., 1981, т. 45, № 4, с. 609-612.

265. Фишер С., Гейклик Л. Проникновение солнечных космических лучей в полярные шапки после вспышки 12.X.1977 г. - Известия АН СССР. Сер. физ., 1979, т. 43, № 12, с. 2547-2551.

266. Karlický M., Farník F. - Bull. Astron. Inst. Czechosl., 1980, v. 31, N 2, p. 111-119.

267. Вальничек Б.И., Ликин О.В., Морозова Е.И. - Геомагнетизм и аэрономия, 1980, т. 20, № 5, с. 777-784.

268. Даубог Е.И., Курт В.Г., Столповский В.Г. Спектр вспышечных протонов в области малых энергий. - Космические исследования, 1981, т. 19, № 5, с. 704-711.

269. Дубинский Ю., Иленчик Й., Мирошниченко Л.И. - Известия АН СССР. Сер. физ., 1979, т. 43, № 12, с. 2540-2542.

270. Гро М., Кузнецов А.С., Ликин О.Б. и др. - Космические лучи, 1980, № 21, с. 70-74.

271. Филиппов А.Т., Филиппов В.А., Чирков Н.П. Вспышка солнечных космических лучей 22 ноября 1977. - Phys. Solariterr., 1978, N 9, p. 13-16.

272. Burlaga L., Lepping R., Weber R. et al. - J. Geophys. Res., 1980, A85, N 5, p. 2227-2242.

273. Dubinsku Y., Ilencik Y., Kudela K. Solar proton event from November 22, 1977. - 16th Int. Cosmic Ray Conf., Kyoto, 1979. Conf. Papers, v. 12, p. 297-300.

274. Fenton A.G., Fenton K.B., Humble J.E. - Proc. Astron. Soc. Austral., 1980, v. 4, N 1, p. 111-113.

275. Fenton A.G., Fenton K.B., Humble J.E. - Proc. Astron. Soc. Austral., 1978, v. 3, N 3-4, p. 238-241.

276. Gombosi T., Kecskeméty K., Merényi E. et al. Propagation of energetic particles during the November 22, 1977 event. - 16th Int. Cosmic Ray Conf., Kyoto, 1979, v. 5, p. 163-167.

277. Ilencik Y., Dubinsky Y., Miroshnichenko L.I. - Phys. Solariterr. 1979, N 11, p. 33-34.

278. Debrunner H., Neuenschwander H., Wagner A.F., Lockwood J.A. A description of relativistic solar particle propagation. - 17^{ime} Conf., Int. Rayonn. Cosmique, Paris, 1981. Conf. Papers, v. 5, p. 102-105.
279. Chambon G., Hurley K., Niel M. et al. A hard X ray and gamma ray observation of the 22 November 1977 solar flare. - Plein feux phys. sol. 2^{eme} Assem. Eur. phys. sol., Toulouse, 1978. Contexte coronal érupt. sol. Colloq. int. CNRS N 282, Toulouse, 1978, Paris, 1978, p. 297-303.
280. Ermakov S.I., Kontor N.N., Lyubimov G.P. et al. The solar proton fluxes in April 1979. - 17^{ime} Conf., Int. Rayonn. Cosmic, Paris, 1979. Conf. Papers, v. 3, p. 85-87.
281. Kecskemeti K., Gombosi T.I. et al. Spacecraft determination of energetic propagation parameters: the 1 January 1978 solar event. - 17^{ime} Conf. Int. Rayonn. Cosmique, Paris, 1981. Conf. Papers. v. 5, p. 89-92.
282. Malville J., Schindler M. - Solar Phys., 1981, v. 70, N 1, p. 115-128.
283. Kohno T. - Solar Terrestr. Environ. Res., Jap., 1979, v. 3, p. 116-119.
284. Kohno T. Solar protons observed at synchronous altitude during the disturbances of February, 1978. - 16th Int. Cosmic Ray Conf., Kyoto, 1979. Conf. Papers v. 5, p. 182-185.
285. Kohno T., Wada M. Unusual arrival times of scatter free particles in solar proton event of May 7, 1978. - Solar Terr. Environ. Res. in Japan, 1979, v. 3, p. 8-11.
286. Kohno T., Wada M. Unusual arreval times of scatter free particles in solar proton event of May 7, 1978. - Geophys. Res. Lett., 1979, v. 6, N 5, p. 421-423.
287. Holman G.D., Eichler D., Kundu M.R. An Interpretation of solar flare microwave spikes as gyrosynchrotron macering. - In: Radio Phys. Sun. Symp. N 86 Int. Astron. Union, College Park, Md, Aug. 1979 /Dordrecht e.a., 1980, p. 457-459.
288. Lites B.W., Bruner E.C.Jr. and Wolfson C.J. - Solar Phys., 1981, v. 69, N 2, p. 373-390.
289. Riddle A.G., Boischot A., Leblanc Y. Observations of solar bursts of types II and III at Kilometric wavelengths from Voyager. - In: Radio Phys. Sun. Symp. N 86 Int. Astron. Union, College Park, Md, Aug. 1979 /Dordrecht e.a., 1980, p. 381-384.
290. Richter A.K., Van Hollebeke M.A.I., Hsieh K.C. et al. Energetic particles at interplanetary shock waves: the April 29, 1978 event. - 16th Int. Cosmic Ray Conf., Kyoto, 1979, Conf. Papers, v. 12, p. 312-317.

291. Чарахчян А.Н., Базилевская Г.А., Боровков Л.П. и др. Измерения солнечных космических лучей в стратосфере в 1977-1978. - Геомагнетизм и аэрономия, 1980, т. 20, № 3, с. 534-536.
292. Безродных И.П., Васильев К.А., Клименко В.В. и др. Уникальная вспышка солнечных космических лучей в области энергий сотен МэВ. - Космические исследования, 1978, т. I6, № 6, с. 952.
293. Боровков Л.П., Вашенюк З.В., Лазутин Л.Л. и др. Солнечные протоны в стратосфере и на поверхности Земли 7 мая 1978 г. - Геомагнетизм и аэрономия, 1979, т. I9, № 3, с. 552-554.
294. Дубинский Ю., Иленчик Й., Стеглик М., Мирошниченко Л.И. Уникальная вспышка солнечных космических лучей 7 мая 1978 г. - Phys. Solariterr, 1980, N 12, p. 39-50.
295. Debrunner H., Lockwood J.A. On the analysis of neutron monitor data for the solar cosmic ray event on May 7, 1978. - 16th Int. Cosmic Ray Conf., Kyoto, 1979, v. 5, SP.Sess. /S.I., 1979, p. 218-223.
296. Debrunner H., Lockwood J.A. The spatial anisotropy rigity spectrum and propagation characteristics of relativistic solar particles during the events on May 7, 1978. - J. Geophys. Res., 1980, v. 85, N A12, p. 6853-6860.
297. Sakurai K., Yamashita Y., Kazawa Y. Anomalous behaviour of solar cosmic rays associated with the solar flare on May 7, 1978. - 16th Int. Cosmic Ray Conf., Kyoto, 1979, Conf. Papers, v. 5, p. 232-237.
298. Shea M.A., Smart D.F., Arens M. et al. The groundlevel relativistic solar proton event. of May 7, 1978: a composite report. - 16th Int. Cosmic Ray Conf., Kyoto, 1979, v. 5, SP. Sess. /S.I., 1979, p. 226-231.
299. Smart D.F., Shea M.A., Humbe J.E. et al. A model of the 7 May 1978 solar cosmic ray event. - 16th Int. Cosmic Ray Conf., Kyoto, 1979. Conf. Papers, v. 5, p. 238-243.
300. Gonze C., Gonse R., Jodogne J.C. et al. - Ciel et Terre, 1979, 95, N 2, p. 91-99.
301. Horon D.M., Kreplin R.W., Dere K.P. Soft X-ray emission from the non-flaring sun as a precursor to flare activity. - In: Solar-Terr. Predictions Proc. /Washington, D.C., 1980, v. 3, C144-C151.
302. Sawant H.S., Bhonsle R.V., Degaonkar S.S., Takakura T. Complementary bursts, coronal inhomogeneities and new microscopic spectral features of solar bursts in type II bursts. - In: Radio Phys. Sun. Symp. N 86 Int. Astron. Union, College Park, Md, Aug. 1979 /Dordrecht e.a., 1980, p. 269-271.

303. Sheeley N.R.Jr., Howard R.A. et al. Solar observations with a new Earth-orbiting coronagraph. - In: Solar and Interplanet. Dyn. Symp. N 91 Int. Astron. Union, Cambridge, Mass., 1979 /Dordrecht e.a., 1980, p. 55-59.
304. Stewart R.T., Magun A. - Proc. Astron. Soc. Austral., 1980, v. 4, N 1, p. 53-55.
305. Trottet G., Kerdraon A., Benz A.O., Trenmann R. - Astron. and Astrophys., 1981, v. 93, N 1-2, p. 129-135.
306. Гнездилов А.А., Маркеев А.К., Чернов Г.П. - Солнечные данные, 1981, № I, с. 93-104.
307. Dezsö L., Gesztesy L., Kondas L. et al. - Solar Phys., 1980, v. 67, N 2, p. 317-338.
308. Hadson H.S. - Adv. Space Res., 1981, v. 1, N 13, p. 247-250.
309. Hudson H.S., Bai T., Gruber D.E. et al. - Astrophys. J., 1980, v. 236, N 2, Part 2, L91-L95.
310. Rouvière Francois. - Astronomic, 1980, v. 94, p. 179-188.
311. Strauss F.M., Kaufmann P., Opher R. - Solar Phys., 1980, v. 67, N 1, p. 83-87.
312. Yang Hai-shou, Zhang Hou-me, Li Wei-lao. - Chin. Astron. and Astrophys., 1981, v. 5, N 1, p. 84-89.
313. Ишков В.Н., Коробова З.Б., Могилевский Э.И. и др. Эволюция и вспышечная активность А0 McM 15403. - В сб.: Физика солнечной активности. М.: Наука, 1980, с. 48.
314. Клименко В.В., Безродных И.П., Васильев К.А., Шафер Ю.Г. - Геомагнетизм и аэрономия, 1979, т. I9, № 6, с. II05-II06.
315. Evenson P., Meyer P. Sudden disappearance of anisotropies in the September 23, 1978 solar flare. - 16th Int. Cosmic Ray Conf., Kyoto, 1979. Conf. Papers, v. 5, p. 211-216.
316. Evenson P., Meyer P., Yanagita S. The relation of type II radio bursts to solar energetic particle observed at Earth. - 17th Int. Cosmic Ray Conf., Paris, 1981, Conf. Pap., v. 3, p. 59-62.
317. Sanderson T.R., Reinhard R., Wenzel K.-p. et al. The solar particle event of 23 September 1978 at proton energies below 1 MeV. - 16th Int. Cosmic Ray Conf., Kyoto, 1979. Conf. Papers, v. 5, p. 199-204.
318. Kosugi Takeo. Time-variations of 17 CHz radio bursts with multi-source structures. - In: Radio Phys., Sun. Symp. N 86 Int. Astron. Union, College Park, Md, Aug. 1979. /Dordrecht e.a., 1980, p. 131-134.
319. Kosugi Takeo. - Solar Phys., 1982, v. 75, N 1-2, p. 293-304.

Утверждено к печати секцией ученого совета
Института земного магнетизма, ионосферы и
распространения радиоволн АН СССР.

КАТАЛОГ СОЛНЕЧНЫХ ПРОТОННЫХ
СОБЫТИЙ 1970-1979 гг.

Ответственный редактор Ю.И.Логачев
Зам. редактора И.Г.Симаков

Книга издана офсетным способом.

Подписано к печати 26.II.82. Т - I9934.
Усл.печ.л. II,5. Уч.-изд.л. II,0
Бумага офс. № I. Формат 60 х 90 I/16 Тираж 600 экз.
Тип. зак. 97 Цена I экз. I р. 50 к.

Издание ИЗМИРАН, 142092, Троицк, Моск.обл.
Тульская типография "Союзполиграфпрома"
Госкомиздата СССР. 300600, Тула, проспект
Ленина, 109.